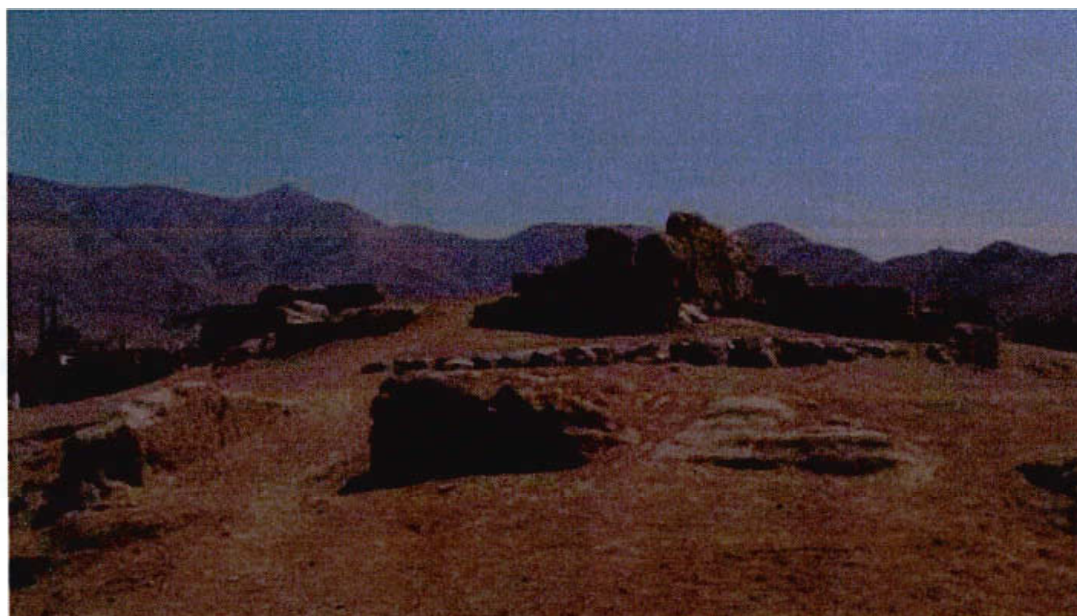


Proyecto de Investigación de Colecciones y Fondos Museográficos Administrados por el Ministerio de Cultura “Tambo Inga 2019”



INFORME FINAL

Docente asesor:
Dra. Luisa Esther Díaz Arriola

R.N.A AD-9706
COARPE N° 040291

Tesista:
Bach. Marcia Elizabeth Orrego Zárate
Noviembre del 2020

1. Resumen.....	3
2. Antecedentes, problemática, fines y objetivos de la investigación	4
2.1 Antecedentes	4
2.1.1 Antecedentes de investigación del Sitio Arqueológico Tambo Inga.....	4
2.1.2 Antecedentes de la colección.....	6
2.2 Problemática de la investigación	8
2.3 Fines y objetivos de investigación	8
3. Plan de investigación y cronograma de trabajo.....	9
3.1 Plan de investigación.....	9
3.2 Cronograma de trabajo	10
4. Plan de conservación y protección	10
5. Metodología durante los trabajos de gabinete.....	10
5.1 Métodos de muestreo	10
5.1.1 Universo	11
5.1.2 Tamaño de muestra	11
5.2 Métodos de análisis	11
5.2.1 Metodología de análisis morfológico-funcional en cerámica	11
5.2.2 Metodología de análisis de pastas	12
5.2.3 Metodología de análisis del patrón decorativo.....	13
5.2.4 Metodología de análisis de material malacológico y carcinológico.....	13
5.2.5 Metodología de análisis de material óseo animal.....	15
5.3 Procedimientos técnicos.....	15
6. Equipo de investigadores y responsabilidades	17
7. Resultados de investigación	18
7.1 Resultados del análisis del material cerámico	18
7.1.1 Resultados del análisis morfológico funcional.....	18
7.1.2 Resultados del análisis de pastas	34
7.1.3 Resultados del análisis de patrón decorativo.....	39
7.2 Resultados del análisis de material malacológico y carcinológico.....	49
7.2.1 Identificación de especies y frecuencias.....	49
7.2.2 Distribución del material malacológico y carcinológico en la estratigrafía.....	52
7.3 Resultados del análisis de material óseo animal	59
7.3.1 Identificación de taxones y frecuencia	59
7.3.2 Distribución del material óseo animal en la estratigrafía	59
8. Conclusiones y recomendaciones.....	63
9. Inventario de bienes muebles analizados	67
10. Plan de difusión de la investigación	68
11. Bibliografía	69
12. Registro fotográfico.....	71

12.1 Fotografías del proceso de análisis.....	71
12.2 Fotografías del material analizado	73
12.2.1 Material cerámico.....	73
12.2.2 Material malacológico.....	79
12.2.3 Material óseo animal	88
13. Anexos.....	92

1. Resumen

El Proyecto de Investigación de Colecciones y Fondos Museográficos Administrados por el Ministerio de Cultura “Tambo Inga 2019” (PICFM Tambo Inga 2019), aprobado mediante Resolución Directoral N.º D 000007-2019-DGM/MC con fecha 04 de junio del 2019 y ampliado por un mes a través de la Resolución Directoral N.º D 000058-2019-DGM/MC con fecha 06 de setiembre del 2019, fue ejecutado entre el 10 de junio y el 15 de octubre del 2019. El trabajo de gabinete se llevó a cabo en las instalaciones del Área de Manejo de Colecciones del Museo de la Nación (MACO) del Ministerio de Cultura, ubicado en el distrito de San Borja.

Este proyecto fue parte de la investigación emprendida por la bachillera Marcia Elizabeth Orrego Zárate para optar el título profesional de Licenciada en Arqueología; el que se enmarca en el artículo 26 y 85 del Reglamento de Intervenciones Arqueológicas (RIA), que permite a los egresados o bachilleres de la carrera de arqueología realizar estudios de colecciones y fondos museográficos. Estos estudios deben estar dirigidos por su docente asesor de tesis, en este caso la Dra. Luisa Esther Díaz Arriola.

El PICFM Tambo Inga 2019 se enfocó en el análisis parcial de la colección de materiales arqueológicos obtenida en las excavaciones arqueológicas realizadas por la Dra. Luisa Díaz en el año 2017, en el sector II del sitio arqueológico Tambo Inga realizado en el marco del “Proyecto de Investigación Arqueológica con Fines de Diagnóstico Tambo Inga, Puente Piedra, Lima” (PIA Tambo Inga).

El objetivo principal de la investigación fue identificar el tipo de actividades sociales que fueron desempeñadas en el sector II de Tambo Inga durante el Horizonte Tardío y bajo la influencia Inca, el que se ubica en el valle bajo del río Chillón, Lima.

La metodología tuvo como objetivo principal identificar las actividades realizadas en ese sector, mediante el análisis morfofuncional de la cerámica hallada -estudio de pastas, de patrones decorativos y de determinación de las frecuencias-; pero también del estudio de restos malacológicos y óseo animal, mediante la identificación de las especies y sus frecuencias de aprovechamiento.

El trabajo de gabinete tomó un total de cuatro meses y medio, tiempo en el que se analizó un total de 192 bolsas, distribuidas en 16 cajas (cajas N.º 1-12, 26, 38, 39 y 45) de las cuales 111 bolsas correspondieron a fragmentos de cerámica, 58 bolsas a restos malacológico y 23 bolsas a óseo animal.

2. Antecedentes, problemática, fines y objetivos de la investigación

2.1 Antecedentes

2.1.1 Antecedentes de investigación del Sitio Arqueológico Tambo Inga

De manera general el Sitio Arqueológico Tambo Inga cuenta con referencias de carácter etnohistórico y arqueológico. Los antecedentes etnohistóricos consisten en algunas precisiones sobre la ubicación, posibles dueños del tambo durante la época Colonial Temprana, etc. Por otro lado, las referencias de carácter arqueológico pueden ser divididas en dos grupos. El primero se conforma por algunos pocos trabajos de investigación de carácter regional que no implicaron intervenciones arqueológicas directas en el sitio y que se realizaron durante gran parte del siglo XX. En ellos, se incluyen breves descripciones sobre la ubicación, la caracterización arquitectónica y las posibles funciones desempeñadas en Tambo Inga. El segundo grupo, está conformado por intervenciones arqueológicas directas a través de las excavaciones arqueológicas llevadas a cabo por el PIA Tambo Inga en el 2017. Dentro de los referentes de investigación más importantes tenemos los siguientes:

Cristóbal Vaca de Castro (1909 [1543], págs. 449,450), en su relación de tambos de 1543, mencionó al Tambo de Domingo de la Presa, el cual se ubicaría a dos leguas de la ciudad de Los Reyes en el camino hacia Trujillo y que se conectaba con el tambo de *Guaurua*, por lo cual es posible que el mencionado tambo hiciera referencia a Tambo Inga.

Tello (1999, págs. 43, 53, 99), en el libro “Arqueología del valle de Lima”, hizo referencia de manera general a la existencia de tambos y aldeas a lo largo del camino Real que de Norte a Sur cruzaban el valle de Lima, entre los cuales destacaban *Sucula Cumpi*, *Macat Tampu*, *Limak Tampu* y *Arma Tampu*. Esto sumado al mapa arqueológico I-P7-F1 (JCT-I-56) [1195], en donde se detallan los asentamientos previamente mencionados permite deducir que lo que Tello mencionó como *Sucula Cumbi* es lo que actualmente se conoce como Tambo Inga.

Villar (1982, pág. 169), en su publicación “Arqueología del departamento de Lima”, caracterizó a Tambo Inga como una construcción Inca hecha a base de tapias con mampostería de piedra o adobón y dividida en calles, cuarteles y barrios. Esta se encontraría emplazada sobre una construcción militar anterior y según el referido autor se configuró como una ciudadela, fortificación o castillo feudal que cumpliría la función de posada o tambo- en el sentido más reducido del concepto- para caminantes.

Ludeña (1975, pág. 166), en su tesis doctoral titulada “Secuencia cronológica cultural del valle del Chillón”, definió a Tambo Inga como un tambo del camino incaico de la Costa construido de barro y adobón. El lugar estaría asociado a un cementerio conocido como la Rinconada de Gallinazo.

Dillehay (1977, pág. 400), como parte de sus investigaciones relacionadas a la integración del valle del río Chillón al *Tawantinsuyu*, propuso que Tambo Inga debido a su ubicación estratégica pudo cumplir funciones administrativas menores como supervisar la población local. Además, sostuvo que Tambo Inga tuvo ocupación Preinca, Inca y Colonial.

Agurto (1984, págs. 161-165), con su publicación “Lima prehispánica”, sostuvo que Tambo Inga fue un centro administrativo Inca de tamaño medio que cumplió funciones tanto de aprovisionamiento como de administración. Además, propuso una sectorización para lo que en este proyecto se entiende como el sector I, de tal manera que este estaría dividido en seis subsectores cada uno de ellos con funciones determinadas. El subsector uno sería el tambo o corral del centro administrativo, el subsector dos un espacio ceremonial, el subsector tres la residencia de los gobernantes, el subsector cuatro el área de servicio, el sector cinco el área de almacenamiento y el subsector seis el área de corrales para los tributarios de Tambo Inga. Finalmente, Agurto resaltó la ubicación estratégica de Tambo Inga situada en el cruce de dos caminos, uno que iba hacia *Suculacumbi* y otro que se dirigía hacia la sierra.

Engel (1987, pág. 157), en su publicación titulada “De las begonias al maíz”, describió a Tambo Inga como un conjunto de seis estructuras acopladas por estrechas calles de dos metros de ancho; que cuenta con numerosos cuartos, salas y plazas y finalmente destacó la presencia de puertas y nichos trapezoidales. Además, Engel elaboró un plano de Tambo Inga codificado con la fig. VA-3 en la publicación líneas arriba mencionada.

Silva (1991, pág. 58), como parte de sus trabajos sobre patrones de asentamiento del valle del río Chillón, registró a Tambo Inga como el sitio PV46-54, lo describió sucintamente y al igual que los anteriores investigadores coincidió en definirlo como tambo. Pero, agregó que Tambo Inga, Puente Inga y Oquendo pudieron haber sido centros para la canalización de tributos desde los cuales se distribuyeron los bienes recaudados a centros como Armatambo y Pachacamac (Silva, 1991, pág. 69).

El mismo autor en el año de 1996 sugirió que el asentamiento de Tambo Inga podría estar dividido en dos sectores. El primer sector conformado por el lado este de Tambo Inga el cual estaría compuesto por un espacio rectangular abierto rodeado por cuartos, lo que puede haber sido utilizado para la producción artesanal; mientras que, por el lado oeste, el segundo sector estaría compuesto por cuartos rectangulares del mismo tamaño, lo que sugiere que se realizaron otras actividades (Silva, 1996, pág. 288).

Ayala (2008, pág. 80), en su tesis de licenciatura en la cual abordó la problemática de la funcionalidad del Sitio Arqueológico Cerro Respiro y su relación con otros sitios arqueológicos Inca del valle bajo del río Chillón, sostuvo que Tambo Inga al igual que Palacio Oquendo y Cerro Respiro son asentamientos mayores con funciones administrativas vinculados a la red vial Inca. Además, propuso, a través de sus análisis de patrón arquitectónico de Tambo Inga, que los sectores dos y cuatro del mismo de acuerdo con su propia sectorización corresponden a espacios residenciales de élite (Ayala, 2008, pág. 66).

Díaz (2017, pág. 9), en sus trabajos de campo dirigidos a definir la funcionalidad, la cronología, la extensión de la ocupación prehispánica del sitio indicó que Tambo Inga probablemente pudo haber cumplido la función de un centro administrativo local menor que controlaba la rinconada en la cual se asentó (Díaz, 2017, pág. 116). También planteó que el asentamiento no presenta ocupación pre Inca, sino más bien que tuvo una ocupación corta durante la época Inca y que incluso fue reocupado durante el periodo post Inca.

Asimismo, elaboró una propuesta de sectorización que divide Tambo Inga en tres sectores. El sector I, es un área conformada por un promontorio rocoso de forma alargada y de baja altura sobre el cual se dispone la mayor parte de evidencia arquitectónica de Tambo Inga y que a su vez se subdivide en los subsectores A, B, C, D, E, F y G. El Sector II, ubicado al sur del sector I, consiste en un área plana y baja que no posee evidencias arquitectónicas. Finalmente, el sector III, ubicado al oeste del sector I, está compuesto de dos promontorios rocosos de forma circular y de similares alturas. De tal manera, que el promontorio ubicado en el extremo Oeste es el que cuenta con evidencia arquitectónica, mientras que el que se encuentra más hacia el Este no la presenta (Díaz, 2017, pág. 119).

Siendo específicos los resultados del PIA Tambo Inga por sectores fueron los siguientes. En el sector I de Tambo Inga se excavaron tres trincheras de 10 metros de largo por 2 metros de ancho. La trinchera 1 estuvo dispuesta con orientación E-O entre los subsectores C y D y las evidencias encontradas señalan que esta área tuvo una ocupación doméstica post Inca, pero que no se puede precisar el periodo específico por la falta de material arqueológico mueble diagnóstico. La trinchera 2, se dispuso con orientación N-S en el subsector E y su excavación brindó información sobre los procesos constructivos y de remodelación durante la ocupación Inca. La trinchera 3, se ubicó con orientación N-S en el subsector F y las evidencias presentadas (alisadores y fragmentos de barro cocido) han permitido inferir la presencia de una posible área para la producción cerámica (Díaz, 2017, pág. 116).

Por otro lado, el sector II fue intervenido a través de la excavación de 13 cateos (N.º 1, 2, 3, 4, 5, 6, 7, 8, 9, 10, 12, 13 y 14) de 2 metros de largo por 2 metros de ancho, de los cuales los cateos N.º 3, 4, 6, 9 y 12 y parcialmente los cateos N.º 5 y 10 registran una regular cantidad de material cerámico diagnóstico, malacológico y óseo animal contenidos en una matriz de color marrón grisáceo con presencia de ceniza por lo cual se propuso que los cateos antes mencionados definen un espacio alterado pero resultante de la realización de festines durante la ocupación Inca (Díaz, 2017, pág. 115).

2.1.2 Antecedentes de la colección

Ubicación actual de la colección

Actualmente, la colección objeto de esta investigación, se encuentra en las instalaciones del Área de Manejo de Colecciones del Museo de la Nación (MACO)/ DGM en la Sede Central del Ministerio de Cultura ubicada en la Av. Javier Prado Este N.º 2465, distrito de San Borja, provincia y región Lima.

Origen de la colección

La colección muestral procede de las excavaciones llevadas a cabo por el PIA Tambo Inga, el cual fue dirigido por la Dra. Luisa Díaz Arriola entre los meses de agosto a octubre del 2017. El proyecto fue autorizado mediante la Resolución Directoral N.º 274-2017/DGPA/VMPCIC/MC del 17 de agosto del 2017.

El proyecto líneas arriba mencionado; fue financiado por el Ministerio de Cultura, a través de la Dirección de Gestión de Monumentos, y por la Municipalidad de Puente Piedra, en el marco del Convenio Específico de Cooperación Interinstitucional firmado entre estas dos entidades.

Historia de la colección

Habiendo culminado los trabajos de excavación y de inventariado de los materiales arqueológicos recuperados por el “Proyecto de Investigación Arqueológica con Fines de Diagnóstico Tambo Inga, Puente Piedra, Lima”, estos fueron entregados a la Dirección General de Patrimonio (DGPA), como se especifica en el Acta de Verificación de Materiales N°545-2017-DCE-DGPA/VMPCIC/MC. Siendo la Dirección de Gestión de Monumentos la encargada de realizar los trámites para la asignación del depósito determinado como destino final de los materiales recuperados.

Luego, una vez entregados los materiales arqueológicos a la dependencia correspondiente del Ministerio de Cultura, estos fueron dirigidos hacia su destino de depósito final ubicado en el Área de Manejo de Colecciones del Museo de la Nación (MACO), como lo consta en el Acta de Recepción N.º 005-2018-MACO-MN-DGM/MC del 17 de agosto del 2018. Es en esta dependencia en la cual los materiales arqueológicos del mencionado proyecto se encuentran hasta la actualidad.

Elementos componentes de la colección

Esta colección, de acuerdo con lo que detalla el Informe Final del mencionado proyecto y el Acta de Verificación de Materiales N°545-2017-DCE-DGPA/VMPCIC/MC, originalmente estuvo conformada por un total de 978 bolsas de material arqueológico (cerámico, malacológico, botánico, óseo animal, óseo humano, textil, carbón, lítico, orgánico humano, orgánico animal, artefactos, ictiológico, misceláneo y otros), organizadas en 69 cajas.

La distribución original de las bolsas fue la siguiente:

Material	No. bolsas
Cerámica	285
Carbón	36
Lítico	36
Óseo humano	29
Orgánico humano	2
Óseo animal	72
Orgánico animal	57
Malacológico	161
Textil	50
Artefactos	60
Botánico	159
Ictiológico	14
Misceláneo	16
Otros	1
Total	978

Tabla 1: distribución de las bolsas de acuerdo con los tipos de material arqueológico. Extraído de: (Díaz, 2017, pág. 126)

Posteriormente, una vez ya entregados al Ministerio de Cultura, estos materiales fueron reorganizados y colocados en 45 cajas, de acuerdo con lo especificado en el Acta de Recepción N.º 005-2018-MACO-MN-DGM/MC del 17 de agosto del 2018.

Investigaciones de la colección

A la fecha la única investigación realizada sobre la colección objeto de estudio es la presente investigación.

2.2. Problemática de la investigación

Partiendo de la revisión de los antecedentes que identifican el sector II de Tambo Inga como una plaza, tomando en cuenta la elevada cantidad de material cerámico diagnóstico Inca asociado con restos de consumo y siguiendo las conclusiones preliminares del PIA Tambo Inga- indicadas líneas arriba- la pregunta e hipótesis de investigación son las siguientes:

Pregunta principal:

¿Qué tipo de actividades sociales fueron desempeñadas en el sector II del Sitio Arqueológico Tambo Inga en el valle bajo del río Chillón durante el Horizonte Tardío bajo la influencia Inca?

Hipótesis:

En el valle bajo del río Chillón, en el sector II del Sitio Arqueológico Tambo Inga se realizaron festines, durante el Horizonte Tardío y bajo la influencia Inca.

Preguntas secundarias:

Pregunta secundaria 1:

¿Cuáles fueron las funciones y las frecuencias de los materiales arqueológicos de tipo cerámico recuperados de los cateos 1, 2, 3, 4, 5, 6, 7, 8, 9, 10, 12, 13 y 14 del sector II de Tambo Inga?

Pregunta secundaria 2:

¿Cuál es la filiación cultural de los materiales arqueológicos de tipo cerámico identificados en los cateos 1, 2, 3, 4, 5, 6, 7, 8, 9, 10, 12, 13 y 14 del sector II de Tambo Inga?

Pregunta secundaria 3:

¿Qué cronología relativa representa el material cerámico identificado en los cateos 1, 2, 3, 4, 5, 6, 7, 8, 9, 10, 12, 13 y 14 del sector II de Tambo Inga?

Pregunta secundaria 4:

¿Cuáles fueron los taxones de origen malacológico y óseo animal consumidos y recuperados de los cateos 1, 2, 3, 4, 5, 6, 7, 8, 9, 10, 12, 13 y 14 del sector II de Tambo Inga y la frecuencia de estos?

2.3 Fines y objetivos de investigación

Objetivo principal:

Identificar el tipo de actividades sociales que fueron desempeñadas en el sector II del Sitio Arqueológico Tambo Inga, en el valle bajo del río Chillón, durante el Horizonte Tardío, bajo la influencia Inca.

Objetivos secundarios:

- Determinar las funciones y las frecuencias de los materiales arqueológicos de tipo cerámico recuperados de los cateos 1, 2, 3, 4, 5, 6, 7, 8, 9, 10, 12, 13 y 14 del sector II de Tambo Inga.
- Identificar el consumo y la frecuencia de los materiales arqueológicos consumidos de tipo malacológico y óseo animal recuperados de los cateos 1, 2, 3, 4, 5, 6, 7, 8, 9, 10, 12, 13 y 14 del sector II de Tambo Inga.
- Corroborar la pertenencia del material cerámico identificado en los cateos 1, 2, 3, 4, 5, 6, 7, 8, 9, 10, 12, 13 y 14 del sector II de Tambo Inga al periodo Horizonte Tardío.
- Definir la filiación cultural de los materiales arqueológicos de tipo cerámico identificados en los cateos 1, 2, 3, 4, 5, 6, 7, 8, 9, 10, 12, 13 y 14 del sector II de Tambo Inga.

Fin: Definir la práctica de actividades de festines en el sector II del Sitio Arqueológico Tambo Inga, en el valle bajo del río Chillón, durante el Horizonte Tardío, bajo la influencia Inca.

Finalidad: Contribuir a la comprensión de las actividades socio-políticas Inca realizadas en un asentamiento ubicado en el valle bajo del río Chillón durante el Horizonte Tardío.

3. Plan de investigación y cronograma de trabajo

3.1 Plan de investigación

La presente investigación se desarrolló en un total de cuatro meses (16 semanas), desde la primera semana de junio hasta la segunda semana de setiembre del año 2019 y se dividió en tres subfases: análisis de material óseo animal, análisis de material malacológico y análisis de material cerámico.

La primera etapa consistió en la verificación, limpieza mecánica, análisis, registro escrito y fotográfico del material óseo animal. Esta etapa se realizó durante las tres primeras semanas de ejecución del proyecto.

La segunda etapa se trató de la verificación, limpieza mecánica, análisis, registro escrito y fotográfico del material de tipo malacológico. Esta etapa se realizó durante 5 semanas.

La tercera etapa consistió en la verificación, limpieza mecánica, registro gráfico, escrito y fotográfico y análisis de material cerámico. Esta fase se llevó a cabo por 5 semanas.

3.2 Cronograma de trabajo

Etapa	Cronograma de trabajo													
	Junio				Julio				Agosto				Septiembre	
	1s	2s	3s	4s	1s	2s	3s	4s	1s	2s	3s	4s	1s	2s
Análisis de material óseo animal														
Análisis de material malacológico														
Análisis de material cerámico														

Tabla 2: cronograma de trabajo.

4. Plan de conservación y protección

Se desarrolló un plan de conservación y protección del patrimonio que incluye únicamente la aplicación de medidas de conservación preventiva de los bienes arqueológicos muebles. Entre estas medidas se encuentran las siguientes.

El registro fotográfico de las condiciones iniciales en las que el Ministerio de Cultura hizo entrega de los materiales arqueológicos para investigar. Esto considera la toma de fotos de las cajas y sus rótulos antes de ser abiertas, del interior de cada caja y de cada una de las bolsas y sus respectivas etiquetas previo a que se abran.

La limpieza mecánica al seco de los materiales arqueológicos pertenecientes a la colección: para lo cual, se hizo uso de las herramientas correspondientes a este proceso como son los pinceles de distintos tamaños y cepillos de dientes de cerdas blandas.

El uso de los implementos básicos de higiene y seguridad durante la manipulación de la colección arqueológica: lo cual implica la utilización de guantes quirúrgicos de nitrilo, mascarillas y guardapolvos de color blanco.

El embalaje adecuado de los bienes pertenecientes a la colección: esta actividad implicó el cambio y /o renovación de bolsas y de etiquetas de ser necesario, el relleno de los espacios vacíos de las cajas contenedoras de bienes arqueológicos con papel seda blanco sin ácido, el reordenamiento de las bolsas dentro de las cajas de acuerdo con su peso y el sellado cuidadoso de cada caja.

5. Metodología durante los trabajos de gabinete

La estrategia metodológica desarrollada en la presente investigación implicó los métodos de muestreo, los métodos de análisis y los procedimientos técnicos durante los trabajos de gabinete.

5.1 Métodos de muestreo

El tipo de muestreo utilizado en este trabajo, para seleccionar los materiales objeto de estudio, ha sido el muestreo no probabilístico; es decir un muestreo no dejado al azar y direccionado por un objetivo específico; seleccionando así los materiales arqueológicos procedentes de los cateos que nos brinden más información contextual.

5.1.1 Universo

El universo se encuentra conformado por 216 bolsas de material arqueológico procedentes de las excavaciones del sector II de Tambo Inga, las cuales están distribuidas de la siguiente manera: 111 bolsas de cerámica, 58 bolsas de material malacológico, 23 bolsas de material óseo animal, 12 bolsas de material lítico, 4 bolsas de material óseo humano, 3 bolsas de material botánico, 1 bolsa de material ictiológico, 1 bolsa de artefacto óseo animal, 1 bolsa de artefacto metálico, 1 bolsa de artefacto malacológico y 1 bolsa de artefacto cerámico.

5.1.2 Tamaño de muestra

La muestra está compuesta por un total de 192 bolsas procedentes de los cateos 1, 2, 3, 4, 5, 6, 7, 8, 9, 10, 12, 13 y 14 del sector II de Tambo Inga, es decir, la muestra corresponde al 88.90 % del universo. Siendo específicos la muestra se distribuye en 111 bolsas de material cerámico, 58 bolsas de material malacológico y 23 bolsas de material óseo animal. Vale mencionar que en la presente investigación se decidió no tomar en cuenta el material ictiológico, óseo humano, los artefactos y el material lítico debido a la poca distribución presentada y por no alinearse con los fines de la investigación.

5.2 Métodos de análisis

Los métodos de análisis utilizados fueron: análisis morfológico funcional, análisis de pastas, análisis de patrón decorativo, análisis de material malacológico y carcinológico y análisis de material óseo animal.

5.2.1 Metodología de análisis morfológico-funcional en cerámica

El análisis morfológico funcional consiste en la identificación de las formas originales a las cuales los segmentos de borde cerámico pertenecieron inicialmente. Para lo cual se llevaron a cabo los siguientes pasos: 1) dibujo técnico de bordes, 2) clasificación por tipo general de vasija, 3) clasificación por tipo específico de vasija (categorías formales) y 4) establecimiento de tipos, subtipos y variedades dentro de cada categoría formal.

Primero, se realizó el dibujo técnico de perfil de los segmentos de borde que cuenten con al menos el 10% de su diámetro original. Se reconstruyó el diámetro original y la forma completa de la vasija por simetría bilateral. El dibujo técnico realizado está dividido en dos secciones: en el lado izquierdo se representa la parte interior de la vasija y en el lado derecho se refleja la parte externa. El dibujo técnico del contorno de los bordes permitió obtener información del diámetro de la vasija, inclinación de las paredes de la vasija y características morfológicas del borde.

Segundo, se clasificaron los fragmentos de borde en vasijas cerradas y abiertas tomando en cuenta la comparación entre el diámetro de la boca de la vasija y el diámetro o posible diámetro del cuerpo de la vasija y el ángulo de inclinación de las paredes de estas. De tal manera que las vasijas cerradas son aquellas cuyo diámetro de la boca de la vasija sea menor al diámetro del cuerpo de la vasija y las vasijas abiertas son aquellas cuyo diámetro de la boca de la vasija es mayor o igual al diámetro del cuerpo de la vasija.

Tercero, consistió en la clasificación por tipo específico de vasija. En el caso de las vasijas cerradas se tomó como indicador la relación entre la longitud del cuello de la vasija y el diámetro de la boca de la vasija. Es así como las vasijas cerradas con razón entre 0 y 0.25 son identificadas como ollas, las que tienen razón entre 0.33 a 0.5 como cántaros y aquellas cuya razón sea de 0.5 a más como botellas. Por otro lado, en el caso de las vasijas abiertas el indicador utilizado fue el ángulo de inclinación de las paredes. De tal manera que aquellas vasijas abiertas con inclinación de paredes mayor a 50° sexagesimales se clasifican como cuencos y aquellas cuyo ángulo de las paredes es menor a 50° sexagesimales son platos.

Finalmente, se establecieron tipos, subtipos y variedades dentro de cada categoría formal tomando como indicadores de diferenciación la forma y espesor de las paredes de la vasija, el tipo y longitud de cuello y el tipo de borde y labio.

5.2.2 Metodología de análisis de pastas

El análisis de pastas consiste en la descripción de las propiedades físicas de la pasta. En la presente investigación se utiliza la propuesta metodológica planteada por (Druc & Chavez, 2014), la cual toma en cuenta las siguientes características físicas de las pastas y los subsecuentes procedimientos técnicos. Entre las características físicas de las pastas consideradas se encuentran: tipo, tamaño, angularidad y frecuencia de inclusiones con respecto a la matriz, forma y frecuencia de poros y color de la pasta. El procedimiento seguido para el análisis de pasta fue el siguiente: 1) selección de la muestra, 2) corte en fresco de fragmento de cerámica, 3) registro microfotográfico de las pastas, 4) descripción de las propiedades físicas de la pasta y 5) formación de grupos y subgrupos de pasta.

Primero, se seleccionó todos los segmentos de borde (270 fragmentos) para conformar la muestra de análisis con el objetivo de relacionar los tipos de pastas con las categorías morfológicas producidas con estas.

Segundo, se realizó un corte de aproximadamente 1 cm cuadrado en cada fragmento cerámico seleccionado, haciendo uso de un alicate o pinza y evitando dañar aquellas secciones que cuenten con algún tipo de decoración.

Tercero, se hicieron capturas microfotográficas de la pasta de cada fragmento. Para lo cual se utilizó un microscopio AM4113ZT Dino-Lite y el software Dinocapture 2.0 para procesar las fotografías. Cada una de las microfotografías fue escalada tomando como escala de referencia la medida del ancho de la sección de cada fragmento cerámico previamente cortado.

Cuarto, se describió las características físicas de cada fragmento de pasta. Para lo cual se identificaron las inclusiones presentes en cada pasta tomando como referencia el sistema de clasificación de inclusiones no orgánicas establecidas por (Druc & Chavez, 2014, págs. 17-53), se midió el tamaño de las inclusiones y poros con el software Dinocapture 2.0, se comparó la cantidad relativa de inclusiones y poros con los esquemas establecidos por Mathew (1991), se comparó la angularidad de las inclusiones presentes en las pastas objeto de análisis con la cartilla de (Druc & Chavez, 2014, pág. 13) y se determinó el color de la pasta haciendo uso de una escala Munsell.

Finalmente, se clasificaron en grupos de pasta aquellos segmentos de borde que comparten al menos los mismos tipos de inclusiones. Así mismo, algunos grupos de pastas se subdividieron de acuerdo con el tamaño, angularidad y frecuencia de inclusiones y el tamaño, frecuencia y forma de los poros.

5.2.3 Metodología de análisis del patrón decorativo

El análisis del patrón decorativo consiste en la identificación de las distintas técnicas de decoración y motivos decorativos aplicados en la cerámica y su correlación con las formas cerámicas previamente establecidas. Esta metodología se compone de 4 etapas: 1) selección de la muestra 2) clasificación de los fragmentos decorados que no poseen bordes en categorías morfológicas posibles y 3) identificación de técnicas y diseños decorativos y 4) cruce de información entre categorías formales y patrones decorativos.

Primero, se seleccionaron todos aquellos bordes, cuerpos decorados, asas, mangos y asas que presentaban algún tipo de decoración. La muestra para este análisis estuvo conformada por 252 fragmentos diagnósticos.

Segundo, se asignaron los fragmentos diagnósticos decorados que no poseían borde a posibles categorías formales tomando en cuenta la superficie en la cual se encontraba la decoración y la similitud en el grosor y curvatura de las paredes entre las categorías formales establecidas y los fragmentos decorados que no poseían borde. Además, aquellos fragmentos que no pudieron ser agrupados dentro de las categorías formales establecidas, se limitaron a asignarlas a vasijas cerradas (con decoración en superficie externa) y vasijas abiertas (con decoración en superficie interna).

Tercero, a través de inspección macroscópica se identificaron las técnicas y motivos decorativos en cada fragmento decorado utilizando como principal material de referencia a (Manrique, 2001).

Finalmente, se relacionó las técnicas y motivos decorativos con las categorías formales en los cuales se encontraban.

5.2.4 Metodología de análisis de material malacológico y carcinológico

En la presente investigación se ha hecho uso de la propuesta metodológica planteada por (Bejega, 2009) para el análisis de material malacológico y carcinológico. Esta metodología contempla las siguientes 4 etapas: 1) limpieza mecánica, 2) identificación taxonómica, 3) clasificación por categorías de fragmentación y 4) cuantificación por NR (número de restos) y NMI (número mínimo de individuos).

La primera etapa involucró la limpieza mecánica al seco del material malacológico y carcinológico haciendo uso de cepillos, pinceles delgados y palitos de bambú.

La segunda etapa, consistió en la identificación por taxón del material malacológico y carcinológico considerando las categorías taxonómicas de clase, género y especie. Para lo cual se hizo uso a modo de colección de referencia de los siguientes manuales: (Álamo & Valdivieso, 1997), (Zuñiga, 2002), (Guzmán, Saá, & Ortlieb, 1998) e (Instituto del Mar del Perú, 2015).

La tercera etapa, consistió en la identificación de las categorías de fragmentación correspondientes dentro de cada grupo taxonómico. Para lo cual se siguió la propuesta de (Bejega, 2009) la cual consta de lo siguiente:

Bivalvia	Gastrópoda espiralado	Gastrópoda no espiralado
<u>Valva completa (VCOM)</u> Resto valvar sin fragmentar o con un faltante de menos del 5% de la pieza, se pueden tomar las medidas biométricas sin dificultad.	<u>Individuo completo (ICOM)</u> Individuo sin fragmentar que permite tomar las medidas biométricas	<u>Individuo completo (ICOM)</u> Individuo sin fragmentar que presenta todos los elementos diagnósticos (ápice y bordes completos); permite tomar medidas biométricas.
<u>Valva fragmentada (VFRA)</u> Presenta algún tipo de rotura, pero que presenta todos los elementos diagnósticos (charnela, impresiones musculares) permitiendo tomar las medidas biométricas	<u>Individuo fragmentado (IFRA)</u> Individuo que presenta alguna rotura pero que conserva el ápice, la zona bucal (completa o semicompleta) y el final de la columela intacto permite tomar medidas biométricas.	<u>Individuo fragmentado (IFRA)</u> Resto que presenta pequeñas roturas y astilladuras, pero conserva el ápice y alguna parte del borde original; permite tomar medidas biométricas.
<u>Fragmento charnelar completo (FCHC)</u> Resto que conserva la charnela de manera completa, pero no las impresiones musculares, no se pueden tomar las medidas biométricas	<u>Fragmento apical (FAPI)</u> Restos que conserva el ápice, pero no la zona bucal; también son los restos que conservan el ápice y el final de la columela, pero sin la zona bucal.	<u>Fragmento apical (FAPI)</u> Resto que ha perdido el borde original y que solo conserva el ápice
<u>Fragmento charnelar anterior (FCHA)</u> Restos de valva en la cual se conserva solo la zona anterior de la charnela.	<u>Fragmento de estoma (FEST)</u> Fragmento con la zona bucal completa y el final de la columela intacto, pero no conserva el ápice.	<u>Fragmentos</u> Restos sin elementos diagnósticos.
<u>Fragmento charnelar posterior (FCHP)</u> Restos de valva en la cual se conserva solo la zona posterior de la charnela.	<u>Fragmento umbilical (FUMB)</u> Fragmento con el final de la columela intacto, pero sin conservar el ápice ni la zona bucal.	
<u>Fragmentos</u> Restos sin elementos diagnósticos.	<u>Fragmentos</u> Restos sin elementos diagnósticos.	

Tabla 3: categorías de fragmentación del material malacológico. Elaboración propia, basada en Bejega (2009, págs. 33-38).

Finalmente, la cuarta etapa se trató de calcular los estimadores de abundancia (NR y NMI) por cada taxón. El número de restos (NR) se calcula como la suma total de restos correspondientes a una determinada especie sin importar la categoría de fragmentación a la cual pertenezcan. Mientras el número mínimo de individuos (NMI) es calculado a través de un par de fórmulas de acuerdo con la clase a la cual pertenezca el taxón. El NMI en bivalvos será el resultado mayor de aplicar la siguiente fórmula para las valvas derechas e izquierdas.

$$\text{NMI} = \text{VCOM} + \text{VFRA} + \text{FCHC} + (\text{FCHA} \text{ o } \text{FCHP}, \text{ el que sea mayor})$$

Por otro lado, el NMI en Gasterópodos espiralados es calculado a través de la siguiente fórmula:

$$\text{NMI} = \text{ICOM} + \text{IFRA} + (\text{FAPI} \text{ o } [\text{FEST} + \text{FUMB}])$$

Finalmente, el NMI en Gasterópodos no espiralados es calculado a través de la siguiente fórmula:

$$\text{NMI} = \text{ICOM} + \text{IFRA} + \text{FAPI}$$

5.2.5 Metodología de análisis de material óseo animal

El análisis del material óseo animal contempló 4 etapas: 1) limpieza mecánica, 2) selección del material diagnóstico, 3) identificación taxonómica y 4) identificación anatómica y 5) cuantificación por NSIP (número de especímenes por taxón) y NMI (número mínimo de individuos).

Primero, se realizó la limpieza mecánica al seco del material óseo animal haciendo uso de pinceles delgados y palitos de bambú.

Segundo, se separó como material diagnóstico a aquellos restos óseos que permitieran la identificación anatómica y taxonómica de los individuos. Se consideraron no diagnósticos a los materiales óseos correspondientes a diáfisis de huesos largos, huesos cortos y planos sin ninguna característica formal definida y aquellos restos óseos con alto grado de fragmentación.

Tercero, se clasificó el material diagnóstico de acuerdo con las categorías taxonómicas de clase, familia, género y especie. Para lo cual se utilizaron los siguientes manuales como colección de referencia: (Pasquel, 2017), (Galotta, 1988), (Altamirano, 1983) y (Sato & Angulo, sf).

Cuarto, se realizó la identificación anatómica de cada resto óseo, es decir, se determinó el elemento óseo (tibia, fémur, etc.), lateralidad (derecha o izquierda), valor fraccional de completitud (0.1-1), parte anatómica (cráneo, miembro torácico, miembro pélvico, vértebras, costillas, etc.) y región esquelética (axial o apendicular).

Quinto, consistió en calcular los estimadores de abundancia (NSIP y NMI) por cada taxón. El número de especímenes por taxón (NSIP) es calculado como la suma de todos los restos correspondientes a un determinado taxón. Mientras el número mínimo de individuos (NMI) es determinado por la frecuencia o cantidad del elemento óseo más abundante por cada taxón, tomando en cuenta la lateralidad y la región esquelética a las cuales pertenece el elemento óseo. Vale recalcar que no se ha utilizado el mismo elemento óseo para determinar el número mínimo de individuos en todos los taxones.

5.3 Procedimientos técnicos

El procedimiento técnico para el análisis de la colección investigada se descompone de siete fases: verificación, limpieza, codificación, clasificación, análisis y registro, inventario y embalaje.

Verificación

La primera etapa fue la inspección ocular detallada de la correspondencia de los materiales solicitados al Ministerio de Cultura con los entregados por esta institución. En el proceso se realizó la toma fotográfica del estado original en el cual se encuentran los materiales. Los materiales utilizados fueron útiles de escritorio y cámara fotográfica.

Limpieza

La segunda fase consistió en la limpieza mecánica al seco de los materiales arqueológicos pertenecientes a la colección a investigar haciendo uso de cepillos, pinceles y bombines.

Codificación

El tercer paso en los trabajos de gabinete fue la codificación de los materiales, de tal manera que a cada material se le otorgue un código único. Este procedimiento se realizó a través de etiquetas anexadas en los materiales de tipo malacológico, óseo animal y cerámico. Las herramientas y materiales utilizados en esta etapa fueron etiquetas impresas y bolsas pequeñas que permitieron individualizar cada elemento diagnóstico cerámico y cada grupo de material óseo animal o malacológico correspondiente a una misma especie, cateo y unidad estratigráfica.

Clasificación

La cuarta fase consistió en la separación de los materiales arqueológicos, dentro de los tipos previamente definidos, en materiales diagnósticos y materiales no diagnósticos.

Análisis y registro

La quinta etapa se trató de la ejecución del análisis macroscópico y del registro escrito, gráfico y fotográfico de los materiales arqueológicos previamente identificados como diagnósticos. Siendo las herramientas y materiales utilizados en esta etapa guantes, mascarillas, fichas, lupas, microscopio digital de mano, peines de ebanista, pie de rey, papel milimétrico, útiles de escritorio, cámaras fotográficas, escalas, etc.

Inventario

El sexto momento implicó el recuento de los materiales investigados de la colección; detallando el tipo de material, los códigos de las bolsas, el peso de los materiales y una breve descripción. Los equipos y herramientas utilizados fueron una computadora de escritorio y una balanza.

Embalaje

La última fase consistió en el guardado de los materiales de acuerdo con las condiciones iniciales como el Ministerio de Cultura los entregó. Empaquetando los materiales en sus respectivas bolsas plásticas y disponiéndolas en las cajas de cartón rotuladas originales. Para la ejecución de esta fase se hizo uso de útiles de escritorio en general, bolsas de distintos tamaños y cajas de cartón.

6. Equipo de investigadores y responsabilidades

El equipo de trabajo del presente proyecto estuvo bajo la dirección de la Dra. Luisa Díaz y fue conformado por la bachillera Marcia Orrego, quien fue la responsable de los trabajos de gabinete, y por un grupo de cuatro asistentes de gabinete.

Cargo	Responsable	Funciones
Director (a) del proyecto	Dra. Luisa Esther Díaz Arriola	Responsable de dirección y ejecución del proyecto.
Encargada de trabajos de gabinete	Bach. Marcia Elizabeth Orrego Zárate	Responsable y supervisora de los trabajos de gabinete.
Asistentes de gabinete	Bach. Jenifer Joana Pérez Varillas. Bach. Andrea Edita Perales De Olarte. Bach. Ruth Milagros Garay Fanola. Bach. Eli Karina Macavilca Contreras.	Ejecución del trabajo de gabinete.

Tabla 4: distribución de cargos y responsabilidades.

7. Resultados de investigación

7.1 Resultados del análisis del material cerámico

El material cerámico procedente del sector II de Tambo Inga estuvo contenido en un total de 110 bolsas distribuidas en 10 cajas (N. ° 1-8, N. °10 y N. °45). De acuerdo con la información obtenida en campo, el material cerámico procede de 13 cateos numerados del N. °1 al 10, N. °12-14 y de las unidades estratigráficas N. ° 1-11.

La muestra analizada está compuesta por un total de 517 fragmentos diagnósticos conformados por 266 bordes, 185 cuerpos decorados, 53 bases, 11 asas y 2 mangos. De los 517 fragmentos diagnósticos presentes en esta muestra 516 de ellos corresponden a fragmentos de vasijas y solo uno pertenece a un fragmento de figurina.

7.1.1 Resultados del análisis morfológico funcional

La muestra analizada contiene un total de 266 fragmentos de borde diagnósticos divididos en 3 grandes clases: vasijas cerradas, vasijas abiertas y vasijas miniatura, las cuales a su vez se subdividen en 10 categorías formales generales conformadas por aríbalos, botellas, cántaros, ollas, tinajas, cuencos, platos, cántaros miniatura, ollas miniatura y cuencos miniatura.

Aríbalos

Los aríbalos son vasijas cerradas correspondientes a la categoría formal cántaros, que se caracteriza por poseer un cuello alto, estrecho y abocinado, con dos pequeños lóbulos debajo del labio (Ravines, 2011, pág. 126). Su función principal es contener, almacenar, preservar y transportar líquidos y sólidos. La categoría formal aríbalos está representada por un total de 10 fragmentos con segmento de borde, lo cual equivale al 3.76 % del total de las categorías formales identificadas. Se subdivide en 3 tipos de acuerdo con las formas de borde que estos presentan.

Aríbalo 1 (4 bordes incluyendo variantes, figura 1- página 93)

Aríbalo de paredes divergente cóncavas, borde continuo y labio redondeado, con un promedio de diámetro de boca de la vasija de 15 cm. Está conformado por 2 unidades, lo cual representa el 0.75 % de los fragmentos de bordes. Presenta 1 variante de acuerdo con el tipo de labio.

Aríbalo 1a (figura 2- página 93)

Aríbalo de paredes divergente cóncavas, borde continuo y labio en forma de media ojiva interna, con un promedio de diámetro de boca de la vasija de 18 cm. Esta variante está representada por 2 unidades, lo cual representa el 0.75 % de los fragmentos de borde.

Aríbalo 2 (1 borde, figura 3 -página 93)

Aríbalo de paredes divergente cóncavas, borde engrosado interno-externo y labio redondeado, con diámetro de boca de la vasija de 18 cm. Se encuentra representado por 1 unidad equivalente a un 0.38 % de los fragmentos con segmento de borde.

Aríbalo 3 (5 bordes incluyendo variantes, figura 4-página 93)

Aríbalo de paredes divergente cóncavas, de borde doblado externo y labio redondeado, con diámetro de la boca de la vasija entre 10 a 22 cm. Está representado por 4 unidades equivalentes a un 1.50 % de los fragmentos con segmento de borde. Presenta 1 variante de acuerdo con el tipo de labio.

Informe Final del Proyecto de Investigación de Colecciones y Fondos Museográficos “Tambo Inga 2019”
Aríbalo 3a (figura 5-página 93)

Aríbalo de paredes divergente cóncavas, borde doblado externo y labio en forma de media ojiva interna, con diámetro de boca de la vasija de 21 cm. Se encuentra representado por 1 solo caso, equivalente a un 0.38% de los fragmentos con segmento de borde.

Botellas

Las botellas son vasijas cerradas cuya razón entre la longitud del cuello y el diámetro de la boca de la vasija es igual o mayor a 0.5. Su función principal es contener y servir líquidos. La categoría formal botellas está representada mediante 3 segmentos de borde, lo cual equivale al 1.13% de los segmentos de borde totales. Es la categoría formal menos representada en todo el repertorio formal del sector II de Tambo Inga. Esta categoría formal se subdivide en 2 tipos de acuerdo con el tipo de cuello que presentan.

Botella 1 (2 bordes, figura 6- página 94)

Botella con cuello de paredes vertical cóncavas, de borde doblado externo, labio plano y con un promedio de diámetro de boca de la vasija de 4 cm. Esta categoría formal se encuentra representada por 2 unidades, lo cual equivale al 0.75 % de los segmentos de borde que conforman la muestra.

Botella 2 (1 borde, figura 7- página 94)

Botella con cuello de paredes vertical rectas, borde continuo, labio en forma de media ojiva interna y diámetro promedio de la boca de la vasija de 4cm. Esta categoría formal se encuentra representada por 1 ejemplar, lo cual corresponde al 0.38 % de los segmentos de borde que conforman la muestra.

Cántaros

Los cántaros son vasijas cerradas cuya razón entre la longitud del cuello de la vasija y el diámetro de la boca de la vasija se encuentra entre 0.33 a 0.5. Su función principal es contener, almacenar, preservar y transportar líquidos y sólidos. La categoría formal cántaros se encuentra representada por 29 segmentos de borde, lo cual equivale al 10.90% de los segmentos de borde identificados. Es la segunda categoría formal más representada en todo el repertorio formal analizado. Se subdivide en 6 tipos de acuerdo con el tipo de paredes que presentan los cuellos de los cántaros.

Cántaro 1 (2 bordes incluyendo variantes, figura 8-página 95)

Cántaro con cuello de paredes vertical rectas, borde continuo, labio redondeado y con diámetro de la boca de la vasija de 13 cm. Se encuentra representado por 1 solo ejemplar, que corresponde al 0.38 % de los segmentos de borde que conforman la muestra. Presenta 1 variante de acuerdo con el tipo de borde y labio.

Cántaro 1a (figura 9- página 95)

Cántaro con cuello de paredes vertical rectas, borde doblado externo, labio en forma de media ojiva interna y con diámetro de la boca de la vasija de 11 cm. Está representado por 1 unidad, lo cual corresponde al 0.38 % de los segmentos de borde que conforman la muestra.

Cántaro 2 (4 bordes incluyendo variantes, figura 10- página 95)

Cántaro con cuello de paredes vertical convexas, borde continuo, labio redondeado y con diámetro de boca de la vasija entre 10 y 11 cm. Está representado por 2 unidades, equivalentes al 0.75 % de los segmentos de borde que conforman la muestra. Presenta 2

Informe Final del Proyecto de Investigación de Colecciones y Fondos Museográficos “Tambo Inga 2019”
variantes de acuerdo con el tipo de borde y labio presentados.

Cántaro 2a (figura 11- página 95)

Cántaro con cuello de paredes vertical convexas, borde engrosado interno-externo, labio redondeado y diámetro de la boca de la vasija de 10 cm. Esta variante está representada por 1 solo ejemplar, lo cual equivale al 0.38 %.

Cántaro 2b (figura 12- página 95)

Cántaro con cuello de paredes vertical convexas, borde engrosado interno-externo, labio plano y diámetro de la boca de la vasija de 14 cm. Esta variante está representada por 1 solo ejemplar, lo cual equivale al 0.38 %.

Cántaro 3 (9 bordes incluyendo variantes, figura 13- página 96)

Cántaro de cuello de paredes divergente rectas, de borde continuo, labio redondeado y diámetro de la boca de la vasija entre 11 y 15 cm. Está representado por 4 unidades, lo cual equivale al 1.50% de los segmentos de borde de la muestra total. Presenta 4 variantes de acuerdo con el tipo de borde y labio.

Cántaro 3a (figura 14- página 96)

Cántaro de cuello de paredes divergente rectas, de borde continuo, labio plano y diámetro de la boca de la vasija de 13 cm. Está representado por 1 ejemplar, lo cual equivale al 0.38% de los segmentos de borde de la muestra total.

Cántaro 3b (figura 15- página 96)

Cántaro de cuello de paredes divergente rectas, de borde continuo, labio en forma de media ojiva interna y diámetro de la boca de la vasija de 10 cm. Está representado por 1 ejemplar, lo cual equivale al 0.38% de los segmentos de borde de la muestra total.

Cántaro 3c (figura 16- página 96)

Cántaro de cuello de paredes divergente rectas, de borde engrosado externo, labio en forma de media ojiva interna y diámetro de la boca de la vasija de 12 cm. Está representado por 1 ejemplar, lo cual equivale al 0.38% de los segmentos de borde de la muestra total.

Cántaro 3d (figura 17- página 96)

Cántaro de cuello de paredes divergente rectas, de borde engrosado interno-externo, labio redondeado y diámetro de la boca de la vasija de 14 cm. Está representado por 1 ejemplar, lo cual equivale al 0.38% de los segmentos de borde de la muestra total.

Cántaro 3e (figura 18- página 96)

Cántaro de cuello de paredes divergente rectas, de borde doblado externo, labio en forma de media ojiva interna y diámetro de la boca de la vasija de 18 cm. Está representado por 1 ejemplar, lo cual equivale al 0.38% de los segmentos de borde de la muestra total.

Cántaro 4 (5 bordes incluyendo variantes, figura 19- página 97)

Cántaro de cuello de paredes divergente convexas, de borde continuo, labio redondeado y con diámetro promedio de la boca de la vasija de 15 cm. Está representado por 2 unidades, equivalentes al 0.75 % de los segmentos de borde que conforman la muestra. Presenta un total de 3 variantes de acuerdo con el tipo de borde y labio.

Cántaro 4a (figura 20 -página 97)

Cántaro de cuello de paredes divergente convexas, de borde continuo, labio plano y con diámetro promedio de la boca de la vasija de 13 cm. Está representado por 1 solo ejemplar, equivalente al 0.38 % de los segmentos de borde que conforman la muestra.

Cántaro 4b (figura 21-página 97)

Cántaro de cuello de paredes divergente convexas, de borde engrosado externo, labio redondeado y con diámetro de la boca de la vasija de 15 cm. Está representado por 1 ejemplar, equivalente al 0.38 % de los segmentos de borde que conforman la muestra.

Cántaro 4c (figura 22- página 97)

Cántaro de cuello de paredes divergente convexas, de borde doblado externo, labio redondeado y con diámetro de la boca de la vasija de 11 cm. Está representado por 1 ejemplar, equivalente al 0.38 % de los segmentos de borde que conforman la muestra.

Cántaro 5 (8 bordes incluyendo variantes, figura 23-página 97)

Cántaro de cuello de paredes divergente cóncavas, de borde continuo, labio redondeado y con diámetro promedio de la boca de la vasija de 12 cm. Está representado por 4 unidades, equivalente al 1.50 % de los segmentos de borde que conforman la muestra total. Además, presenta un total de 4 variantes de acuerdo con el tipo de borde y labio.

Cántaro 5a (figura 24- página 97)

Cántaro de cuello de paredes divergente cóncavas, de borde engrosado externo, labio en forma de media ojiva interna y con diámetro de la boca de la vasija de 12 cm. Está representado por 1 ejemplar, equivalente al 0.38 % de los segmentos de borde que conforman la muestra total

Cántaro 5b (figura 25- página 98)

Cántaro de cuello de paredes divergente cóncavas, de borde engrosado interno-externo, labio redondeado y con diámetro de la boca de la vasija 10 cm. Está representado por 1 ejemplar, equivalente al 0.38 % de los segmentos de borde que conforman la muestra total.

Cántaro 5c (figura 26- página 98)

Cántaro de cuello de paredes divergente cóncavas, de borde engrosado interno-externo, labio plano y con diámetro de la boca de la vasija 15 cm. Está representado por 1 ejemplar, equivalente al 0.38 % de los segmentos de borde que conforman la muestra total.

Cántaro 5d (figura 27-página 98)

Cántaro de cuello de paredes divergente cóncavas, de borde engrosado interno-externo, labio ojival y con diámetro de la boca de la vasija 10 cm. Está representado por 1 ejemplar, equivalente al 0.38 % de los segmentos de borde que conforman la muestra total.

Cántaro 6 (1 borde, figura 28-página 98)

Cántaro de cuello de paredes convergentes cóncavas, de borde continuo, de labio redondeado y con diámetro de la boca de la vasija de 10 cm. Está representado por 1 ejemplar, lo cual representa el 0.38 % del total de segmentos de borde que conforman la muestra.

Ollas

Las ollas son vasijas cerradas cuya razón entre la longitud del cuello de la olla y el diámetro de la boca se encuentra entre 0 a 0.25. Su función principal es la preparación de alimentos. Esta categoría formal está representada por un total de 161 segmentos de borde, lo cual equivale al 60.53 % de los segmentos de bordes totales de la muestra. Es la categoría formal más ampliamente representada en todo el repertorio cerámico del sector II de Tambo Inga. La categoría formal ollas se subdivide en 13 tipos de acuerdo con la presencia o ausencia de cuello y la forma de las paredes del cuello.

Olla 1(10 bordes incluyendo variantes, figura 29- página 99)

Olla sin cuello, con borde continuo, con paredes vertical convexas, con labio plano y con diámetro de la boca de la vasija de 16 cm. Se encuentra representado por 1 solo ejemplar, correspondiente al 0.38% de los segmentos de borde que conforman la muestra total. Presenta 2 variantes de acuerdo con la presencia/ausencia de inflexión angular.

Olla 1a (figura 30- página 99)

Olla sin cuello, con borde continuo, paredes convergente convexas, labio redondeado y diámetro de la boca de la vasija entre 11 a 18 cm. Esta variante está representada por 9 unidades, lo cual equivale al 3.38% de los segmentos de borde de la muestra total.

Olla 1b (figura 31- página 99)

Olla sin cuello, con borde continuo, de paredes convergente convexas con inflexión angular, de labio redondeado y con diámetro promedio de la boca de la vasija de 14 cm. Esta variedad está representada por 1 solo ejemplar, lo cual representa el 0.38 % de los segmentos de borde de la muestra total.

Olla 2 (8 bordes incluyendo variantes, figura 32- página 99)

Olla sin cuello, con borde engrosado interno, paredes convergente convexas, labio redondeado y diámetro de la boca de la vasija entre 12 a 17 cm. Este tipo está representado por 7 unidades, lo cual representa el 2.63 % de los segmentos de borde que conforman la muestra total. Además, presenta 1 variedad de acuerdo con el tipo de labio.

Olla 2a (figura 33- página 99)

Olla sin cuello, con borde engrosado interno, paredes convergente convexas, labio en forma de media ojiva externa y diámetro de la boca de la vasija de 18 cm. Esta variedad está representada por 1 solo ejemplar, lo cual equivale al 0.38 % de los segmentos de borde que componen la muestra total.

Olla 3 (13 bordes incluyendo variantes, figura 34- página 100)

Olla sin cuello, con borde engrosado externo, paredes convergente convexas, labio redondeado y con diámetro de la boca de la vasija entre 10 a 17 cm. Este tipo está representado por 11 unidades, las cuales equivalen al 4.14 % de los segmentos de borde que componen la muestra total. Este tipo presenta 1 variedad de acuerdo con el tipo de labio.

Olla 3a (figura 35- página 100)

Olla sin cuello, con borde engrosado externo, paredes convergente convexas, labio en forma de media ojiva externa y diámetro de la boca de la vasija entre 12 a 15 cm. Esta variedad está representada por 2 unidades, las cuales representan al 0.75 % de los segmentos de borde que conforman la muestra total.

Olla 4 (11 bordes incluyendo variantes, figura 36- página 100)

Olla sin cuello, con borde engrosado interno-externo, paredes convergentes convexas, labio redondeado y con diámetro de la boca de la vasija entre 10 a 13 cm. Este tipo está representado por 5 unidades, lo cual equivale al 1.88 % de los segmentos de borde que conforman la muestra total. Además, presenta 4 variedades de acuerdo con el tipo de paredes y labios.

Olla 4a (figura 37- página 100)

Olla sin cuello, con borde engrosado interno-externo, paredes convergentes convexas, labio plano y diámetro de la boca de la vasija de 11 cm. Esta variedad está representada por 1 solo ejemplar, lo cual representa el 0.38 % de los segmentos de borde que componen la muestra total.

Olla 4b (figura 38- página 100)

Olla sin cuello, con borde engrosado interno-externo, paredes convergentes convexas, labio en forma de media ojiva interna y con diámetro promedio de la boca de la vasija de 13 cm. Esta variedad está representada por 2 unidades, lo cual equivale al 0.75 % de los segmentos de borde que componen la muestra total.

Olla 4c (figura 39- página 101)

Olla sin cuello, con borde engrosado interno-externo, paredes convergentes convexas, labio en forma de media ojiva externa y con diámetro promedio de la boca de la vasija de 16 cm. Esta variedad está representada por 2 unidades, lo cual equivale al 0.75 % de los segmentos de borde que componen la muestra total.

Olla 4d (figura 40- página 101)

Olla sin cuello, con borde engrosado interno-externo, paredes verticales convexas, labio ojival y con diámetro de la boca de la vasija de 21 cm. Esta variedad está representada por 1 unidad, lo cual equivale al 0.38 % de los segmentos de borde que conforman la muestra total.

Olla 5 (1 borde, figura 41- página 101)

Olla sin cuello con borde adelgazado, paredes convergente convexas, labio redondeado y con diámetro de la boca de la vasija de 18 cm. Está representado por 1 solo ejemplar, lo cual equivale al 0.38 % de la muestra total.

Olla 6 (1 borde, figura 42- página 101)

Olla sin cuello con borde doblado externo, paredes convergente convexas, labio en forma de media ojiva interna y con diámetro de la boca de la vasija de 11 cm. Está representado por 1 solo ejemplar, lo cual equivale al 0.38 % de los segmentos de borde que conforman la muestra total.

Olla 7 (17 bordes incluyendo variantes, figura 43- página 101)

Olla con cuello largo, cuyas paredes son de forma vertical recta, de borde continuo, con labio redondeado y con diámetro de la boca de la vasija entre 9 y 22 cm. Este tipo está compuesto por 15 unidades, lo cual representa el 5.64 % de los segmentos de borde que conforman la muestra total. Además, presenta 2 variedades de acuerdo con el tipo de borde y labio.

Olla 7a (figura 44- página 101)

Olla con cuello largo, cuyas paredes son de forma vertical recta, de borde continuo, con labio plano y con diámetro de la boca de la vasija de 10 cm. Esta variedad está representada por 1 solo ejemplar, lo cual representa el 0.38 % de los segmentos de borde que conforman la muestra total.

Olla 7b (figura 45- página 102)

Olla con cuello largo, cuyas paredes son de forma vertical recta, de borde adelgazado, labio redondeado y con diámetro de la boca de la vasija de 14 cm. Está representada por 1 solo ejemplar, lo cual equivale al 0.38 % de los segmentos de borde que conforman la muestra total.

Olla 8 (4 bordes incluyendo variantes, figura 46- página 102)

Olla con cuello largo, cuyas paredes tienen forma vertical convexa, de borde continuo, labio redondeado y con diámetro de la boca de la vasija de 10 cm. Este tipo está representado por 1 solo ejemplar, lo cual equivale al 0.38% de los segmentos de borde que conforman la muestra total. Además, presenta 2 variedades de acuerdo con el tipo de labio.

Olla 8a (figura 47- página 102)

Olla con cuello largo, cuyas paredes tienen forma vertical convexa, de borde doblado externo, labio redondeado y diámetro de la boca de la vasija entre 12 y 15 cm. Esta variedad está representada por 2 unidades, lo cual equivale al 0.75 % de los segmentos de borde que componen la muestra total.

Olla 8b (figura 48- página 102)

Olla con cuello largo, cuyas paredes tienen forma vertical convexa, de borde doblado externo, labio en forma de media ojiva externa y diámetro de la boca de la vasija de 20 cm. Esta variedad está representada por 1 solo ejemplar, lo cual equivale al 0.38 % de los segmentos de borde que componen la muestra total.

Olla 9 (4 bordes incluyendo variantes, figura 49- página 102)

Olla con cuello largo, de paredes vertical cóncavas, borde continuo, labio redondeado y con diámetro promedio de la boca de la vasija de 16 cm. Este tipo está representado por 3 unidades, lo cual equivale al 1.13 % de los segmentos de borde que conforman la muestra total. Presenta 1 variedad de acuerdo con el tipo de labio.

Olla 9a (figura 50 -página 102)

Olla con cuello largo, de paredes vertical cóncavas, borde continuo, labio plano y con diámetro de la boca de la vasija de 15 cm. Esta variedad está representada por 1 solo ejemplar, lo cual equivale al 0.38 % de los segmentos de borde que conforman la muestra total.

Olla 10 (72 bordes incluyendo variantes, figura 51- página 103)

Olla con cuello largo, de paredes divergente rectas, borde continuo, labio redondeado y diámetro de la boca de la vasija entre 12 a 24 cm. Está representada por 17 unidades, lo cual equivale al 6.39 % de los segmentos de borde que componen la muestra total. Presenta 15 variedades de acuerdo con el tipo de borde y labio.

Olla 10a (figura 52- página 103)

Olla con cuello largo, de paredes divergente rectas, borde continuo, labio plano y diámetro de la boca de la vasija entre 15 a 27 cm. Está representada por 11 unidades, lo cual equivale al 4.14 % de los segmentos de borde que componen la muestra total.

Olla 10b (figura 53- página 103)

Olla con cuello largo, de paredes divergente rectas, borde continuo, labio ojival y diámetro promedio de la boca de la vasija de 20 cm. Está representada por 2 unidades, lo cual equivale al 0.75 % de los segmentos de borde que componen la muestra total.

Olla 10c (figura 54- página 103)

Olla con cuello largo, de paredes divergente rectas, borde continuo, labio en forma de media ojiva interna y diámetro promedio de la boca de la vasija de 16 cm. Está representada por 8 unidades, lo cual equivale al 3.01 % de los segmentos de borde que componen la muestra total.

Olla 10d (figura 55- página 103)

Olla con cuello largo, de paredes divergente rectas, borde continuo, labio en forma de media ojiva externa y diámetro de la boca de la vasija entre 25 y 30 cm. Está representada por 3 unidades, lo cual equivale al 1.13 % de los segmentos de borde que componen la muestra total.

Olla 10e (figura 56- página 103)

Olla con cuello largo, de paredes divergente rectas, borde adelgazado, labio en forma de media ojiva interna y diámetro de la boca de la vasija de 19 cm. Está representada por 1 ejemplar, lo cual equivale al 0.38 % de los segmentos de borde que componen la muestra total.

Olla 10f (figura 57- página 104)

Olla con cuello largo, de paredes divergente rectas, borde engrosado interno, labio en forma de media ojiva externa y diámetro de la boca de la vasija de 14 cm. Está representada por 1 ejemplar, lo cual equivale al 0.38 % de los segmentos de borde que componen la muestra total.

Olla 10g (figura 58- página 104)

Olla con cuello largo, de paredes divergente rectas, borde engrosado externo, labio en forma de media ojiva interna y diámetro de la boca de la vasija entre 15 y 18 cm. Está representada por 3 unidades, lo cual equivale al 1.13 % de los segmentos de borde que componen la muestra total.

Olla 10h (figura 59- página 104)

Olla con cuello largo, de paredes divergente rectas, borde engrosado interno-externo, labio redondeado y diámetro de la boca de la vasija de 15 cm. Está representada por 1 solo ejemplar, lo cual equivale al 0.38% de los segmentos de borde que componen la muestra total.

Olla 10i (figura 60- página 104)

Olla con cuello largo, de paredes divergente rectas, borde engrosado interno-externo, labio en forma de media ojiva interna y diámetro de la boca de la vasija de 17 cm. Está representada por 1 solo ejemplar, lo cual equivale al 0.38 % de los segmentos de borde que componen la muestra total.

Olla 10j (figura 61- página 104)

Olla con cuello largo, de paredes divergente rectas, borde engrosado interno-externo, labio en forma de media ojiva externa y diámetro de la boca de la vasija entre 13 y 16 cm. Está representada por 2 unidades, lo cual equivale al 0.75 % de los segmentos de borde que componen la muestra total.

Olla 10k (figura 62- página 104)

Olla con cuello largo, de paredes divergente rectas, borde engrosado interno-externo, labio plano y diámetro de la boca de la vasija de 15 cm. Está representada por 1 solo ejemplar, lo cual equivale al 0.38 % de los segmentos de borde que componen la muestra total.

Olla 10 l (figura 63- página 105)

Olla con cuello largo, de paredes divergente rectas, borde doblado interno, labio redondeado y diámetro de la boca de la vasija entre 16 y 19 cm. Está representada por 3 unidades, lo cual equivale al 1.13 % de los segmentos de borde que componen la muestra total.

Olla 10m (figura 64- página 105)

Olla con cuello largo, de paredes divergente rectas, borde doblado externo, labio redondeado y diámetro de la boca de la vasija de 18 cm. Está representada por 1 ejemplar, lo cual equivale al 0.38 % de los segmentos de borde que componen la muestra total.

Olla 10n (figura 65 – página 105)

Olla con cuello largo, de paredes divergente rectas, borde doblado externo, labio en forma de media ojiva interna y diámetro de la boca de la vasija de 18 cm. Está representada por 1 ejemplar, lo cual equivale al 0.38 % de los segmentos de borde que componen la muestra total.

Olla 10o (figura 66- página 105)

Olla con cuello corto, de paredes divergente rectas, borde continuo, labio redondeado y diámetro de la boca de la vasija entre 14 y 23 cm. Está representada por 16 unidades, lo cual equivale al 6.02 % de los segmentos de borde que componen la muestra total.

Olla 11 (11 bordes incluyendo variantes, figura 67- página 105)

Olla con cuello largo de paredes divergente convexas, borde continuo, labio redondeado y con diámetro de la boca de la vasija entre 10 y 15 cm. Este tipo está representado por 4 unidades, lo cual equivale al 1.50 % del total de los segmentos de borde que componen la muestra total. Presenta un total de 4 variantes de acuerdo con el tipo de borde y labio.

Olla 11a (figura 68- página 105)

Olla con cuello largo de paredes divergente convexas, borde continuo, labio plano y con diámetro de la boca de la vasija entre 15 y 16 cm. Esta variante está representada por 2 unidades, lo cual equivale al 0.75 % del total de los segmentos de borde que componen la muestra total.

Olla 11b (figura 69- página 106)

Olla con cuello largo de paredes divergente convexas, borde continuo, labio en forma de media ojiva interna y con diámetro de la boca de la vasija entre 15 y 16 cm. Esta variante está representada por 2 unidades, lo cual equivale al 0.75 % del total de los segmentos de borde que componen la muestra total.

Olla 11c (figura 70 – página 106)

Olla con cuello largo de paredes divergente convexas, borde continuo, labio en forma de media ojiva externa y con diámetro promedio de la boca de la vasija 15 cm. Esta variante está representada por 1 ejemplar, lo cual equivale al 0.38 % del total de los segmentos de borde que componen la muestra total.

Olla 11d (figura 71- página 106)

Olla con cuello largo de paredes divergente convexas, borde doblado externo, labio en forma de media ojiva externa y con diámetro promedio de la boca de la vasija de 11 cm. Esta variante está representada por 2 unidades, lo cual equivale al 0.75 % del total de los segmentos de borde que componen la muestra total.

Olla 12 (4 bordes incluyendo variantes, figura 72- página 106)

Olla con cuello largo de paredes divergente cóncavas, borde continuo, labio en forma de media ojiva interna y con diámetro de la boca de la vasija de 15 cm. Este tipo está representado solo por 1 ejemplar, lo cual equivale al 0.38 % de los segmentos de borde que componen la muestra total. Presenta un total de 3 variedades de acuerdo con el tipo de borde y labio.

Olla 12a (figura 73- página 106)

Olla con cuello largo de paredes divergente cóncavas, borde engrosado interno, labio redondeado y con diámetro de la boca de la vasija de 14 cm. Esta variante está representada solo por 1 ejemplar, lo cual equivale al 0.38 % de los segmentos de borde que componen la muestra total.

Olla 12b (figura 74- página 106)

Olla con cuello largo de paredes divergente cóncavas, borde engrosado externo, labio redondeado y con diámetro de la boca de la vasija de 16 cm. Esta variante está representada solo por 1 ejemplar, lo cual equivale al 0.38 % de los segmentos de borde que componen la muestra total.

Olla 12c (figura 75- página 106)

Olla con cuello corto de paredes divergente cóncavas, borde continuo, labio redondeado y con diámetro de la boca de la vasija de 16 cm. Esta variante está representada por 1 solo ejemplar, lo cual equivale al 0.38% de los segmentos de borde que componen la muestra total.

Olla 13 (3 bordes incluyendo variantes, figura 76- página 107)

Olla con cuello largo de paredes convergentes cóncavas, de borde doblado externo, labio en forma de media ojiva interna y con diámetro de la boca de la vasija de 14 cm. Este tipo está representado por 1 solo ejemplar, lo cual equivale al 0.38 % de los segmentos de borde que conforman la muestra total. Además, este tipo presenta un total de 2 variantes de acuerdo con el tipo de borde.

Olla 13a (figura 77- página 107)

Olla con cuello corto de paredes convergentes cóncavas, borde engrosado interno, labio redondeado y con diámetro de la boca de la vasija de 10 cm. Esta variedad está representada por 1 ejemplar, lo cual equivale al 0.38 % de los segmentos de borde que componen la muestra total.

Olla 13b (figura 78- página 107)

Olla con cuello corto de paredes convergentes cóncavas, borde engrosado externo, labio en forma de media ojiva interna y con diámetro de la boca de la vasija de 13 cm. Esta variedad está representada por 1 ejemplar, lo cual equivale al 0.38 % de los segmentos de borde que componen la muestra total.

Tinajas

Las tinajas son vasijas cerradas de grandes dimensiones caracterizadas por poseer un diámetro de la boca de la vasija entre 20 a 30 cm y un espesor de las paredes de la vasija entre 1 a 2 cm. Su función principal es almacenar líquidos y sólidos en gran proporción. Esta categoría formal está representada por un total de 20 unidades, equivalente al 7.52% de los segmentos de borde que componen la muestra total. La categoría formal tinajas se subdivide en 4 tipos de acuerdo con la presencia y ausencia de cuello y los tipos de paredes del cuello de las vasijas.

Tinaja 1 (2 bordes incluyendo variantes, figura 79- página 108)

Tinaja de cuello alto, paredes vertical rectas, borde engrosado interno, labio redondeado y con diámetro de la boca de la vasija de 28 cm. Está representado por 1 solo ejemplar, lo cual equivale al 0.38 % de los segmentos de borde que componen la muestra total. Presenta 1 variante de acuerdo con el tipo de borde.

Tinaja 1a (figura 80 – página 108)

Tinaja de cuello alto, paredes vertical rectas, borde engrosado interno- externo, labio plano y con diámetro de la boca de la vasija de 25 cm. Está representado por 1 solo ejemplar, lo cual equivale al 0.38 % de los segmentos de borde que componen la muestra total.

Tinaja 2 (10 bordes incluyendo variantes, figura 81- página 108)

Tinaja de cuello alto, paredes divergente rectas, borde continuo, labio redondeado y diámetro de la boca de la vasija entre 20 y 22 cm. Este tipo está representado por 4 unidades, lo cual equivale al 1.50 % de los segmentos de borde que componen la muestra total. Además, presenta 3 variantes de acuerdo con el tipo de borde y labio.

Tinaja 2a (figura 82- página 108)

Tinaja de cuello alto, paredes divergente rectas, borde continuo, labio en forma de media ojiva interna y diámetro de la boca de la vasija 25 cm. Esta variante está representada por 1 ejemplar, lo cual equivale al 0.38 % de los segmentos de borde que componen la muestra total.

Tinaja 2b (figura 83- página 108)

Tinaja de cuello alto, paredes divergente rectas, borde engrosado externo, labio plano y diámetro de la boca de la vasija de 27 cm. Esta variante está representada por 1 solo ejemplar, lo cual equivale al 0.38 % de los segmentos de borde que componen la muestra total.

Tinaja 2c (figura 84- página 108)

Tinaja de cuello alto, paredes divergente rectas, borde engrosado interno- externo, labio en forma de media ojiva interna y diámetro promedio de la boca de la vasija de 23 cm. Esta variante está representada por 4 unidades, lo cual equivale al 1.50% de los segmentos de borde que componen la muestra total.

Tinaja 3 (2 bordes incluyendo variantes, figura 85- página 109)

Tinaja de cuello alto, paredes convergente rectas, borde continuo, labio redondeado y con diámetro de la boca de la vasija de 30 cm. Este tipo está representado solo por 1 ejemplar, lo cual corresponde al 0.38 % de los segmentos de borde que componen la muestra total.

Tinaja 3a (figura 86- página 109)

Tinaja de cuello alto, paredes convergente rectas, borde engrosado externo, labio en forma de media ojiva externa y con diámetro de la boca de la vasija de 22 cm. Esta variante está representada solo por 1 ejemplar, lo cual corresponde al 0.38 % de los segmentos de borde que componen la muestra total.

Tinaja 4 (6 bordes incluyendo variantes, figura 87- página 109)

Tinaja sin cuello, con paredes convergente convexas, borde continuo, labio redondeado y con diámetro de la boca de la vasija entre 20 y 23 cm. Este tipo está representado por 2 unidades, equivalente al 0.75 % de los segmentos de borde que componen la muestra total. Presenta 4 variantes de acuerdo con el tipo de borde y labio.

Tinaja 4a (figura 88- página 109)

Tinaja sin cuello, con paredes convergente convexas, borde continuo, labio en forma de media ojiva externa y con diámetro de la boca de la vasija de 27 cm. Esta variante está representada por 1 solo ejemplar, equivale al 0.38 % de los segmentos de borde que componen la muestra total.

Tinaja 4b (figura 89- página 110)

Tinaja sin cuello, con paredes convergente convexas, borde engrosado interno, labio redondeado y con diámetro de la boca de la vasija de 21 cm. Esta variante está representada por 1 solo ejemplar, lo cual equivale al 0.38 % de los segmentos de borde que componen la muestra total.

Tinaja 4c (figura 90- página 110)

Tinaja sin cuello, con paredes convergente convexas, borde engrosado interno- externo, labio redondeado y con diámetro de la boca de la vasija de 21 cm. Esta variante está representada por 1 solo ejemplar, lo cual equivale al 0.38 % de los segmentos de borde que componen la muestra total.

Tinaja 4d (figura 91- página 110)

Tinaja sin cuello, con paredes convergente convexas, borde engrosado interno- externo, labio en forma de media ojiva externa y con diámetro de la boca de la vasija de 23 cm. Esta variante está representada por 1 solo ejemplar, lo cual equivale al 0.38 % de los segmentos de borde que componen la muestra total.

Vasijas abiertas

Las vasijas abiertas son aquellas cuyo diámetro de la boca de la vasija es igual o mayor al diámetro del cuerpo de la vasija. Este tipo de vasijas se encuentra representado por 41 segmentos de borde, lo cual equivale al 15.41% del repertorio formal de vasijas del sector II de Tambo Inga. Las categorías formales correspondientes a este tipo de vasija son cuencos y platos.

Cuencos

Los cuencos son vasijas abiertas caracterizadas por poseer paredes con ángulo de inclinación mayor a los 50 grados sexagesimales. Su función principal es servir alimentos (líquidos y sólidos). Esta categoría formal está estadísticamente representada por 25 unidades, lo cual equivale al 9.40 % de los segmentos de borde que conforman la muestra total. Es la tercera categoría formal con mayor abundancia. La categoría formal cuencos se subdivide en 4 tipos de acuerdo con el tipo de paredes que presentan los cuencos.

Cuenco 1 (4 bordes incluyendo variantes, figura 92- página 111)

Cuenco de paredes vertical convexas, borde engrosado interno, labio redondeado y con diámetro de la boca de la vasija de 19 cm. Este tipo está representado por 1 ejemplar, lo cual equivale al 0.38 % de los segmentos de borde que conforman la muestra total. Además, presenta 2 variedades de acuerdo con el tipo de borde y labio.

Cuenco 1a (figura 93- página 111)

Cuenco de paredes vertical convexas, borde doblado externo, labio redondeado y con diámetro de la boca de la vasija entre 13 y 20 cm. Esta variedad está representada por 2 unidades, lo cual equivale al 0.75 % de los segmentos de borde que componen la muestra total.

Cuenco 1b (figura 94, página 111)

Cuenco de paredes vertical convexas, borde doblado externo, en forma de media ojiva externa y con diámetro de la boca de la vasija de 14 cm. Esta variedad está representada por 1 solo ejemplar, lo cual equivale al 0.38 % de los segmentos de borde que componen la muestra total.

Cuenco 2 (5 bordes incluyendo variantes, figura 95- página 111)

Cuenco de paredes divergente rectas, de borde continuo, de labio redondeado y de diámetro de la boca de la vasija de 25 cm. Este tipo está representado por 1 ejemplar, equivalente al 0.38 % de los segmentos de borde que componen la muestra total. Además, presenta 4 variantes de acuerdo con el tipo de borde y labio.

Cuenco 2a (figura 96- página 111)

Cuenco de paredes divergente rectas, de borde continuo, de labio en forma de media ojiva externa y con diámetro de la boca de la vasija de 25 cm. Esta variedad está representada por 1 ejemplar, equivalente al 0.38 % de los segmentos de borde que conforman la muestra total.

Cuenco 2b (figura 97- página 111)

Cuenco de paredes divergente rectas, borde adelgazado, labio en forma de media ojiva interna y con diámetro de la boca de la vasija de 19 cm. Esta variedad está representada solo por 1 solo ejemplar, equivalente al 0.38 % de la muestra total.

Cuenco 2c (figura 98- página 112)

Cuenco de paredes divergente rectas, borde engrosado-adelgazado, labio redondeado y con diámetro de la boca de la vasija de 12 cm. Esta variedad está representada por 1 solo ejemplar, equivalente al 0.38 % de los segmentos de borde que conforman la muestra total.

Cuenco 2d (figura 99- página 112)

Cuenco de paredes divergente rectas, borde engrosado interno-externo, labio redondeado y con diámetro de la boca de la vasija de 17 cm. Esta variedad está representada por 1 solo ejemplar, lo cual equivale al 0.38 % de los segmentos de borde que componen la muestra total.

Cuenco 3 (15 bordes incluyendo variantes, figura 100- página 112)

Cuenco de paredes divergente convexas, borde continuo, labio redondeado y con diámetro de la boca de la vasija entre 18 y 23 cm. Este tipo está representado por 7 unidades, equivalentes al 2.63 % de los segmentos de borde que componen la muestra total. Presenta un total de 6 variantes de acuerdo con el tipo de borde y labio.

Cuenco 3a (figura 101- página 112)

Cuenco de paredes divergente convexas, borde continuo, labio plano y con diámetro de la boca de la vasija de 13 cm. Esta variedad está representada por 1 solo ejemplar, lo cual representa el 0.38 % de los segmentos de borde de la muestra total.

Cuenco 3b (figura 102- página 112)

Cuenco de paredes divergente convexas, de borde continuo, labio ojival y con diámetro de la boca de la vasija de 13 cm. Esta variedad está representada por 1 solo ejemplar,

Informe Final del Proyecto de Investigación de Colecciones y Fondos Museográficos “Tambo Inga 2019” equivalente al 0.38 % de los segmentos de borde de la muestra total.

Cuenco 3c (figura 103- página 112)

Cuenco de paredes divergente convexas, de borde continuo, labio en forma de media ojiva interna y con diámetro de la boca de la vasija entre 16 a 20 cm. Esta variedad está representada por 3 unidades, equivalente al 1.13 % de los segmentos de borde de la muestra total.

Cuenco 3d (figura 104- página 113)

Cuenco de paredes divergente convexas, borde adelgazado, labio redondeado y con diámetro de la boca de la vasija de 13 cm. Esta variedad está representada por 1 unidad, equivalente al 0.38 % de los segmentos de borde que conforma la muestra total.

Cuenco 3e (figura 105- página 113)

Cuenco de paredes divergente convexas, de borde doblado externo, labio redondeado y diámetro de la boca de la vasija de 12 cm. Esta variedad está representada por 1 solo ejemplar y es equivalente al 0.38 % de los segmentos de borde que componen la muestra total.

Cuenco 3f (figura 106- página 113)

Cuenco de paredes divergente convexas, de borde doblado externo, labio plano y con diámetro de la boca de la vasija de 17 cm. Esta variedad está representada por 1 solo ejemplar, equivalente al 0.38 % de los segmentos de borde que conforman la muestra total.

Cuenco 4 (1 borde, figura 107- página 113)

Cuenco de paredes convergente convexas, borde engrosado interno, labio redondeado y con diámetro de la boca de la vasija de 15 cm. Este tipo está representado por 1 solo ejemplar, lo cual representa el 0.38 % de los segmentos de borde que conforman el total de la muestra total

Platos

Son vasijas abiertas cuyas paredes poseen ángulos de inclinación menor a los 50 grados sexagesimales. Su función principal es servir alimentos. La categoría formal platos se encuentra representada mediante 10 segmentos de borde, lo cual representa el 3.76% del total de segmentos de borde que conforman la muestra total. Esta categoría formal se divide en 2 tipos de acuerdo con el tipo de paredes.

Plato 1 (7 bordes incluyendo variantes, figura 108- página 114)

Plato de paredes rectas, borde continuo, labio redondeado y con diámetro promedio de la boca de la vasija de 15 cm. Está representado por 3 unidades, equivalente al 1.13 % de los segmentos de borde que componen la muestra total. Presenta 3 variantes de acuerdo con el tipo de borde y labio.

Plato 1a (figura 109- página 114)

Plato de paredes rectas, borde continuo, labio en forma de media ojiva interna y diámetro de la boca de la vasija de 13 cm. Está representado por 1 solo ejemplar, equivalente al 0.38 % de los fragmentos de borde que componen la muestra total.

Plato 1b (figura 110- página 114)

Plato de paredes rectas, de borde adelgazado, labio redondeado y con diámetro de la boca de la vasija de 23 cm. Está representado por 1 ejemplar, equivalente al 0.38 % de los fragmentos de borde de la muestra total.

Plato 1c (figura 111- página 114)

Plato de paredes rectas, de borde doblado interno, labio redondeado y con diámetro de la boca de la vasija de 13 y 20 cm. Está representado por 2 unidades, equivalentes al 0.75% de los segmentos de borde que componen la muestra total.

Plato 2 (3 bordes incluyendo variantes, figura 112- página 114)

Plato de paredes convexas, de borde continuo y labio redondeado. Está representado por 1 solo ejemplar, lo cual representa el 0.38 % de los segmentos de borde de la muestra total. Además, presenta 2 variantes de acuerdo con el tipo de borde.

Plato 2a (figura 113- página 114)

Plato de paredes convexas, de borde adelgazado, labio redondeado y con diámetro de la boca de la vasija de 16 cm. Está representado por 1 unidad, equivalente el 0.38 % de los fragmentos de borde que conforman la muestra total.

Plato 2b (figura 114- página 114)

Plato de paredes convexas, de borde engrosado interno, labio redondeado y con diámetro de la boca de la vasija de 27 cm. Está representado por 1 solo ejemplar, equivalente al 0.38% de los segmentos de borde que componen la muestra total.

Vasijas miniatura

Las vasijas miniatura son recipientes que tienen 10 cm como máximo de altura. Su función principal está relacionada con brindar ofrendas. Esta clase está compuesta por un total de 8 unidades, lo cual representa el 3.01% de los segmentos de borde que componen la muestra total. Las categorías formales que conforman esta clase son cántaros miniatura, ollas miniatura y cuencos miniatura.

Cántaros miniatura

Vasija cerrada en miniatura con razón entre la longitud del cuello y el diámetro de la boca de la vasija de 0.33 a 0.5. Está representado por 1 solo ejemplar, lo cual equivale al 0.38% de los segmentos de borde que componen la muestra total.

Cántaro miniatura 1(1 borde, figura 115- página 115)

Cántaro miniatura, de paredes divergente rectas, borde doblado externo, labio en forma de media ojiva interna y con diámetro de la boca de la vasija de 5 cm. Este tipo está representado por 1 solo ejemplar, lo cual equivale al 0.38 % de los segmentos de borde que componen la muestra total.

Ollas miniatura

Son vasijas cerradas en miniatura, cuya razón entre la longitud del cuello y el diámetro de la boca de la vasija es de 0 a 0.25. Está representado por 3 unidades, lo cual equivale al 1.13 % del total de la muestra. Se subdivide en 3 tipos de acuerdo con la presencia o ausencia de cuello.

Olla miniatura 1 (1 borde, figura 116- página 115)

Olla miniatura sin cuello, de paredes convergente convexas, borde continuo, labio redondeado y diámetro de la boca de la vasija de 6 cm. Este tipo está representado por 1 solo ejemplar, lo cual equivale al 0.38 % de los segmentos de borde que componen la muestra total.

Olla miniatura 2 (1 borde, figura 117- página 115)

Olla miniatura de cuello corto, paredes vertical rectas, borde continuo, labio redondeado y con diámetro de la boca de la vasija de 5 cm. Este tipo está representado por 1 solo ejemplar, lo cual equivale al 0.38 % de los segmentos de borde que componen la muestra total.

Olla miniatura 3 (1 borde, figura 118- página 115)

Olla miniatura de cuello corto, paredes divergente rectas, borde continuo, labio redondeado y con diámetro de la boca de la vasija de 7 cm. Este tipo está representado por 1 solo ejemplar, lo cual equivale al 0.38 % de los segmentos de borde que conforman la muestra total.

Cuencos miniatura

Vasijas abiertas en miniatura con ángulo de las paredes mayor a los 50° grados sexagesimales. Está representado por 4 unidades, lo cual equivale al 1.50% de los segmentos de borde que componen la muestra total. Solo presenta 1 tipo.

Cuenco miniatura 1 (4 bordes incluyendo variantes, figura 119- página 116)

Cuenco miniatura de paredes divergente convexas, borde continuo, labio redondeado y diámetro de la boca de la vasija entre 5 y 7 cm. Este tipo está representado por 2 unidades, lo cual equivale al 0.75% de los segmentos de borde que componen la muestra total. Presenta 2 variantes de acuerdo con el tipo de labio.

Cuenco miniatura 1a (figura 120- página 116)

Cuenco miniatura de paredes divergente convexas, borde continuo, labio plano y diámetro de la boca de la vasija de 9 cm. Esta variante está representada por 1 solo ejemplar, lo cual equivale al 0.38 % de los segmentos de borde que componen la muestra total.

Cuenco miniatura 1b (figura 121- página 116)

Cuenco miniatura de paredes divergente convexas, borde continuo, labio en forma de media ojiva externa y con diámetro de la boca de la vasija de 10 cm. Esta variante está representada por 1 solo ejemplar, lo cual equivale al 0.38 % de los segmentos de borde que componen la muestra total.

7.1.2 Resultados del análisis de pastas

La muestra seleccionada para los análisis de pasta está conformada por 266 segmentos de borde que constituyen el 51.45 % de la muestra total. Lo cual permitió la identificación de 9 grupos de pasta denominados con letras mayúsculas desde la A hasta la I.

Pasta A (figura 1 – página 117)

La pasta A se caracteriza por presentar inclusiones en un porcentaje mayor al 30%, de tamaño mayor a 1mm y de angularidad subredondo-subangular. Las principales inclusiones presentes en esta pasta son 55% de cristales máficos (piroxenos, biotita y anfíboles), 41% de cristales félsicos (cuarzo y feldespatos) y 4% de óxidos. Además, presenta una porosidad al 15% (compactación media) con poros de forma alargada. Esta pasta presenta colores Reddish yellow (5 YR 7/8), Light red (2.5 YR 7/8) y Reddish yellow (7.5 YR 7/8). Está compuesta por 15 fragmentos, lo cual representa el 5.64 % de los segmentos de borde que conforman la muestra total. Es la quinta pasta en preferencia para la elaboración de vasijas en el sector II de Tambo Inga.

Pasta B (figura 2- página 117)

La pasta B se caracteriza por presentar entre sus inclusiones principales 85% de cristales máficos (anfíboles y piroxenos) y 15% de cristales félsicos (cuarzo y feldespatos). Está conformada por 118 fragmentos, lo cual representa el 44.36 % de los segmentos de borde que componen la muestra total. Lo cual la convierte en el grupo de pasta más utilizado en la elaboración del repertorio cerámico del sector II de Tambo Inga. Se subdivide en 3 grupos de pastas considerando como criterios de diferenciación entre estos a la frecuencia, tamaño y angularidad de las inclusiones, la frecuencia y forma de los poros y el color de la pasta.

Pasta B-1 (figura 3 – página 117)

El subgrupo de pasta B-1 se caracteriza por presentar las inclusiones líneas arriba mencionadas, en una frecuencia mayor al 30% de la matriz, con tamaño de 0.25 a 0.5 mm y subangulares-subredondeadas. Presenta porosidad al 20% (compactación media) con poros alargados. Presenta colores Reddish yellow (7.5 YR 8/6), Reddish yellow (5 YR 7/8) y Reddish yellow (7.5 YR 7/8). Este subgrupo de pasta está representado por 51 segmentos de borde, lo cual equivale al 19.17 % de la muestra total.

Pasta B-2 (figura 4- página 117)

El subgrupo de pasta B-2 se caracteriza por presentar mismas inclusiones que el subgrupo de pasta anterior, en una frecuencia mayor al 30% de la matriz, con tamaño de 0.5 a 1mm y subangulares-subredondeadas. Presenta porosidad al 15% (compactación media) con poros alargados y redondeados. Presenta colores Reddish yellow (7.5 YR 7/8), Light red (2.5 YR 7/8) y Reddish yellow (7.5 YR 7/8). Este subgrupo de pasta está representado por 61 segmentos de borde, lo cual equivale al 22.93 % de la muestra total.

Pasta B-3 (figura 5- página 117)

El subgrupo de pasta B-3 se caracteriza por presentar mismas inclusiones que el subgrupo de pasta anterior, en una frecuencia mayor al 30% de la matriz, con tamaño mayor a 1mm y subredondas-subangulares. Presenta porosidad al 10% (compactación media) con poros alargados. Presenta colores Reddish yellow (5 YR 7/8) y Reddish yellow (7.5 YR 7/8). Este subgrupo de pasta está representado por 6 segmentos de borde, lo cual equivale al 2.26% de la muestra total.

Pasta C (figura 6- página 117)

La pasta C posee entre sus inclusiones principales 80% de cristales félsicos (cuarzo y feldespatos) y 20% de cristales máficos (piroxenos). Está compuesta por 47 fragmentos, lo cual representa el 17.67 % de los segmentos de borde que componen la muestra total. Esto la convierte en la segunda pasta más utilizada para la elaboración de vasijas del sector II de Tambo Inga. Se subdivide en 2 subgrupos tomando como indicadores de diferenciación la frecuencia, tamaño y angularidad de las inclusiones, la frecuencia y forma de los poros y el color de la pasta.

Pasta C-1 (figura 7- página 117)

El subgrupo de pasta C-1 se caracteriza por presentar las inclusiones líneas arriba mencionadas al 30 % con respecto a la matriz, de tamaño de 0.25 a 0.5 mm y subredondos-subangulares. Además, su porosidad es del 5% (ligeramente porosa), contando con poros alargados. Este subgrupo de pasta se presenta en color Reddish yellow (5 YR 7/8), Reddish yellow (7.5 YR 7/6) y Reddish Yellow (7.5 YR 7/8). La pasta C-1 se encuentra representada por 45 fragmentos de borde, lo cual equivale al 16.92 % de la muestra total.

Pasta C-2 (figura 8- página 117)

El subgrupo de pasta C-2 se caracteriza por presentar inclusiones al 20%, de tamaño mayor a 1mm y subangulares. Así mismo, presenta porosidad al 2% (compacta), con poros subangulares. Este subgrupo de pasta se presenta en color Reddish yellow (5 YR 7/8). La pasta C-2 se encuentra representada por 2 fragmentos de borde, lo cual equivale al 0.75 % de la muestra total.

Pasta D (figura 9- página 117)

La pasta D se caracteriza por presentar entre sus inclusiones principales 80% de cristales máficos (piroxeno) y 20% de cristales félsicos (cuarzo). Además, presenta color Light gray (10 YR 7/2). Está conformada por 21 fragmentos, lo cual representa el 7.89 % de los segmentos de borde que componen la muestra total. Es la cuarta pasta en preferencia para la elaboración de vasijas en el sector II de Tambo Inga. Se subdivide en 2 subgrupos de pasta, los cuales han sido establecidos considerando como indicadores de diferenciación la frecuencia, tamaño y angularidad de las inclusiones, así como también la frecuencia y forma de los poros.

Pasta D-1 (figura 10 – página 117)

El subgrupo de pasta D-1 cuenta con las inclusiones antes mencionadas, en una frecuencia de 20% con respecto a la matriz, con tamaño de 0.5 a 1mm y subredondas. Presenta porosidad al 5% (ligeramente porosa), con poros redondeados. Este subgrupo de pasta se presenta en color Light gray (10 YR 7/2). El subgrupo de pasta D-1 está representado por 10 segmentos de borde, lo cual representa el 3.76 % de la muestra total.

Pasta D-2 (figura 11- página 117)

El subgrupo de pasta D-2 se caracteriza por presentar inclusiones en una frecuencia mayor al 30% de la matriz, con inclusiones de 0.25 a 0.5 mm y subangulares. Presenta porosidad al 10% (ligeramente porosa), con poros alargados. Presenta color Light gray (10 YR 7/2). El subgrupo de pasta D-2 está representado por 11 segmentos de borde, lo cual representa el 4.14 % de la muestra total.

Pasta E (figura 12- página 117)

La pasta E se caracteriza por presentar inclusiones al 30%, de tamaño de 0.5 a 1 mm y de angularidad subredondo. Las inclusiones que conforman esta pasta son 40% de cristales máficos (anfíboles), 50 % de cristales félsicos (cuarzo y feldespatos) y 10% de óxidos. Presenta porosidad al 5 % (ligeramente porosa) y con poros de forma alargada. Esta pasta presenta colores Reddish yellow (5 YR 7/8), Reddish yellow (7.5 YR 7/8) y Reddish yellow (5 YR 7/6). Está compuesta por 24 fragmentos, lo cual representa el 9.02 % de los segmentos de borde que componen la muestra total. Es considerada la tercera pasta más utilizada en el repertorio cerámico del sector II de Tambo Inga.

Pasta F (figura 13- página 118)

La pasta F se caracteriza por presentar entre sus principales inclusiones 45% de cristales máficos (anfíboles), 40% de cristales félsicos (cuarzo y feldespatos) y 15% de óxidos. Está conformada por 8 fragmentos, lo cual representa el 3.01 % de los segmentos de borde que componen la muestra total. Es la sexta pasta en preferencia para la elaboración de vasijas del sector II de Tambo Inga. Se subdivide en 2 subgrupos de pasta considerando como indicadores de diferenciación la frecuencia, tamaño y angularidad de las inclusiones, la frecuencia y forma de los poros y el color de la pasta.

Pasta F-1 (figura 14- página 118)

El subgrupo de pasta F-1 presenta las inclusiones líneas arriba mencionadas, al 20% con respecto a la matriz, con un tamaño mayor a 1mm y subangulares. Presenta porosidad al 5% (compacta), con poros alargados y redondeados. Este subgrupo de pasta se presenta en color Reddish yellow (7.5 YR 7/6) y Reddish yellow (5YR 7/8). Se encuentra representado por 4 fragmentos de borde, lo cual equivale al 1.50 % de la muestra total.

Pasta F-2 (figura 15- página 118)

El subgrupo de pasta F-2 posee las mismas inclusiones que el subgrupo anterior, con una frecuencia mayor al 30% de la matriz, de tamaño de 0.5 a 1mm y subredondas-redondas. Presenta porosidad al 20% (compactación media) con poros alargados. Este subgrupo de pasta se presenta en colores Very pale brown (10 YR 7/3), Reddish yellow (7.5 YR 7/8) y Very pale brown (10 YR 7/4). Se encuentra representado por 4 fragmentos de borde, lo cual equivale al 1.50 % de la muestra total.

Pasta G (figura 16- página 118)

La pasta G se caracteriza por presentar inclusiones a un porcentaje mayor al 30% de la matriz, de tamaño 0.5 a 1 mm y de angularidad subredondo-angular. Las principales inclusiones de esta pasta son 40% de cristales máficos (anfíboles), 25% de cristales félsicos (cuarzo y feldespatos) y 15% de óxidos. Además, presenta porosidad al 5% (ligeramente porosa) con poros alargados. Presenta colores Light red (2.5 YR 7/8) y Reddish yellow (7.5 YR 8/6). Está compuesta por 7 fragmentos, lo cual representa el 2.63% de los segmentos de borde que componen la muestra total. Es la séptima pasta en preferencia para la elaboración de vasijas del sector II de Tambo Inga.

Pasta H (figura 17 – página 118)

La pasta H se caracteriza por presentar entre sus inclusiones principales 80% cristales máficos (anfíboles), 16% cristales félsicos (cuarzo y feldespatos), 2% de litoclastos y 2% de hidróxido. Está conformada por 21 fragmentos, lo cual representa el 7.89 % de los segmentos de borde que componen la muestra total. Es la cuarta pasta más utilizada para la elaboración de vasijas del sector II de Tambo Inga. Se subdivide en 3 subgrupos tomando en consideración indicadores diferenciadores la frecuencia, tamaño y angularidad de las inclusiones, la frecuencia y forma de los poros y el color de la pasta. Ocupa el cuarto lugar en preferencia para la elaboración de vasijas cerámicas del sector II de Tambo Inga.

Pasta H-1 (figura 18- página 118)

El subgrupo de pasta H-1 se caracteriza por presentar las inclusiones líneas arriba detalladas, con una frecuencia mayor al 30% con respecto a la matriz, con tamaño de 0.5 a 1mm y subredondas-redondas. Presenta porosidad al 20% (compactación media), con poros alargados. Se presenta con colores Pink (7.5 YR 7/3) y Light red (2.5 YR 7/6). Este subgrupo de pasta se encuentra representado por 7 segmentos de borde, lo cual equivale al 2.63% de la muestra total.

Pasta H-2 (figura 19– página 118)

El subgrupo de pasta H-2 se caracteriza por presentar las mismas inclusiones que el subgrupo de pasta anterior, con frecuencia del 20% con respecto a la matriz, con tamaño de 0.5 a 1mm y subredondas. Presenta porosidad al 3% (compacta), con poros redondeados. Se presenta con colores Reddish yellow (7.5 YR 7/6) y Pink (7.5 YR 7/3). Este subgrupo de pasta se encuentra representado por 10 segmentos de borde, lo cual equivale al 3.76 % de la muestra total.

Pasta H-3 (figura 20 – página 118)

El subgrupo de pasta H-3 se caracteriza por presentar las mismas inclusiones que el subgrupo anterior, con una frecuencia mayor al 30% con respecto a la matriz, con tamaño mayor a 1mm y subangulares-subredondas. Presenta porosidad al 2% (compacta), con poros redondeados. Se presenta con colores Pink (5 YR 7/4) y Reddish yellow (7.5 YR 7/8). Este subgrupo de pasta se encuentra representado por 4 segmentos de borde, lo cual equivale al 1.50 % de la muestra total.

Pasta I (figura 21- página 118)

La pasta I se caracteriza por presentar inclusiones al 20%, de tamaño 0.25 a 0.5 mm y de angularidad subredondo. Las inclusiones presentes en esta pasta son 60% de cristales félsicos (cuarzo y feldspatos) y 40% de cristales máficos (biotita). Presenta porosidad al 2% del total de la matriz (compacta) con poros redondeados. Esta pasta se dispone en color Reddish yellow (7.5 YR 6/6). Está compuesta por 3 fragmentos, lo cual representa el 1.13 % de los segmentos de borde que componen la muestra total. Es el grupo de pasta menos representado en el repertorio cerámico del sector II de Tambo Inga.

7.1.3 Resultados del análisis de patrón decorativo

La muestra utilizada para el análisis de patrón decorativo está conformada por 249 fragmentos, lo cual representa el 48.16 % del total de la muestra. Así mismo, esta muestra está conformada por 53 bordes decorados (10.25 %), 185 cuerpos decorados (35.78 %), 5 asas decoradas (0.97 %), 4 bases decoradas (0.77 %) y 2 mangos decorados (0.39 %).

Técnicas decorativas

Se han identificado 16 técnicas decorativas distribuidas en una muestra de 249 fragmentos. Los otros 268 fragmentos diagnósticos restantes no poseen ninguna técnica decorativa.

Alto relieve (figura 1- página 119)

Técnica decorativa plástica que consiste en que el motivo decorativo resultado de la aplicación de esta técnica sobresale del plano base. Esta técnica se presenta en 2 fragmentos (1 segmento de borde y 1 cuerpo decorado), lo cual representa el 0.80% de los fragmentos decorados que conforman la muestra.

Su distribución en el repertorio formal es limitada. Esta técnica decorativa solo se presenta sobre el cuenco miniatura 1 (código 26-113) y sobre 1 posible vasija cerrada de tipo formal específico no determinado (código 45-22).

Aplicado (figura 2- página 119)

Técnica decorativa plástica que consiste en añadir pequeñas o medianas porciones de arcilla sobre la superficie de la cerámica. Esta técnica se presenta en 60 fragmentos (12 bordes y 48 cuerpos decorados), lo cual equivale al 24.10% de los fragmentos decorados que conforman la muestra. Debido a esto es la segunda técnica de decoración más popular en toda la muestra analizada.

La distribución de esta técnica en el repertorio formal es amplia, pues se presenta en 2 cántaros, 10 ollas, 7 posibles cántaros, 6 posibles ollas y en 35 posibles vasijas cerradas de tipo específico no determinado. Dentro de la categoría formal cántaros esta técnica se presenta en el cántaro tipo 1 (código 31-276), cántaro 2 (48-133) y en 7 posibles cántaros. Con respecto a la categoría formal ollas esta técnica se encuentra presente en una olla 1a (código 47-72), dos ollas tipo 3 (códigos 33-499, 49-326), una olla tipo 3a (código 21-4), una olla de tipo 4 (código 50-31), una olla de tipo 4a (código 21-2), una olla tipo 4c (código 45-21), dos ollas de tipo 10 (códigos 50-32 y 98-526) y una olla de tipo 10o (código 50-27).y en 6 posibles ollas.

Informe Final del Proyecto de Investigación de Colecciones y Fondos Museográficos “Tambo Inga 2019”
Botones (figura 3- página 119)

Técnica decorativa plástica que consiste en añadir mediante presión pequeñas porciones de arcilla en forma esférica. Esta técnica se presenta en 2 fragmentos (2 cuerpos), lo cual representa el 0.80 % de los fragmentos decorados totales.

La distribución de esta técnica decorativa en el repertorio formal es limitada debido a la naturaleza de los fragmentos. De acuerdo con esto, la técnica decorativa botones se encuentra presente en 2 posibles vasijas cerradas de tipo específico no determinado (códigos 43-396 y 99-416).

Cortado (figura 4- página 119)

Técnica decorativa plástica que consiste en el recorte de porciones de arcilla en el borde de la vasija con la intención de crear desniveles proporcionales [...] (Manrique, 2001, pág. 93). Esta técnica se presenta en un solo fragmento (cuerpo decorado), lo cual representa el 0.40% del total de los fragmentos decorados. Es considerada una de las técnicas decorativas menos populares correspondientes al sector II de Tambo Inga.

La distribución de esta técnica decorativa en las categorías formales previamente definidas es limitada. Se encuentra presente en una posible vasija cerrada de tipo específico no determinado (código 58-296).

Excisión (figura 5- página 119)

Técnica decorativa plástica que consiste en retirar grandes porciones de arcilla de la superficie dejando así al descubierto un diseño decorativo definido. Esta técnica decorativa se presenta en un solo fragmento (borde), lo cual representa el 0.40% de los fragmentos decorados totales. Es una de las técnicas menos representadas en la muestra total.

La distribución de esta técnica decorativa en las categorías formales establecidas es limitada. Se encuentra presente en una olla de tipo 10o (código 50-29).

Grabado (figura 6- página 119)

Técnica decorativa plástica post cocción que consiste en retirar pequeñas porciones de arcilla de la superficie una vez que la cerámica ya se encuentra seca, generando así un aspecto mate u opaco sobre el área trabajada, con respecto al resto de la cerámica. Esta técnica decorativa se encuentra presente en 2 fragmentos (1 cuerpo decorado y 1 mango), lo cual representa el 0.80 % del total de los fragmentos decorados. Es una de las técnicas decorativas menos representadas en la muestra total.

La distribución de esta técnica decorativa en las categorías formales establecidas es limitada. Se encuentra presente en 1 posible plato (código 1-301) y 1 posible vasija cerrada de tipo específico no determinado (código 7-351).

Impresión con cañas (figura 7- página 119)

Técnica decorativa plástica que consiste en estampar cañas sobre la superficie dejando así orificios circulares. Esta técnica decorativa se presenta en 3 fragmentos (2 bordes y 1 asa), lo cual representa el 1.20 % de los fragmentos decorados.

La distribución de esta técnica decorativa en las categorías formales es limitada. Se encuentra presente en 2 cuencos y 1 posible vasija cerrada de tipo específico no determinado. En el caso de los cuencos esta técnica se presenta en un cuenco tipo 2c (código 110-235), en un cuenco tipo 2d (código 98-518). También se presenta en una posible vasija cerrada (código 109-542).

Impresión con fibras vegetales (figura 8- página 119)

Técnica decorativa plástica que consiste en estampar algún tipo de fibra vegetal sobre la superficie cerámica dejando así sus huellas. Esta técnica decorativa se encuentra presente en un fragmento (base), lo cual representa el 0.40% del total de los fragmentos decorados. Es una de las técnicas decorativas menos representadas en toda la muestra.

La distribución de esta técnica decorativa en el repertorio formal es limitada. Se encuentra presente en un posible cuenco (código 63-360).

Impresión con molde (figura 9- página 120)

Técnica decorativa plástica que consiste en estampar un molde sobre la superficie de la cerámica con el objetivo de dejar impreso un diseño específico. Esta técnica decorativa se encuentra presente en 4 fragmentos (1 borde y 3 cuerpos decorados), lo cual representa el 1.61% del total de los fragmentos decorados.

La distribución de esta técnica decorativa en el repertorio formal es limitada. Esta técnica decorativa se encuentra presente en una olla de tipo 2a (código 43-391) y en 3 posibles vasijas cerradas de tipo específico no determinado (códigos 7-352, 18-89 y 45-23).

Incisión (figura 10- página 120)

Técnica decorativa plástica precocción que consiste en retirar pequeñas porciones de arcilla a través de cortes en la superficie de la cerámica con un instrumento agudo. Esta técnica se presenta en 6 fragmentos (1 borde, 2 cuerpos decorados, 1 base, 1 mango y 1 asa), lo cual representa el 2.41 % de los fragmentos decorados que componen la muestra total.

Esta técnica decorativa se distribuye en el repertorio formal de manera casi limitada. Esta técnica se encuentra presente en un cuenco tipo 3a (código 33-476), un posible plato (código 95-20), una posible olla (código 25-8) y en tres posibles vasijas cerradas de tipo específico no determinado (códigos 71-355, 20-110 y 109-542).

Modelado (figura 11- página 120)

Técnica decorativa plástica que consiste en utilizar las manos para crear algún diseño decorativo en específico. Esta técnica se presenta en 2 fragmentos (1 borde y 1 cuerpo decorado), lo cual representa el 0.80 % de los fragmentos decorados que conforman la muestra total. Es una de las técnicas decorativas menos representadas en toda la muestra.

Esta técnica decorativa se distribuye en el repertorio formal de manera limitada. Se encuentra presente en un plato de tipo 1 (código 45-24) y en un posible cántaro (código 44-19).

Moldeado escultórico (figura 12- página 120)

Técnica decorativa plástica que consiste en dar la forma deseada haciendo uso de un molde sobre la arcilla húmeda. Esta técnica se encuentra presente en 4 fragmentos (1borde, 2 cuerpos decorados y 1 mango), lo cual representa el 1.61 % de los fragmentos decorados que componen la muestra total.

Esta técnica decorativa se distribuye en el repertorio formal de manera limitada. Se presenta en un plato de tipo 1c (código 22-13), en un posible plato (código 1-301), en un posible cántaro (código 30-444) y en una figurina (código 59-17).

Pintura en desorden (figura 13- página 120)

Técnica decorativa no plástica que consiste en pintar sin ningún orden de manera intencional, sin pretender decorar con algún diseño específico. Esta técnica decorativa se encuentra presente en 59 fragmentos (2 bordes, 56 cuerpos decorados y 1 asa), lo cual representa el 23.69 % de los fragmentos decorados que componen la muestra total. Es la tercera técnica decorativa más representada en la muestra total.

La técnica de pintura en desorden está distribuida de forma limitada en las siguientes categorías formales: ollas, posibles ollas, posibles cántaros, posibles vasijas cerradas y posibles vasijas abiertas. Específicamente, la distribución de las distintas combinaciones de colores en las categorías formales previamente identificadas se realiza de la siguiente manera. En el caso de las ollas se presentan en una olla tipo 1a (código 71-356), en un caso de olla tipo 10 (código 71-357) y en posibles ollas (12 casos). Asimismo, esta técnica se presenta en posibles cántaros (5 casos), en posibles vasijas cerradas (39 casos) y en posibles vasijas abiertas (1 caso).

Pintura (figura 14- página 120)

Técnica decorativa no plástica que consiste en el pintado sobre las superficies interna, externas o ambas de la cerámica. Esta técnica se encuentra presente en 118 fragmentos (37 bordes, 76 cuerpos decorados, 2 bases y 3 asas), lo cual representa el 47.39% de los fragmentos decorados que componen la muestra total y la convierte en la técnica decorativa más popular de todo el repertorio cerámico del sector II de Tambo Inga.

Esta técnica decorativa se encuentra distribuida en las siguientes categorías formales: aríbalos, cántaros, ollas, platos, ollas miniatura, posibles aríbalos, posibles cántaros, posibles ollas, posibles platos, posibles vasijas cerradas y posibles vasijas abiertas.

Para el caso de la categoría formal aríbalos esta técnica se presenta específicamente en los tipos aríbalo 1a (códigos 103-7 y 109-537), aríbalo 3 (códigos 23-335, 32-203 y 110-263) y en posibles aríbalos (7 casos). Dentro de la categoría formal cántaros se distribuyen en 1 cántaro 3 (código 48-134) y en posibles cántaros (5 casos). En la categoría ollas se distribuyen en los tipos de olla 1a (códigos 23-425 y 47-72), olla 3 (código 48-54), olla 3a (código 21-4), olla 4 (códigos 33-477, 42-195, 47-64 y 50-31), olla 4b (códigos 46-339 y 50-30), olla 4c (código 45-21), olla 10 (códigos 33-473, 33-495, 103-6, 110-230 y 98-526), ollas 10o (códigos 30-440, 33-472, 33-481, 33-483, 20-44 y 42-194) y en posibles ollas (3 casos). Dentro de la categoría formal platos se distribuye en platos tipo 1 (códigos 16-46, 45-24 y 48-117), plato 1a (código 33-496), plato 1b (código 5-375), plato 1c (códigos 8-173 y 22-13), plato 2 (código 74-183) y posibles platos (5 casos).

Dentro de la categoría formal ollas miniatura esta técnica se presenta en olla miniatura 3 (código 61-248). Esta técnica también se encuentra presente en posibles vasijas cerradas de tipo específico no determinado (60 casos). Finalmente, también se presenta en una posible vasija abierta de tipo específico no determinado.

Chorroado (figura 15- página 120)

Técnica decorativa no plástica que consiste en dejar caer o chorrear gotas de pintura de color beige, marrón y negro generalmente desde el borde hacia la parte inferior de la vasija (Manrique, 2001, pág. 14). Así también, esta técnica suele ser aplicada contorneando los cuellos, las asas y en ocasiones el diámetro mayor de los cuerpos de ollas y tinajas. Esta técnica decorativa se encuentra presente en 3 fragmentos (1 borde y 2 cuerpos decorados), lo cual representa el 1.20 % de los fragmentos decorados que componen la muestra total por lo cual es considerada como poco popular.

La técnica decorativa chorroado se distribuye de acuerdo con las categorías formales en ollas (1 caso) y posibles vasijas cerradas (2 casos). Específicamente esta técnica se aplicó en la olla tipo 4d (código 18-88).

Presión digital interna (figura 16- página 120)

Técnica decorativa plástica que consiste en imprimir los dedos desde la superficie interna de las vasijas, de tal manera que se forman círculos abultados en la superficie externa de la vasija. Esta técnica decorativa se encuentra presente en 2 fragmentos (2 cuerpos decorados), lo cual representa el 0.80 % de los fragmentos decorados que componen la muestra total. Es considerada una de las técnicas decorativas menos populares de toda la muestra.

Esta técnica decorativa se distribuye de manera limitada en el repertorio formal debido a la naturaleza de los fragmentos. Se encuentra presente en 2 posibles vasijas cerradas de tipo específico no determinado (códigos 21-3 y 98-530).

Motivos decorativos

De una muestra compuesta por 249 fragmentos diagnósticos se ha identificado un total de 33 motivos decorativos agrupados en dos grandes categorías. La primera categoría hace referencia a los motivos geométricos como lo son: almenado, anillos, círculos, óvalos, rectángulos, rollo delgado, triángulos colgantes, línea delgada, líneas delgadas paralelas, líneas zigzagueantes, líneas onduladas, banda de líneas paralelas, banda de líneas achuradas, banda de líneas paralelas y en aspa, banda de cuadrados, banda de rombos, banda ajedrezada, banda de chevrones, banda sólida ancha, banda sólida delgada, cruz de malta y no definido. Mientras, la segunda categoría agrupa los motivos de carácter figurativo realistas entre los cuales destacan: antropomorfo, zoomorfo no definido, ictiomorfo, malacológico, ornitomorfo, serpientes, serpientes con círculos, fitomorfos, helechos, trama de cestería y falsa asa.

Motivos geométricos

Almenado (figura 1 – página 121)

Motivo decorativo geométrico que consiste en el desnivel de una superficie a manera del elemento arquitectónico almena. Este motivo se presenta en 1 fragmento, lo cual representa el 0.40% del total de la muestra utilizada para el análisis de patrón decorativo.

Además, este motivo decorativo se representa en 1 posible vasija cerrada de tipo específico no determinado (código 58-296).

Anillo (figura 2 – página 121)

Motivo decorativo geométrico en forma de banda delgada dispuesta en forma de arco. Este motivo se presenta en 6 fragmentos, lo cual representa el 2.41 % del total de la muestra utilizada para el análisis de patrón decorativo.

Asimismo, este motivo decorativo se distribuye de acuerdo con el repertorio formal en 2 posibles cántaros (códigos 43-394 y 49-318) y en 4 posibles vasijas cerradas de tipo específico no determinado (códigos 30-443, 48-132, 96-459 y 124-288).

Círculo (figura 3- página 121)

Motivo decorativo geométrico en forma de círculo. Este motivo se presenta en 13 fragmentos, lo cual representa el 5.22 % del total de la muestra utilizada para el análisis de patrón decorativo.

Además, este motivo decorativo se distribuye de acuerdo con el repertorio formal en 3 ollas (códigos 46-339, 47-64 y 50-30), 1 posible olla (código 25-8), 7 posibles vasijas cerradas de tipo específico no determinado y 2 cuencos (códigos 98-518 y 110-235).

Óvalo (figura 4 – página 121)

Motivo decorativo geométrico en forma de óvalo. Este motivo se presenta en 1 fragmento, lo cual representa el 0.40% del total de la muestra utilizada para el análisis de patrón decorativo.

Los óvalos solo han sido representados en 1 posible vasija cerrada de tipo específico no determinado (código 111-553).

Rectángulo (figura 5- página 121)

Motivo decorativo geométrico en forma de rectángulo. Este motivo se presenta en 5 fragmentos, lo cual representa el 2.01 % del total de la muestra utilizada para el análisis de patrón decorativo.

De acuerdo con la clasificación morfológica, este motivo se encuentra distribuido en 2 posibles aríbalos (códigos 23-422 y 110-255), 1 posible plato (código 20-107) y 2 posibles vasijas cerradas de tipo específico no determinado (códigos 109-542 y 111-554).

Rollo delgado (figura 6- página 121)

Motivo decorativo geométrico que consiste en un rollo delgado. Este motivo se presenta en 2 fragmentos, lo cual representa el 0.80 % del total de la muestra utilizada para el análisis de patrón decorativo.

Informe Final del Proyecto de Investigación de Colecciones y Fondos Museográficos “Tambo Inga 2019”
Además, se distribuye de acuerdo con las categorías formales establecidas en 2 posibles vasijas cerradas de tipo específico no determinado (códigos 43-396 y 43-397).

Triángulos colgantes (figura 7 – página 121)

Motivo decorativo geométrico que consiste en triángulos dispuestos en hilera y unidos entre sí. Este motivo se presenta en 7 fragmentos, lo cual representa el 2.81 % del total de la muestra utilizada para el análisis de patrón decorativo.

Este motivo decorativo se encuentra distribuido de acuerdo con las categorías formales en 1 olla (código 33-483), 5 platos (códigos 5-375, 8-173, 16-46, 33-496 y 48-117) y 1 posible plato (código 43-395).

Línea delgada (figura 8- página 121)

Motivo decorativo geométrico en forma de línea delgada. Este motivo se presenta en 17 fragmentos, lo cual representa el 6.83 % del total de la muestra utilizada para el análisis de patrón decorativo.

Además, se encuentra distribuido de acuerdo con las categorías formales en 1 aríbalo (código 109-537), 1 olla (código 33-481), 1 plato (código 74-183), 13 posibles vasijas cerradas de tipo específico no determinado y 1 posible vasija abierta de tipo específico no determinado (código 30-431).

Líneas delgadas paralelas (figura 9- página 121)

Motivo decorativo geométrico que consiste en líneas delgadas dispuestas en forma paralela entre sí. Este motivo se presenta en 31 fragmentos, lo cual representa el 12.45 % del total de la muestra utilizada para el análisis de patrón decorativo.

Este motivo decorativo se distribuye en las siguientes categorías formales en 7 ollas (códigos 20-44, 23-425, 30-440, 33-472, 33-473, 33-495 y 110-230), 1 posible aríbalo (código 96-457), 1 posible cántaro (código 33-512), 4 platos (códigos 8-173, 16-46, 33-496, 48-117), 1 posible plato (código 33-500) y 17 posibles vasijas cerradas de tipo específico no determinado.

Líneas zigzagueantes (figura 10- página 121)

Motivo decorativo geométrico que consiste en líneas en forma de zigzag. Este motivo se presenta en 1 fragmento, lo cual representa el 0.40% del total de la muestra utilizada para el análisis de patrón decorativo. Además, se encuentra presente en 1 cuenco (código 33-476).

Líneas onduladas (figura 11- página 121)

Motivo geométrico que consiste en una línea delgada en forma ondulada. Este motivo se presenta en 1 fragmento, lo cual representa el 0.40% del total de la muestra utilizada para el análisis de patrón decorativo. Además, se encuentra presente en 1 vasija cerrada de tipo específico no determinado (código 62-453).

Banda de líneas paralelas (figura 12- página 121)

Motivo geométrico que consiste en un espacio de color que contiene líneas delgadas paralelas entre sí. Este motivo se presenta en 1 fragmento, lo cual representa el 0.40% del total de la muestra utilizada para el análisis de patrón decorativo. Adicionalmente, este motivo se distribuye en 1 posible aríbalo (código 109-533).

Banda de líneas achuradas (figura 13 – página 122)

Motivo geométrico que consiste en un espacio de color que contiene líneas delgadas paralelas entre sí y dispuestas diagonalmente. Este motivo se presenta en 1 fragmento, lo cual representa el 0.40% del total de la muestra utilizada para el análisis de patrón decorativo. Además, se presenta en 1 posible vasija cerrada de tipo específico no determinado (código 42-196).

Banda de líneas paralelas y en aspa (figura 14- página 122)

Motivo geométrico que consiste en un espacio de color que contiene líneas paralelas y aspas en su interior. Este motivo se presenta en 3 fragmentos, lo cual representa el 1.20% del total de la muestra utilizada para el análisis de patrón decorativo. Tomando como referencia la clasificación formal este motivo decorativo se presenta en 3 posibles vasijas cerradas de tipo específico no determinado (códigos 33-509, 33-510 y 42-200).

Banda de cuadrados (figura 15- página 122)

Motivo geométrico que consiste en un espacio de color conformado por cuadrados en el interior. Este motivo se presenta en 1 fragmento, lo cual representa el 0.40% del total de la muestra utilizada para el análisis de patrón decorativo. Además, se presenta en 1 plato (código 22-13).

Banda de rombos (figura 16- página 122)

Motivo geométrico que consiste en un espacio de color conformado por rombos anidados en el interior. Este motivo se presenta en 3 fragmentos, lo cual representa al 1.20 % del total de la muestra analizada para el análisis del patrón decorativo. Además, se distribuye de acuerdo con la clasificación formal establecida en 2 posibles aríbalos (códigos 23-422 y 98-522) y 1 posible plato (código 15-48).

Banda ajedrezada (figura 17- página 122)

Motivo geométrico que consiste en un espacio de color que contiene una trama entrecruzada de pequeños cuadrados similar a un tablero de ajedrez. Este motivo se presenta en 1 fragmento, lo cual representa el 0.40% del total de la muestra utilizada para el análisis de patrón decorativo. Considerando la clasificación morfológica, este motivo se encuentra presente en 1 plato (código 5-375).

Banda de chevrones (figura 18- página 122)

Motivo geométrico que consiste en un espacio de color que contiene chevrones en su interior. Este motivo se presenta en 1 fragmento, lo cual representa el 0.40% del total de la muestra utilizada para el análisis de patrón decorativo. Además, se presenta en 1 posible olla (código 25-8).

Banda sólida ancha (figura 19- página 122)

Motivo geométrico que consiste en un espacio de color de más de 1cm de ancho. Este motivo se presenta en 47 fragmentos, lo cual representa el 18.88% del total de la muestra utilizada para el análisis de patrón decorativo. Es el segundo motivo decorativo más abundante en toda la muestra. De acuerdo con la clasificación morfológica, este motivo se distribuye en 1 olla (código 71-357), 12 posibles ollas, 4 posibles cántaros (códigos 47-73, 47-77, 49-315 y 51-406) y 30 posibles vasijas cerradas de tipo específico no determinado.

Banda sólida delgada (figura 20- página 122)

Motivo geométrico que consiste en un espacio de color de igual o menos de 1cm de ancho. Este motivo se presenta en 61 fragmentos, lo cual representa el 24.50 % del total de la muestra utilizada para el análisis de patrón decorativo. Se constituye como el motivo decorativo con mayor representatividad en toda la muestra. Tomando como referencia la clasificación morfológica establecida este motivo decorativo se distribuye en 5 aríbalos (códigos 23-335, 32-203, 103-7, 109-537 y 110-263), 19 ollas, 1 olla miniatura (código 61-248), 1 posible cántaro (código 32-205), 2 posibles platos (códigos 32-504 y 33-500), 30 posibles vasijas cerradas de tipo específico no determinado y 1 posible vasija abierta de tipo específico no determinado (código 30-431).

Cruz de malta (figura 21- página 122)

Motivo geométrico que consiste en el entrecruzamiento de aspas de molino semejando una cruz. Este motivo se presenta en 1 fragmento, lo cual representa el 0.40% del total de la muestra utilizada para el análisis de patrón decorativo. Además, este motivo decorativo se presenta en una posible vasija cerrado de tipo específico no determinado (código 39-127).

No definido

Este motivo se presenta en 1 fragmento, lo cual representa el 0.40% del total de la muestra utilizada para el análisis de patrón decorativo. De acuerdo con las categorías formales establecidas este motivo decorativo se presenta en 1 posible vasija cerrada de tipo específico no determinado (código 40-242).

Motivos figurativo-realistas

Antropomorfo (figura 22- página 123)

Motivo figurativo realista que contiene alguna característica propia de los seres humanos. Este motivo se presenta en 12 fragmentos, lo cual representa el 4.82 % del total de la muestra utilizada para el análisis de patrón decorativo. Se distribuye de acuerdo con las categorías formales en 9 posibles cántaros, 2 posibles vasijas cerradas de tipo específico no determinado y 1 figurina.

Zoomorfo no definido (figura 23- página 123)

Motivo figurativo realista que contiene alguna característica propia de los animales. Este motivo se presenta en 2 fragmentos, lo cual representa el 0.80 % del total de la muestra utilizada para el análisis de patrón decorativo. De acuerdo con las categorías formales este motivo decorativo se distribuye en 2 posibles vasijas cerradas de tipo específico no determinado (códigos 20-110 y 76-345).

Ictiomorfo (figura 24- página 123)

Motivo figurativo realista asociado a peces. Este motivo se presenta en 2 fragmentos, lo cual representa el 0.80 % del total de la muestra utilizada para el análisis de patrón decorativo. De acuerdo con la clasificación morfológica previamente establecida este motivo se distribuye en 1 olla (código 50-29) y 1 posible vasija cerrada de tipo específico no determinado (código 43-23).

Malacológico (figura 25- página 123)

Motivo figurativo realista asociado a material malacológicos o conchas. Este motivo se presenta en 1 fragmento, lo cual representa el 0.40% del total de la muestra utilizada para el análisis de patrón decorativo. Tomando como referencia la clasificación morfológica este motivo se presenta en 1 olla (código 43-391).

Ornitomorfo (figura 26- página 123)

Motivo figurativo realista asociado a las aves. Este motivo se presenta en 2 fragmentos, lo cual representa el 0.80 % del total de la muestra utilizada para el análisis de patrón decorativo. De acuerdo con la clasificación morfológica previamente establecida este motivo decorativo se distribuye en 1 plato (código 22-13) y 1 posible plato (código 1-301).

Serpientes (figura 27- página 123)

Motivo figurativo realista con representación de serpientes. Este motivo se presenta en 41 fragmentos, lo cual representa el 16.47 % del total de la muestra utilizada para el análisis de patrón decorativo. Es el tercer motivo más abundante en la muestra. De acuerdo con la clasificación morfológica este motivo se distribuye en 2 cántaros (códigos 31-276 y 48-133), 6 ollas (códigos 21-2, 21-4, 33-499, 45-21, 47-72 y 49-326), 1 cuenco miniatura (código 26-113), 3 posibles ollas (códigos 23-423, 46-365, 98-519), 1 posible plato (código 95-20) y 28 posibles vasijas cerradas de tipo específico no determinado.

Serpientes con círculos (figura 28- página 123)

Motivo figurativo realista con representación de serpientes con círculos a lo largo de su cuerpo. Este motivo se presenta en 8 fragmentos, lo cual representa el 3.21 % del total de la muestra utilizada para el análisis de patrón decorativo. Tomando como referencia la clasificación formal establecidas se distribuye en 2 ollas (código 50-31 y 98-526), 3 posibles ollas (códigos 34-12, 46-369 y 98-525) y 3 posibles vasijas cerradas de tipo específico no determinado (códigos 30-435, 47-65 y 98-520).

Fitomorfo (figura 29- página 123)

Motivo figurativo realista con representación de plantas y/ o derivados. Está presente en 3 fragmentos, lo cual equivale al 1.20 % del total de la muestra utilizada para el análisis de patrón decorativo. De acuerdo con la clasificación morfológica establecida se distribuye en 2 ollas (códigos 50-27 y 50-32) y 1 posible vasija cerrada de tipo específico no determinado (código 18-89).

Helechos (figura 30- página 123)

Motivo figurativo realista con representación de helechos. Este motivo se presenta en 2 fragmentos, lo cual representa el 0.80 % del total de la muestra utilizada para el análisis de patrón decorativo. De acuerdo con la clasificación morfológica establecida, se distribuye en 2 posibles aríbalos (código 20-109 y 110-256).

Trama de cestería (figura 31- página 123)

Motivo figurativo realista con representación de tramas de fibras vegetales a modo de productos de cestería. Este motivo se presenta en 1 fragmento, lo cual representa el 0.40% del total de la muestra utilizada para el análisis de patrón decorativo. De acuerdo con la clasificación morfológica establecida este motivo se presenta en 1 posible cuenco (código 63-360).

Falsa asa (figura 32- página 123)

Motivo figurativo realista que asemeja un asa, pero que no cumplen una función práctica solamente decorativa. Este motivo se presenta en 1 fragmento, lo cual representa el 0.40% del total de la muestra utilizada para el análisis de patrón decorativo. De acuerdo con la clasificación morfológica establecida este motivo se presenta en 1 plato (código 45-24).

7.2 Resultados del análisis de material malacológico y carcinológico

El material malacológico y carcinológico analizado se encuentra agrupado en 55 bolsas distribuidas en 4 cajas (N.º 11, 12, 38 y 39). Este material procede de los cateos N.º 1, 3, 4, 5, 6, 7, 9, 10, 12 y 13 del sector II de Tambo Inga y de las unidades estratigráficas N.º 1 al 11.

7.2.1 Identificación de especies y frecuencias

La muestra analizada está compuesta por un total de 1906 restos y 587 individuos entre todos los taxones identificados. En el sector II de Tambo Inga se han logrado identificar un total de 21 taxones agrupados en los phylum Mollusca (20 taxones) y Crustácea (1 taxón). A su vez el phylum Mollusca se encuentra representado por 3 clases: Bivalvia (9 taxones), Gasterópoda (10 taxones) y Polyplacophora (1 taxón). Mientras, el phylum Crustácea solo presenta individuos de la clase Maxilópoda. (1 taxón).

Los taxones identificados correspondientes al phylum Mollusca son los siguientes. Entre los bivalvos se presentan: *Argopectem purpuratus* (0%), *Aulacomya ater* (35.26%), *Choromytilus chorus* (10.90%), *Perumitilus purpuratus* (16.52%), *Semimytilus algosus* (1.36%), *Mesodesma donacium* (9.03%), *Semele solida* (1.02%), familia Mytilidae (0%) e indeterminado (0%). Entre los gasterópodos se han identificado: *Concholepas concholepas* (0.85%), *Crepidatela dilatata* (13.97%), *Fisurella cumingi* (0.17%), *Nassarius gayi* (0.34%), *Oliva peruviana* (0.34%), *Tegula atra* (0.68%), *Tegula euryomphala* (0.34%), *Thais chocolata* (8.69%), Indeterminado (0%) y *Bostryx sp.* (0.17%). La clase Polyplacophora solo presenta individuos de la familia *Chitonidae* (0%). Mientras, el phylum Crustácea se encuentra representado por el taxón *Balanus sp.* (0.34%).

Phylum	Clase	Taxón	Nombre común	NR	% NR	NMI	% NMI
Mollusca	Bivalvia	<i>Argopectem purpuratus</i>	Concha de abanico	1	0.05%	0	0.00%
		<i>Aulacomya ater</i>	Choro	957	50.21%	207	35.26%
		<i>Choromytilus chorus</i>	Choro zapato	311	16.32%	64	10.90%
		<i>Perumytilus purpuratus</i>	Chorito	219	11.49%	97	16.52%
		<i>Semimytilus algosus</i>	Chorito	13	0.68%	8	1.36%
		Mytilidae	-	2	0.10%	0	0.00%
		<i>Mesodesma donacium</i>	Macha	190	9.97%	53	9.03%
		<i>Semele solida</i>	Almeja	9	0.47%	6	1.02%
		Bivalvo indeterminado	-	1	0.05%	0	0.00%
	Gasterópoda	<i>Concholepas concholepas</i>	Chanque o pata de burro	11	0.58%	5	0.85%
		<i>Crepidatela dilatata</i>	Pique	97	5.09%	82	13.97%
		<i>Fisurella cumingi</i>	Lapa	1	0.05%	1	0.17%
		<i>Nassarius gayi</i>	-	2	0.10%	2	0.34%
		<i>Oliva peruviana</i>	Caracol porcelana	2	0.10%	2	0.34%
		<i>Tegula atra</i>	Caracol turbante	4	0.21%	4	0.68%
		<i>Tegula euryomphala</i>	Caracol	2	0.10%	2	0.34%
		<i>Thais chocolata</i>	Caracol o caracol gris	74	3.88%	51	8.69%
		Gasterópodo indeterminado	-	2	0.10%	0	0.00%
		<i>Bostryx sp.</i>	-	1	0.05%	1	0.17%
	Polyplacophora	<i>Chitonidae</i>	Chitón	1	0.05%	0	0.00%
Crustacea	Maxilopoda	<i>Balanus sp.</i>	Pico de loro	6	0.31%	2	0.34%
Total				1906	100.00%	587	100.00%

Tabla 5: frecuencia de las especies malacológicas y carcinológicas.

7.2.2 Distribución del material malacológico y carcinológico en la estratigrafía

El material malacológico y carcinológico procede de los cateos N. °1, 3, 4, 5, 6, 7, 9, 10, 12 y 13 del sector II de Tambo Inga y de las unidades estratigráficas N. ° 1 al 11 (ver páginas 124-130).

Cateo 1

El material malacológico y carcinológico en el cateo 1 se encuentra presente de manera dispersa en las unidades estratigráficas 7, 8 y 10. Este cateo contiene un total de 45 restos y 23 individuos.

UE 7

La UE 7 contiene un total de 25 restos y 13 individuos entre las 6 especies siguientes: *Aulacomya ater* (10 restos, 4 individuos), *Choromytilus chorus* (2 restos, 1 individuo), *Crepipatela dilatata* (6 restos, 5 individuos), *Mesodesma donacium* (3 restos, 0 individuos), *Perumytilus purpuratus* (2 individuos) y *Tegula atra* (1 individuo).

UE 8

La UE 8 contiene un total de 18 restos y 8 individuos entre las 6 especies siguientes: *Aulacomya ater* (9 restos, 1 individuo), *Crepipatela dilatata* (1 resto, 1 individuo), *Mesodesma donacium* (1 resto, 1 individuo), *Perumytilus purpuratus* (1 resto, 1 individuo), *Tegula euryomphala* (1 resto, 1 individuo) y *Thais chocolata* (2 restos, 2 individuos).

UE 10

La UE 10 contiene un total de 2 restos y 2 individuos en solo una especie: *Crepipatela dilatata*.

Cateo 3

El material malacológico y carcinológico en el cateo 3 se presenta de manera dispersa en las unidades estratigráficas 9 y 11. Este cateo contiene un total de 34 restos y 9 individuos.

UE 9

La UE 9 contiene un total de 13 restos y 2 individuos entre las 3 especies siguientes: *Aulacomya ater* (7 restos, 1 individuo), *Choromytilus chorus* (1 resto, 1 individuo) y *Mesodesma donacium* (5 restos, 0 individuos).

UE 11

La UE 11 contiene un total de 21 restos y 7 individuos entre las 5 especies siguientes: *Aulacomya ater* (11 restos, 2 individuos), *Choromytilus chorus* (5 restos, 2 individuos), *Concholepas concholepas* (1 resto, 1 individuo), *Crepipatela dilatata* (2 restos, 2 individuos) y *Mesodesma donacium* (2 restos, 0 individuos).

Cateo 4

El material malacológico y carcinológico en el cateo 4 se presenta en las unidades estratigráficas 1 al 6 y 8 al 10. Este cateo contiene un total de 763 restos y 252 individuos.

UE 1

La UE 1 contiene un total de 4 restos y 0 individuos entre las 2 siguientes especies: *Mesodesma donacium* (3 restos, 0 individuos) y *Thais chocolata* (1 resto, 0 individuos).

UE 2

La UE 2 contiene un total de 8 restos y 3 individuos entre las 4 siguientes especies: *Aulacomya ater* (3 restos, 0 individuos), *Crepidatela dilatata* (1 resto, 0 individuos), *Mesodesma donacium* (3 restos, 2 individuos) y *Thais chocolata* (1 resto, 1 individuo).

UE 3

La UE 4 contiene un total de 42 restos y 14 individuos entre las 7 especies siguientes: *Aulacomya ater* (24 restos, 5 individuos), *Bostryx sp.* (1 resto, 1 individuo), *Choromytilus chorus* (3 restos, 1 individuo), *Crepidatela dilatata* (3 restos, 2 individuos), *Mesodesma donacium* (5 restos, 2 individuos), *Perumytilus purpuratus* (2 restos, 1 individuo) y *Thais chocolata* (4 restos, 2 individuos).

UE 4

La UE 4 contiene un total de 3 restos y 1 individuo entre las 3 especies siguientes: *Aulacomya ater* (1 resto, 0 individuos), *Mesodesma donacium* (1 resto, 0 individuos) y *Perumytilus purpuratus* (1 resto, 1 individuo).

UE 5

La UE 5 contiene un total de 487 restos y 185 individuos entre las 14 especies siguientes: *Argopectem purpuratus* (1 resto, 0 individuos), *Aulacomya ater* (279 restos, 56 individuos), *Balanus sp.* (3 restos, 1 individuo), *Choromytilus chorus* (69 restos, 13 individuos), *Crepidatela dilatata* (24 restos, 22 individuos), *Fisurella cumingi* (1 resto, 1 individuo), *Mesodesma donacium* (55 restos, 20 individuos), *Nassarius gayi* (1 resto, 1 individuo), *Oliva peruviana* (1 resto, 1 individuo), *Perumytilus purpuratus* (25 restos, 13 individuos), *Semimytilus algosus* (3 restos, 1 individuo), *Tegula atra* (3 restos, 3 individuos), *Tegula euryomphala* (1 resto, 1 individuo) y *Thais chocolata* (21 restos, 12 individuos).

UE 6

La UE 6 contiene un total de 89 restos y 36 individuos entre las 7 especies siguientes: *Aulacomya ater* (47 restos, 7 individuos), *Choromytilus chorus* (8 restos, 3 individuos), *Concholepas concholepas* (4 restos, 2 individuos), *Crepidatela dilatata* (8 restos, 7 individuos), *Mesodesma donacium* (11 restos, 8 individuos), *Perumytilus purpuratus* (1 resto, 0 individuos) y *Thais chocolata* (10 restos, 9 individuos).

UE 8

La UE 8 contiene un total de 13 restos y 5 individuos distribuidos entre las 6 especies siguientes: *Aulacomya ater* (6 restos, 2 individuos), *Crepipatela dilatata* (1 resto, 1 individuo), Indeterminado (1 resto, 0 individuos), *Mesodesma donacium* (2 restos, 0 individuos), *Perumytilus purpuratus* (2 restos, 1 individuo) y *Thais chocolata* (1 resto, 1 individuo).

UE 9

La UE 9 contiene un total de 88 restos y 38 individuos entre las 8 especies siguientes: *Aulacomya ater* (53 restos, 15 individuos), *Choromytilus chorus* (11 restos, 7 individuos), *Concholepas concholepas* (1 resto, 0 individuos), *Crepipatela dilatata* (8 restos, 7 individuos), *Mesodesma donacium* (2 restos, 1 individuo), *Nassarius gayi* (1 resto, 1 individuo), *Perumytilus purpuratus* (9 restos, 5 individuos) y *Thais chocolata* (3 restos, 2 individuos).

UE 10

La UE 10 contiene un total de 29 restos y 10 individuos distribuidos entre las 6 siguientes especies: *Aulacomya ater* (18 restos, 3 individuos), *Choromytilus chorus* (3 restos, 1 individuo), *Crepipatela dilatata* (2 restos, 2 individuos), *Mesodesma donacium* (1 resto, 1 individuo), *Perumytilus purpuratus* (2 restos, 1 individuo) y *Thais chocolata* (3 restos, 2 individuos).

Cateo 5

El material malacológico y carcinológico en el cateo 5 se presenta en las unidades estratigráficas 5 y 6. Este cateo contiene un total de 25 restos y 6 individuos.

UE 5

La UE 5 contiene un total de 6 restos y 3 individuos distribuidos entre las 3 especies siguientes: *Crepipatela dilatata* (1 resto, 1 individuo), *Mesodesma donacium* (4 restos, 1 individuo) y *Thais chocolata* (1 resto, 1 individuo).

UE 6

La UE 6 contiene un total de 19 restos y 3 individuos distribuidos en las 2 especies siguientes: *Aulacomya ater* (17 restos, 1 individuo) y *Thais chocolata* (2 restos, 2 individuos).

Cateo 6

El material malacológico y carcinológico en el cateo 6 se presenta en las unidades estratigráficas 2 y 3. Este cateo contiene un total de 479 restos y 122 individuos.

UE 2

La UE 2 contiene un total de 84 restos y 29 individuos distribuidos entre las 7 siguientes especies: *Aulacomya ater* (53 restos, 13 individuos), *Choromytilus chorus* (13 restos, 3 individuos), *Crepipatela dilatata* (4 restos, 4 individuos), *Mesodesma donacium* (6 restos, 3 individuos), *Perumytilus purpuratus* (4 restos, 3 individuos), *Semimytilus algosus* (2 restos, 1 individuo) y *Thais chocolata* (2 restos, 2 individuos).

UE 3

La UE 3 contiene un total de 395 restos y 93 individuos distribuidos entre las 8 siguientes especies: *Aulacomya ater* (181 restos, 44 individuos), *Balanus sp.* (2 restos, 0 individuos), *Choromytilus chorus* (185 restos, 30 individuos), *Crepipatela dilatata* (9 restos, 8 individuos), *Mesodesma donacium* (1 resto, 0 individuos), *Perumytilus purpuratus* (2 restos, 1 individuo), *Semele solida* (8 restos, 5 individuos) y *Thais Chocolata* (7 restos, 5 individuos).

Cateo 7

El material malacológico y carcinológico en el cateo 7 se presenta en las unidades estratigráficas 1, 3 y 6. Este cateo contiene un total de 95 restos y 31 individuos.

UE 1

La UE 1 contiene un total de 2 restos y 2 individuos distribuidos entre las 2 especies siguientes: *Crepipatela dilatata* (1 resto, 1 individuo) y *Thais chocolata* (1 resto, 1 individuo).

UE 3

La UE 3 contiene un total de 50 restos y 11 individuos distribuidos entre las 4 especies siguientes: *Aulacomya ater* (43 restos, 7 individuos), *Choromytilus chorus* (2 restos, 1 individuo), *Crepipatela dilatata* (2 restos, 2 individuos) y *Mesodesma donacium* (3 restos, 1 individuo).

UE 6

La UE 6 contiene un total de 43 restos y 18 individuos distribuidos en las 6 especies siguientes: *Aulacomya ater* (33 restos, 11 individuos), *Choromytilus chorus* (2 restos, 1 individuo), *Crepipatela dilatata* (2 restos, 2 individuos), *Semimytilus algosus* (2 restos, 2 individuos) y *Thais chocolata* (1 resto, 1 individuo).

Cateo 9

El material malacológico y carcinológico en el cateo 9 se presenta en las unidades estratigráficas 3 y 4. Este cateo contiene un total de 17 restos y 3 individuos.

UE 3

La UE 3 contiene un total de 4 restos y 2 individuos distribuidos en las 2 especies siguientes: *Aulacomya ater* (3 restos, 1 individuo) y *Concholepas concholepas* (1 resto, 1 individuo).

UE 4

La UE 4 contiene un total de 13 restos y 1 individuo correspondientes únicamente a la especie *Aulacomya ater*.

Cateo 10

El material malacológico y carcinológico del cateo 10 se presenta en las unidades estratigráficas 2 al 6, 8 y 9. Este cateo contiene un total de 370 restos y 115 individuos.

UE 2

La UE 2 contiene un total de 9 restos y 3 individuos distribuidos entre las 3 especies siguientes: *Aulacomya ater* (6 restos, 1 individuo), *Crepipatela dilatata* (2 restos, 2 individuos) y *Thais chocolata* (1 restos, 0 individuos).

UE 3

La UE 3 contiene un total de 63 restos y 13 individuos distribuidos en las 5 especies siguientes: *Aulacomya ater* (44 restos, 9 individuos), *Concholepas Concholepas* (2 restos, 1 individuo), *Crepipatela dilatata* (1 resto, 0 individuos), *Mesodesma donacium* (14 restos, 2 individuos) y *Thais chocolata* (2 restos, 1 individuo).

UE 4

La UE 4 contiene un total de 11 restos y 3 individuos distribuidos en las 2 siguientes especies: *Aulacomya ater* (8 restos, 2 individuos) y *Mesodesma donacium* (3 restos, 1 individuo).

UE 5

La UE 5 contiene un total de 35 restos y 4 individuos distribuidos en los 9 taxones siguientes: *Aulacomya ater* (10 restos, 2 individuos), *Choromytilus chorus* (2 restos, 0 individuos), *Concholepas concholepas* (1 resto, 0 individuos), *Crepipatela dilatata* (1 resto, 0 individuos), Indeterminado (1 resto, 0 individuos), *Mesodesma donacium* (14 restos, 0 individuos), *Mytilidae* (2 restos, 0 individuos), *Perumytilus purpuratus* (2 restos, 1 individuo) y *Semimytilus algosus* (2 restos, 1 individuo).

UE 6

La UE 6 contiene un total de 1 resto y 1 individuo de *Thais chocolata*.

UE 8

La UE 8 contiene un total de 196 restos y 77 individuos distribuidos en las 8 siguientes especies: *Aulacomya ater* (25 restos, 7 individuos), *Balanus sp.* (1 resto, 1 individuo), *Crepipatela dilatata* (2 restos, 2 individuos), *Mesodesma donacium* (6 restos, 1 individuo), *Oliva peruviana* (1 resto, 1 individuo), *Perumytilus purpuratus* (158 restos, 64 individuos), *Semimytilus algosus* (2 restos, 1 individuo) y *Thais chocolata* (1 resto, 0 individuos).

UE 9

La UE 9 contiene un total de 55 restos y 14 individuos distribuidos en las 8 especies siguientes: *Aulacomya ater* (28 restos, 6 individuos), *Choromytilus chorus* (2 restos, 0 individuos), *Crepipatela dilatata* (3 restos, 2 individuos), Indeterminado (1 resto, 0 individuos), *Mesodesma donacium* (12 restos, 2 individuos), *Perumytilus purpuratus* (6 restos, 2 individuos), *Semimytilus algosus* (2 restos, 2 individuos) y *Thais chocolata* (1 resto, 0 individuos).

Cateo 12

El material malacológico y carcinológico del cateo 12 se presenta en las unidades estratigráficas 3 y 4. Este cateo contiene un total de 34 restos y 12 individuos.

UE 3

La UE 3 contiene un total de 28 restos y 10 individuos distribuidos en las 4 siguientes especies: *Aulacomya ater* (13 restos, 2 individuos), *Crepipatela dilatata* (2 restos, 2 individuos), *Mesodesma donacium* (10 restos, 3 individuos) y *Thais chocolata* (3 restos, 3 individuos).

UE 4

La UE 4 contiene un total de 6 restos y 2 individuos distribuidos entre las 3 especies siguientes: *Aulacomya ater* (4 restos, 1 individuo), *Mesodesma donacium* (1 resto, 0 individuos) y *Thais chocolata* (1 resto, 1 individuo).

Cateo 13

El material malacológico y carcinológico del cateo 13 se presenta en las unidades estratigráficas del 4 al 8. Este cateo contiene un total de 44 restos y 14 individuos.

UE 4

La UE 4 contiene un total de 4 restos y 2 individuos distribuidos en las 3 siguientes especies: *Aulacomya ater* (2 restos, 1 individuo), *Concholepas concholepas* (1 resto, 0 individuos) y *Mesodesma donacium* (1 resto, 1 individuo).

UE 5

La UE 5 contiene un total de 20 restos y 6 individuos distribuidos en las 7 especies siguientes: *Aulacomya ater* (2 restos, 1 individuo), *Choromytilus chorus* (2 restos, 0 individuos), *Crepipatela dilatata* (3 restos, 1 individuo), *Mesodesma donacium* (8 restos, 1 individuo), *Perumytilus purpuratus* (1 resto, 1 individuo), *Semele solida* (1 resto, 1 individuo) y *Thais chocolata* (3 restos, 1 individuo).

UE 6

La UE 6 contiene un total de 6 restos y 2 individuos distribuidos en las 2 especies siguientes: *Mesodesma donacium* (5 restos, 1 individuo) y *Thais chocolata* (1 resto, 1 individuo).

UE 7

La UE 7 contiene un total de 7 restos y 3 individuos distribuidos en las 4 siguientes especies: *Aulacomya ater* (3 restos, 1 individuo), *Choromytilus chorus* (1 resto, 0 individuos), *Crepipatela dilatata* (2 restos, 2 individuos) y *Mesodesma donacium* (1 resto, 0 individuos).

UE 8

La UE 8 contiene un total de 7 restos y 1 individuo distribuidos en las 4 siguientes especies: *Aulacomya ater* (1 resto, 0 individuos), *Chitonidae* (1 resto, 0 individuos), *Crepipatela dilatata* (1 resto, 1 individuo) y *Mesodesma donacium* (4 restos, 0 individuos).

7.3 Resultados del análisis de material óseo animal

El material óseo animal analizado se encuentra agrupado en 23 bolsas ubicadas en la caja N.º 26. Este material procede de los cateos N.º 1, 3, 4, 5, 6, 7, 9, 10, 12, 13 y 14 del sector II de Tambo Inga y de las unidades estratigráficas N.º 2 al 9 y 11 (ver páginas 124-130).

7.3.1 Identificación de taxones y frecuencia

La muestra analizada está compuesta por un total de 352 restos de material óseo entre fragmentos diagnósticos y no diagnósticos, 76 especímenes óseos (NSIP) y 16 individuos (NMI) entre todos los taxones que conforman la muestra. Se han identificado 7 taxones distribuidos entre la clase Mammalia (6 taxones) y Aves (1 taxón). A su vez la clase Mammalia se encuentra representada por los siguientes taxones: *Camelidae* (50%), *Cavia porcellus* (11.54%), *Bovidae* (7.69%), *Canis lupus familiaris* (3.85%), *Eqqus caballus* (3.85%) e Indeterminado (19.23%).

Clase	Taxón	NSIP	% NSIP	NMI	% NMI
Ave	<i>Ave</i>	1	1.32%	1	3.85%
Mammalia	<i>Camelidae</i>	55	72.37%	13	50.00%
	<i>Bovidae</i>	5	6.58%	2	7.69%
	<i>Canis lupus familiaris</i>	6	7.89%	1	3.85%
	<i>Cavia porcellus</i>	3	3.95%	3	11.54%
	<i>Eqqus caballus</i>	1	1.32%	1	3.85%
	<i>Indeterminado</i>	5	6.58%	5	19.23%
Total		76	100.00%	26	100.00%

Tabla 7: distribución de frecuencias por taxón de material óseo animal.

7.3.2 Distribución del material óseo animal en la estratigrafía

El material óseo animal se distribuye entre los cateos N.º 1, 3, 4, 5, 6, 7, 9, 10, 12, 13 y 14 del sector II de Tambo Inga y de las unidades estratigráficas N.º 2 al 9. Es importante recalcar que los cateos N.º 3, 6, 7, 9, 10 y 12 cuentan únicamente con material óseo animal no diagnóstico, motivo por el cual no se considera en el cuadro general de distribución de material óseo animal.

Cateo 1

El cateo 1 presenta material óseo animal diagnóstico en las unidades estratigráficas N. °7 y 8. Este cateo presenta un total de 2 especímenes y 2 individuos.

UE 7

La UE 7 presenta un total de 1 espécimen y 1 individuo del taxón *Camelidae*.

UE 8

La UE 8 presenta un total de 1 espécimen y 1 individuo correspondiente al taxón *Cavia porcellus*.

Cateo 4

El cateo 4 presenta material óseo animal diagnóstico en las unidades estratigráficas N. °3, 5 y 6. Este cateo presenta un total de 51 especímenes y 12 individuos.

UE 3

La UE 3 contiene un total de 7 especímenes y 1 individuo correspondientes al taxón *Camelidae*.

UE 5

La UE 5 contiene un total de 26 especímenes y 8 individuos distribuidos en los 3 taxones siguientes: Ave (1 espécimen, 1 individuo), *Camelidae* (24 especímenes, 6 individuos) e Indeterminado (1 espécimen, 1 individuo).

UE 6

La UE 6 contiene un total de 18 especímenes y 3 individuos distribuidos en los 2 taxones siguientes: *Camelidae* (17 especímenes, 2 individuos) y *Cavia porcellus* (1 espécimen, 1 individuo).

Cateo 5

El cateo 5 presenta material óseo animal diagnóstico únicamente en la unidad estratigráfica N. °11. Este cateo presenta un total de 6 especímenes y 1 individuo.

UE 11

La UE 11 contiene un total de 6 especímenes y 1 individuo correspondientes al taxón *Cannis lupus familiaris*.

Cateo 13

El cateo 13 presenta material óseo animal diagnóstico en las unidades estratigráficas N. ° 2, 3, 4 y 7. Este cateo presenta un total de 17 especímenes y 11 individuos.

UE 2

La UE 2 contiene un total de 5 especímenes y 2 individuos distribuidos en los 2 siguientes taxones: *Bovidae* (4 especímenes, 1 individuo) e Indeterminado (1 espécimen, 1 individuo).

UE 3

La UE 3 contiene un total de 3 especímenes y 3 individuos distribuidos en los 3 especímenes siguientes: *Camelidae* (1 espécimen, 1 individuo), *Bovidae* (1 espécimen, 1 individuo) e Indeterminado (1 espécimen, 1 individuo).

UE 4

La UE 4 contiene un total de 5 especímenes y 4 individuos distribuidos en los 4 taxones siguientes: *Camelidae* (2 especímenes, 1 individuo), *Cavia porcellus* (1 espécimen, 1 individuo), *Equus caballus* (1 espécimen, 1 individuo) e Indeterminado (1 espécimen, 1 individuo).

UE 7

La UE 7 contiene un total de 4 especímenes y 2 individuos distribuidos en los 2 siguientes taxones: *Camelidae* (3 especímenes, 1 individuo) e Indeterminado (1 espécimen, 1 individuo).

Taxón	Cateo 01				Cateo 04						Cateo 05		Cateo 13									
	UE 7		UE 8		UE 3		UE 5		UE 6		UE 11		UE 2		UE 3		UE 4		UE 7			
	NSIP	NMI	NSIP	NMI	NSIP	NMI	NSIP	NMI	NSIP	NMI	NSIP	NMI	NSIP	NMI	NSIP	NMI	NSIP	NMI	NSIP	NMI		
<i>Ave</i>							1	1														
<i>Camelidae</i>	1	1			7	1	24	6	17	2					1	1	2	1	3	1		
<i>Bovidae</i>													4	1	1	1						
<i>Canis lupus familiaris</i>											6	1										
<i>Cavia porcellus</i>			1	1					1	1							1	1				
<i>Eqqus caballus</i>																	1	1				
<i>Indeterminado</i>							1	1					1	1	1	1	1	1	1	1		
Total por UE	1	1	1	1	7	1	26	8	18	3	6	1	5	2	3	3	5	4	4	2		
Total por cateo	NSIP: 2		NMI :2		NSIP: 51			NMI: 12			NSIP:6		NMI:1		NSIP: 17				NMI: 11			

Tabla 8: distribución del material óseo animal en la estratigrafía.

8. Conclusiones y recomendaciones

Se pueden resumir de manera general los resultados de los análisis de los materiales arqueológicos cerámico, malacológico y óseo animal de la siguiente manera:

En el sector II de Tambo Inga se ha logrado identificar que el 99.81% de la muestra corresponde a vasijas, mientras solo el 0.19% equivale a artefactos cerámicos. Dentro del grupo de las vasijas se ha determinado la presencia de 10 categorías formales agrupadas en 3 clases. Las vasijas cerradas tienen una representación del 81.58 % y están conformadas por botellas (1.13 %), aríbalos (3.76%), cántaros (10.90 %), ollas (60.53 %) y tinajas (7.52 %). Las vasijas abiertas se presentan en un 15.41 % y están compuestas por cuencos (30.70%) y platos (5.19%). Mientras, las vasijas miniaturas tienen una representatividad del 3.01 % de los segmentos de borde y están compuestas por cántaros miniatura (0.38 %), ollas miniatura (1.13 %) y cuencos miniatura (1.50 %).

El análisis de pastas ha arrojado como resultado la utilización de 9 grupos de pastas para la elaboración de las vasijas cerámicas del sector II de Tambo Inga. El grupo de pasta A, fue utilizado en la manufactura del 5.64 % de la muestra analizable. El grupo de pasta B, es el más abundante con una representación del 44.36 %. El grupo de pasta C, es el segundo más abundante, se presenta en el 17.67 % de la muestra. El grupo de pasta D, se presenta en el 7.89 % de la muestra. El grupo de pasta E, corresponde al 9.02 % de la muestra. El grupo de pasta F, equivale al 3.76 % de la muestra. El grupo de pasta G, representa el 2.63 % de la muestra. El grupo de pasta H corresponde al 7.89 % de la muestra. Finalmente, el grupo de pasta I, es el grupo de pasta menos representado, equivale al 1.13 % de la muestra.

En la muestra analizada se ha identificado un total de 16 técnicas decorativas diferentes entre las cuales se destacan: alto relieve (0.80 %), aplicado (24.10 %), botones (0.80 %), cortado (0.40 %), escisión (0.40 %), grabado (0.80 %), impresión con cañas (1.20 %), impresión con fibras vegetales (0.40 %), impresión con molde (1.61 %), incisión (2.41%), modelado (0.80 %), moldeado escultórico (1.61 %), pintarrajeado (23.69 %), pintura (47.39 %), chorreado (1.20 %) y presión digital interna (0.80 %).

Así mismo, se han identificado un total de 33 motivos decorativos agrupados en dos clases: geométricos y figurativo realistas. Entre los motivos decorativos geométricos se encuentran: almenado (0.40 %), anillo (2.41 %), círculos (5.22 %), óvalos (0.40 %), rectángulos (2.01 %), rollo delgado (0.80 %), triángulos colgantes (2.81 %), línea delgada (6.83 %), líneas delgadas paralelas (12.45 %), líneas zigzagueantes (0.40 %), líneas onduladas (0.40 %), banda de líneas paralelas (0.40 %), banda líneas achuradas (0.40 %), banda de líneas paralelas y en aspa (1.20 %), banda de cuadrados (0.40%), banda de rombos (1.20 %), banda ajedrezada (0.40%), banda de chevrones (0.40%), banda sólida ancha (18.88 %), banda sólida delgada (24.50 %), cruz de malta (0.40%) y no definido (0.40%). Por otro lado, los motivos decorativos de tipo figurativo realistas son: antropomorfo (4.82 %), zoomorfo no determinado (0.80 %), ictiomorfo (0.80 %), malacológico (0.40 %), ornitomorfo (0.80%), serpiente (16.47 %), serpiente con círculos (3.21 %), fitomorfo (1.20 %), helechos (0.80%), trama de cestería (0.40%) y falsa asa (0.40%).

El análisis del material malacológico y carcinológico ha arrojado como resultados un total de 1906 restos y 587 individuos agrupados en 21 taxones, 4 clases y 2 phylum. En el phylum Mollusca los taxones con mayor representatividad estadística son: *Aulacomya ater* (35.26%), *Perumytilus purpuratus* (16.52%), *Crepipatela dilatata* (13.97%), *Choromytilus chorus* (10.90%), *Mesodesma donacium* (9.03%) y *Thais chocolata* (8.69%). Los taxones menos representados son *Semimytilus algosus* (1.36%), *Semele solida* (1.02%), *Concholepas concholepas* (0.85%), *Nassarius gayi* (0.34%), *Oliva peruviana* (0.34%), *Tegula atra* (0.68%), *Tegula euryomphala* (0.34%), *Fisurella cumingi* (0.17%), *Bostryx sp.* (0.17%), familia Mytilidae (0%), bivalvo indeterminado (0%), gasterópodo indeterminado (0%) y familia *Chitonidae* (0%). Mientras, el phylum Crustácea se encuentra representado por el taxón *Balanus sp.* (0.34%).

La distribución del material malacológico y carcinológico en la estratigrafía del sector II de Tambo Inga se desarrolla de la siguiente manera. Los cateos que poseen mayor concentración de material malacológico son los cateo N.º 4, 6 y 10. Dentro de los cuales las UE con mayor presencia de material malacológico son UE 5 (principalmente: *Aulacomya ater*, *Mesodesma donacium* y *Choromytilus chorus*), UE 6 (principalmente *Aulacomya ater*) y UE 9 (principalmente *Aulacomya ater*) del cateo 4, UE 3 (principalmente *Aulacomya ater* y *Choromytilus chorus*) del cateo 6 y las UE 8 (principalmente *Perumytilus purpuratus*) y UE 9 (principalmente *Aulacomya ater*) del cateo 10.

El análisis del material óseo animal ha emitido como resultados un total de 76 especímenes y 16 individuos distribuidos en un total de 7 taxones y 2 clases. La clase Mammalia representa el 96.15% y se encuentra conformada por la familia *Camelidae* (50%), *Cavia porcellus* (11%), *Bovidae* (7.69%), *Canis lupus familiaris* (3.85%) y *Equus caballus* (3.85%). Por otro lado, las aves representan solo el 3.85% del total. Adicionalmente, es importante recalcar que la procedencia de los taxones de origen hispano- *Bovidae* y *Equus caballus*- consiste en unidades estratigráficas superficiales principalmente (UE 2, 3 y 4), en las cuales también se encontró evidencias de especímenes de camélidos.

La distribución del material óseo animal en la estratigrafía del sector II de Tambo Inga se desenvuelve de la siguiente manera. Los cateos con mayor concentración de material óseo animal son los cateos N.º 4 y 13. Dentro de los cuales las UE con mayor frecuencia de material óseo animal son la UE 5 (principalmente *Camelidae*) y UE 6 (principalmente *Camelidae*) del cateo 4 y la UE 4 (principalmente *Camelidae*) del cateo 13.

Con estos resultados podemos responder las preguntas de investigación previamente planteadas.

Pregunta secundaria 1:

¿Cuáles fueron las funciones y las frecuencias de los materiales arqueológicos de tipo cerámico recuperados de los cateos 1, 2, 3, 4, 5, 6, 7, 8, 9, 10, 12, 13 y 14 del sector II de Tambo Inga?

Respuesta 1:

De acuerdo con Rice (1987) las vasijas cerámicas poseen 3 tipos de funciones principalmente: manipulación (distintas formas de cocción y preparación de alimentos), almacenamiento y traslado (servicio y transporte) (Citado en: Orton, Tyers, & Vince, 1997, pág. 246). Vale mencionar que las vasijas pueden cumplir más de una función a la vez. Tomando en cuenta los resultados anteriormente esbozados, se define que el 60.53% de las vasijas del sector II de Tambo Inga desempeñaron funciones ligadas a la manipulación de alimentos, específicamente las ollas cumplieron la función de preparación de alimentos; el 23.31 % de las vasijas cumplen con las categorías funcionales de almacenamiento y traslado, entre estas se encuentran el 14.66 % (cántaros y aríbalos) que permitieron contener, almacenar, preservar y transportar líquidos y sólidos, más no consumirlos directamente, el 7.52 % (tinajas) cuya función principal es almacenar líquidos y sólidos y el 1.13 % (botellas) cuya función es la de contener y servir líquidos. Así mismo, el 13.16 % de la muestra cumplió funciones ligadas al traslado únicamente, específicamente los cuencos y platos cumplieron las funciones de servicio de alimentos. Finalmente, el 3.01 % (vasijas miniatura) del total de los segmentos de borde que componen la muestra cumplieron la función de ofrendas.

Pregunta secundaria 2:

¿Cuál es la filiación cultural de los materiales arqueológicos de tipo cerámico identificados en los cateos 1, 2, 3, 4, 5, 6, 7, 8, 9, 10, 12, 13 y 14 del sector II de Tambo Inga?

Respuesta 2:

De acuerdo con el análisis de patrón decorativo y morfológico funcional se ha podido identificar que la cerámica procedente del sector II de Tambo Inga corresponde principalmente a los estilos Ychsma Tardío e Inca regional.

La presencia de aríbalos (categorías formales propias del estilo Inca, pero con adecuaciones locales) con una representación del 3.76 %, las botellas de cuello largo, angosto y de labio evertido (botella tipo 1 y 2) equivalentes al 1.13 % de la muestra y los platos con patrones decorativos Inca con una representación del 2.63 % de la muestra total. Al igual que, la presencia de motivos decorativos como los rectángulos (2.01 %), triángulos colgantes (2.81 %), banda de líneas paralelas (0.40 %), banda de líneas paralelas y en aspa (1.20 %), banda de cuadrados (0.40 %), banda de chevrones (0.40 %), banda ajedrezada (0.40 %), cruz de malta (0.40 %), ornitomorfos (0.80 %), helechos (0.80%) y falsa asa (0.40%) demuestran una presencia reducida del estilo Inca regional en la muestra analizada.

Por otro lado, la amplia abundancia de ollas sin cuello (17.29 %) propia del Ychsma Tardío B. Así como, la gran frecuencia de motivos decorativos como serpientes aplicadas (19.68 %) propias del Ychsma Tardío A y B, el uso de bandas sólidas anchas pintadas en desorden (18.88 %) presentes desde la fase Ychsma Medio A hasta Ychsma Tardío B y el uso de técnicas decorativas como la impresión con cañas (1.20 %) presente desde el Ychsma Medio B al Ychsma Tardío B y la aplicación de la pintura en desorden (23.69%) presente desde Ychsma Medio A hasta el Ychsma Tardío B permiten definir la predominancia del estilo Ychsma Tardío en la muestra analizada.

Pregunta secundaria 3:

¿Qué cronología relativa representa el material cerámico identificado en los cateos 1, 2, 3, 4, 5, 6, 7, 8, 9, 10, 12, 13 y 14 del sector II de Tambo Inga?

Respuesta 3:

Una vez definida la presencia de los estilos Inca regional e Ychsma Tardío se ha podido determinar que la cronología relativa del material cerámico del sector II de Tambo Inga corresponde al Horizonte Tardío.

Pregunta secundaria 4:

¿Cuáles fueron los taxones de origen malacológico y óseo animal consumidos y recuperados de los cateos 1, 2, 3, 4, 5, 6, 7, 8, 9, 10, 12, 13 y 14 del sector II de Tambo Inga y la frecuencia de estos?

Respuesta 4:

De acuerdo con el análisis del material malacológico y carcinológico, los taxones consumidos en el sector II de Tambo Inga fueron: en el phylum Mollusca los más representados fueron *Aulacomya ater* (35.26%), *Perumitilus purpuratus* (16.52%), *Crepipatela dilatata* (13.97%), *Choromytilus chorus* (10.90%), *Mesodesma donacium* (9.03%) y *Thais chocolata* (8.69%). Los taxones menos representados fueron *Semimytilus algosus* (1.36%), *Semele solida* (1.02%), *Concholepas concholepas* (0.85%), *Nassarius gayi* (0.34%), *Oliva peruviana* (0.34%), *Tegula atra* (0.68%), *Tegula euryomphala* (0.34%), *Fisurella cumingi* (0.17%), *Bostryx sp.* (0.17%), familia *Mytilidae* (0%), bivalvo indeterminado (0%), gasterópodo indeterminado (0%) y familia *Chitonidae* (0%). Mientras, el phylum Crustácea estuvo representado por el taxón *Balanus sp.* (0.34%). De estos se destacan las especies como *Aulacomya ater*, *Mesodesma donacium* y *Choromytilus chorus* por su alto contenido cárnico y su alto nivel de representatividad en la muestra.

De acuerdo con el análisis del material óseo animal, los taxones identificados en el sector II de Tambo Inga fueron *Camelidae* (50%), mamífero indeterminado (19.23%), *Cavia porcellus* (11.54%), *Bovidae* (7.69%), *Cannis lupus familiaris* (3.85%) y *Eqqus caballus* (3.85%). De los cuales fueron consumidos la familia *Camelidae* y la especie *Cavia porcellus*, siendo el taxón más representado y el que ofrece el mayor contenido cárnico la familia *Camelidae*. Además, vale mencionar que la presencia de especies de origen hispano en la muestra analizada responde a los contextos de procedencia de estos, los cuales hacen referencia a unidades estratigráficas superficiales (UE 2, 3 y 4) que se asocian a cerámica vidriada no diagnóstica de probable origen Post Inca, pero también a restos de camélidos.

Pregunta principal:

¿Qué tipo de actividades sociales fueron desempeñadas en el sector II del Sitio Arqueológico Tambo Inga en el valle bajo del río Chillón durante el Horizonte Tardío bajo la influencia Inca?

En el sector II de Tambo Inga, durante el Horizonte Tardío, se realizaron actividades de descarte de alimentos y de vasijas dedicadas a la preparación y servicio, a mediana escala, concentrándose principalmente en alimentos de procedencia marina (malacológico) y terrestre (óseo animal).

Además, durante la época Post Inca en el sector II de Tambo Inga, se ha evidenciado el descarte de especímenes de la familia Bovidae y *Equus caballus*, de forma muy reducida y en asociación con restos de camélidos y fragmentos de cerámica vidriada no diagnóstica.

La contrastación de la hipótesis previamente establecida se desarrolla de la siguiente manera:

Hipótesis principal:

En el valle bajo del río Chillón, en el sector II del Sitio Arqueológico Tambo Inga, durante el Horizonte Tardío y bajo la influencia Inca se desarrollaron festines.

De acuerdo con los resultados de este proyecto de investigación se concluye que la hipótesis planteada sí puede ser verificada con los datos disponibles. De tal manera que se ha identificado que la actividad social que originó las acumulaciones de material arqueológico en el sector II de Tambo Inga, consistió en la organización de un evento de festín de escala mediana (50 participantes), durante el Horizonte Tardío y bajo la influencia Inca. En este evento se preparó y consumió principalmente carne de camélido complementando con recursos malacológicos de alto contenido cárnico como son *Aulacomya ater*, *Choromytilus chorus*, *Mesodesma donacium* y *Thais Chokolata*, así como también especies de bajo contenido cárnico preparadas en caldos como es el *Perumytilus purpuratus*; y se bebió chicha. Además, los participantes de este evento presentaron una filiación cultural relacionada con los grupos locales del valle bajo del río Chillón, pero han sido influenciados indirectamente por los Incas.

9. Inventario de bienes muebles analizados

El material analizado ha seguido el inventariado previamente establecido por el PIA Tambo Inga 2017 y por la modificación posteriormente realizada por el Área de Manejo de Colecciones del Ministerio de Cultura, la cual consistió en la reorganización de los materiales contenidos originalmente en 69 cajas a 45 cajas sin alterar la numeración de las bolsas. De tal manera que en este inventario se han considerado los siguientes ítems: datos de procedencia (número de bolsa, número de caja, sector, cateo, unidad estratigráfica, iniciales del registrador y técnica de recolección), tipo de material, peso y breve descripción.

El material analizado se encuentra organizado en un total de 188 bolsas y 15 cajas (N. °1 al 8, 10 al 12, 26, 38, 39 y 45) como lo indica el siguiente cuadro:

Material	Cajas	Cantidad de bolsas
Cerámica	10 (N. ° 1-8, 10 y N. °45)	110
Malacológico	4 (N. °11,12, 38, 39)	55
Óseo animal	1 (N. °26)	23
Total	15	188

Tabla 9: distribución del material arqueológico analizado.

El inventario de forma detallada puede ser encontrado en la sección de anexos (páginas 131-149).

10. Plan de difusión de la investigación

El plan de difusión de la investigación contempla la presentación de los resultados totales o parciales en distintas conferencias, simposios y congresos especializados. Entre estos se distinguen la presentación en el VII Congreso Nacional de Arqueología del Perú a realizarse el 21 de octubre del 2020 en Lima, el IX Congreso Nacional de Historia a realizarse el 6 de noviembre del 2020 en Lima, el I Coloquio Interuniversitario de Estudiantes de Arqueología a realizarse del 19 al 21 de noviembre en Lima, el XXVIII Congreso Nacional de Estudiantes de Arqueología a realizarse durante el 2021 en Amazonas. Además, vale recalcar que el 17 de setiembre del año 2019 se realizó la presentación de los resultados parciales del análisis del material malacológico bajo el título “Aprovechamiento de los recursos malacológicos marinos en el sector II del Sitio Arqueológico Tambo Inga, durante el Horizonte Tardío” en el XXVII Congreso Nacional de Estudiantes de Arqueología, realizado en Lima

De la misma manera, se tiene proyectado realizar una charla de difusión de las investigaciones realizadas dirigida a los grupos de interés (vecinos, autoridades, etc.) aledaños al sitio arqueológico Tambo Inga.

Además, los resultados de la presente investigación serán materia prima para la elaboración y sustentación de la tesis “¿Festines o consumo doméstico?: una aproximación hacia las actividades sociales realizadas en el sector II de Tambo Inga, durante el Horizonte Tardío, bajo la influencia Inca”, la cual se plantea publicar a modo de artículo científico en una revista indexada bajo la modalidad de coautoría entre la Dra. Luisa Díaz y la Bach. Marcia Orrego.

Finalmente, las instituciones que tendrán acceso a ejemplares del presente informe final y de las publicaciones que se deriven de este serán: Ministerio de Cultura del Perú, Universidad Nacional Mayor de San Marcos y Municipalidad de Puente Piedra.

11. Bibliografía

- Agurto, S. (1984). Lima prehispánica. Lima, Perú: Municipalidad de Lima.
- Álamo, V., & Valdivieso, V. (1997). Lista sistemática de moluscos marinos del Perú (Segunda ed.). Callao, Perú: Instituto del Mar del Perú.
- Altamirano, A. (1983). Guía osteológica de cérvidos andinos. Serie de investigaciones N°6, 1-42.
- Ayala, G. (2008). El Sitio Arqueológico Cerro Respiro: un caso de residencia de élite Inca en el valle bajo del Chillón. Tesis de licenciatura, Universidad Nacional Federico Villarreal, Lima.
- Bejega, V. (2009). Arqueomalacología: metodología de análisis. Trabajo de curso, Universidad de León, Departamento de Historia, León.
- Díaz, L. (2017). Informe final Proyecto de Investigación Arqueológica con Fines de Diagnóstico Tambo Inga, Puente Piedra, Lima. Lima.
- Dillehay, T. (1977). Tawantinsuyu Integration of the Chillon Valley, Peru: A case of Inca Geo-Political Mastery. *Journal of Field Archaeology*, 4(4), 397-405.
- Druc, I., & Chavez, L. (2014). Pastas cerámicas en lupa digital: componentes, textura y tecnología. Blue Mounds: Deep University Press.
- Engel, F. (1987). De las begonias al maíz. Vida y producción en el antiguo Perú. Lima: Universidad Nacional Agraria La Molina.
- Galotta, O. (1988). Osteología de la llama (Llama glama). *Revista de Ciencias Agrarias y Tecnología de Alimentos* (9), 19-61.
- Guzmán, N., Saá, S., & Ortlieb, L. (1998). Catálogo descriptivo de los moluscos litorales (Gastrópoda y Pelecypoda) de la zona de Antofagasta, 23°S (Chile). *Estudios oceanológicos* (17), 17-86.
- Instituto del Mar del Perú. (2015). Guía de campo ilustrada para reconocimiento de especies de moluscos bivalvos con valor comercial. Callao: Instituto del Mar del Perú.
- Ludeña, H. (1975). Secuencia cronológica y cultural del valle bajo del Chillón. Tesis doctoral, Universidad Nacional Mayor de San Marcos, Lima.
- Manrique, E. (2001). Guía para un estudio y tratamiento de cerámica precolombina. Lima, Perú: CONCYTEC.
- Ministerio de Cultura. (2018). Acta de Recepción N°005-2018-MACO-MD-DGM/MC. Lima.
- Orton, C., Tyers, P., & Vince, A. (1997). La cerámica en arqueología. (R. Barceló, & J. Barceló, Trads.) Barcelona: CRÍTICA.
- Pacheco, V., Altamirano, A., & Guerra, E. (1979). Guía osteológica de camélidos sudamericanos. Serie de investigaciones N.º 4, 1-40.

Pasquel, A. (2017). Morfología descriptiva del esqueleto de cuy (*Cavia porcellus*)-Provincia de Cajamarca-2014. Tesis para optar el Título Profesional de Médico Veterinario, Universidad Nacional de Cajamarca, Escuela Académico Profesional de Medicina Veterinaria, Cajamarca.

Ravines, R. (2011). Índice enciclopédico. Boletín de Lima, XXXIV (163-166), 105-432.

Rowe, J. (1944). An introduction to the archaeology of Cuzco. Papers of the Peabody Museum, XXVII (2).

Sato, A., & Angulo, J. (sf). Atlas de osteología de la alpaca (*Vicugna pacos*). Lima: Universidad Nacional Mayor de San Marcos.

Silva, J. (1991). Patrones de poblamiento en el valle del río Chillón. Lima: FOMCIENCIAS.

Silva, J. (1996). Prehistoric Settlement Patterns in the Chillón River Valley. Tesis doctoral, Universidad de Michigan.

Tello, J. (1999). Cuadernos de investigación del archivo Tello N.º 1: arqueología del valle de Lima. Lima: Museo de Arqueología y Antropología de la Universidad Nacional Mayor de San Marcos.

Vaca de Castro, C. (1909 [1543]). Ordenanzas de tambos. Distancias de unos a otros, modos de cargar los indios y obligaciones de las justicias hechas en la ciudad del Cuzco en 31 de mayo de 1543. Revista Histórica, Tomo III (Trimestre IV), 427- 492.

Vallejo, F. (2004). El estilo Yschma: características generales, secuencia y distribución geográfica. Boletín del Instituto de Estudios Andinos, 33(3), 595-642.

Villar, P. (1982). Arqueología del departamento de Lima (Segunda ed.). Lima, Perú: Ediciones Atusparia.

Zuñiga, O. (2002). Macrofauna y algas marinas. Guía de biodiversidad N.º 1, 1-43.

12. Archivo fotográfico

12.1 Fotografías del proceso de análisis



Fig. 1: Instalaciones del Área de Manejo de Colecciones del Ministerio de Cultura del Perú.



Fig. 2: limpieza mecánica del material malacológico.



Fig. 3: análisis de material óseo animal.



Fig. 4: entrega del material analizado.

12.2 Fotografías del material analizado

12.2.1 Material cerámico



Fig. 5: fragmento de borde correspondiente a olla sin cuello y con decoración de serpiente. Con código 21-2.



Fig. 6: fragmento de borde correspondiente a olla sin cuello y con decoración de serpiente. Presenta código de identificación 21-4.



Fig. 7: fragmento de cuerpo decorado con motivo de cruz de malta. Presenta código 39-127.



Fig. 8: fragmento de cuerpo decorado correspondiente a un posible cántaro cara-gollete. Presenta código 34-10.



Fig. 9: fragmento de cuerpo decorado con motivo de bandas sólidas anchas. Presenta código 30-433.



Fig. 10: fragmento de borde correspondiente a olla sin cuello, con motivo decorativo de serpiente aplicada con círculos y con código 45-21.



Fig. 11: fragmento de cuerpo decorado con motivo antropomorfo y código 44-19.



Fig. 12: fragmento de borde correspondiente a olla con motivo decorativo fitomorfo y con código 50-32.



Fig.13: fragmento de borde correspondiente a una botella con código 50-47.



Fig.14: fragmento de figurina con representación antropomorfa y código 59-17.



Fig. 15: mango escultórico con motivo de serpiente y con código 95-20.

12.2.2 Material malacológico

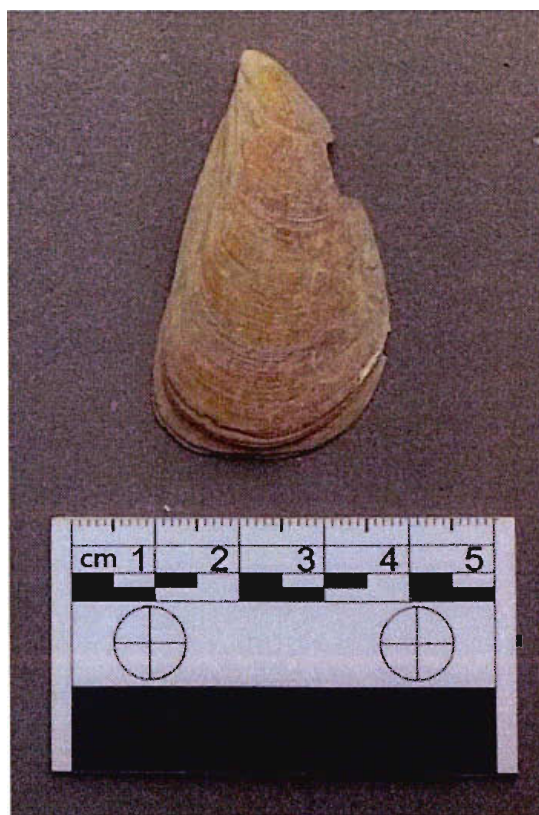


Fig. 16: valva completa de *Aulacomya ater*.



Fig. 17: fragmentos de *Argopectem purpuratus*



Fig.18: valvas completas de *Choromytilus chorus*.



Fig.19: valvas completas de *Semele solida*.



Fig. 20: valva completa de *Mesodesma donacium*.



Fig. 21: valvas completas de *Semimytilus algosus*.



Fig. 22: valvas completas de *Perumytilus purpuratus*.

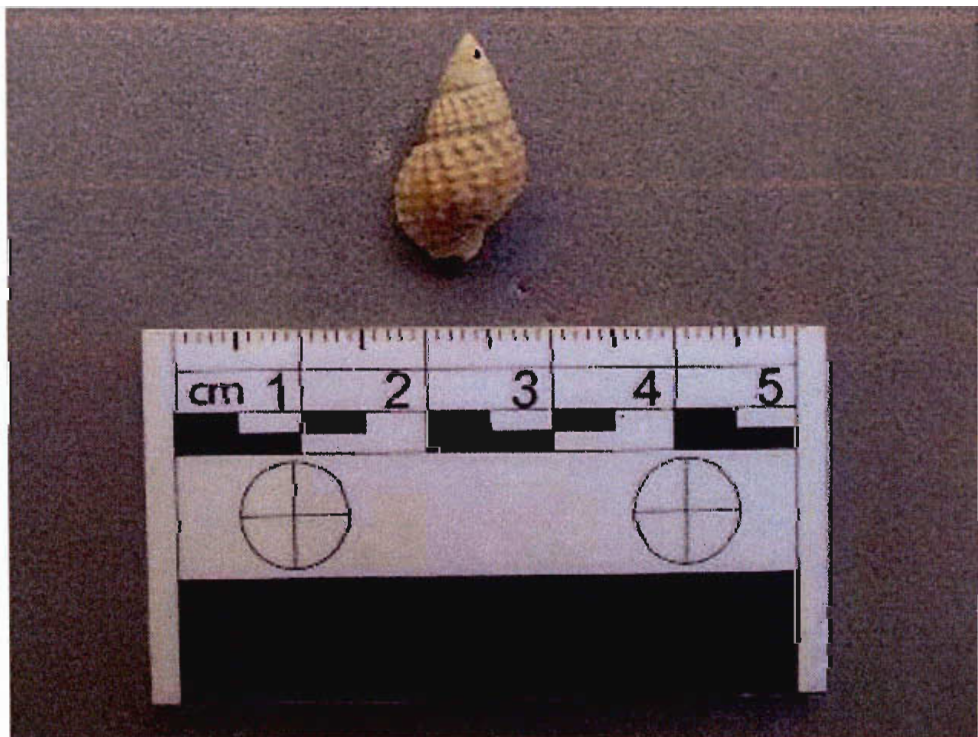


Fig. 23: individuo completo de *Nassarius gayi*. 23



Fig.24: individuo completo de *Concholepas concholepas*.



Fig. 25: individuos completos de *Crepidatella dilatata*.



Fig. 26: fragmentos de *Balamus sp.*



Fig. 27: individuos completos de *Thais chocolata*.



Fig. 28: individuo completo de *Tegula atra*.



Fig. 29: individuo completo de *Fisurella cumingi*.



Fig. 30: individuo completo de *Tegula euryomphala*.



Fig. 31: placa de *Chitonidae*.



Fig 32: individuo completo de Bostryx sp.

12.2.3 Material óseo animal



Fig. 33: palatino superior de Camelidae.



Fig. 34: axis de Camelidae.



Fig. 35: falange proximal de Camelidae.



Fig.36: mandibula izquierda de Bovidae.



Fig. 37: fémur izquierdo de *Cavia porcellus*.

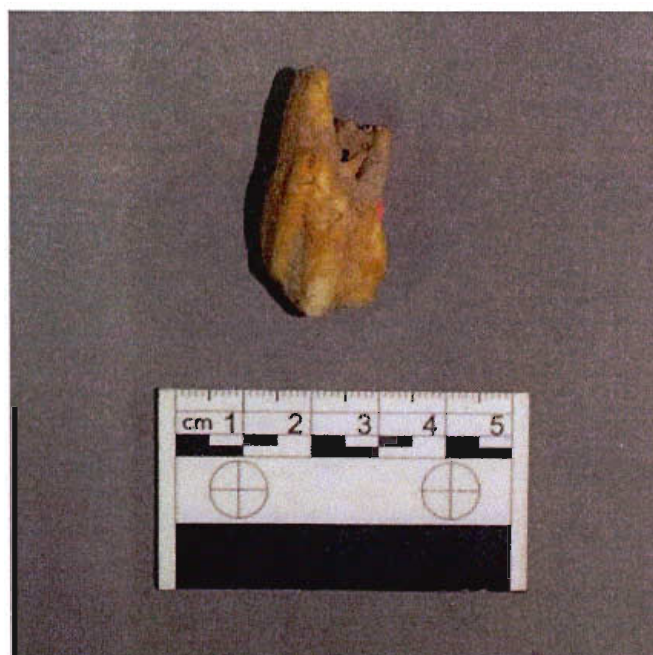


Fig. 38: diente de *Equus caballus*.

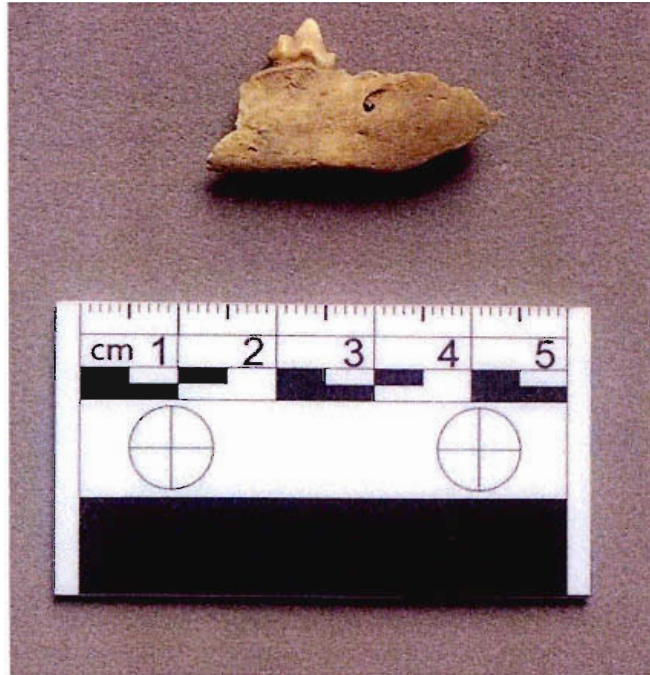


Fig. 39: mandíbula de *Cannis lupus familiaris*.



Fig. 40: radio-cúbito de ave.

Anexos

Tipología morfológica

Grupos de pasta

Técnicas decorativas

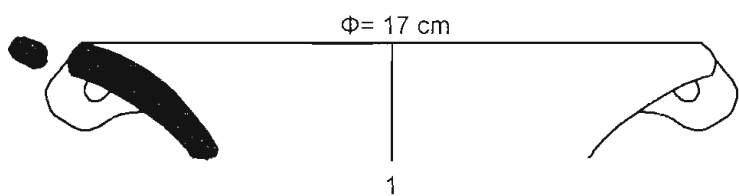
Motivos decorativos

Perfiles estratigráficos

Inventario

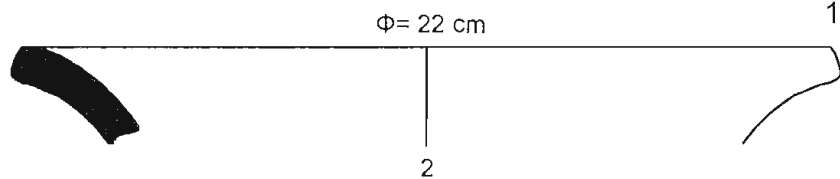
Aríbalos

Aríbalo 1



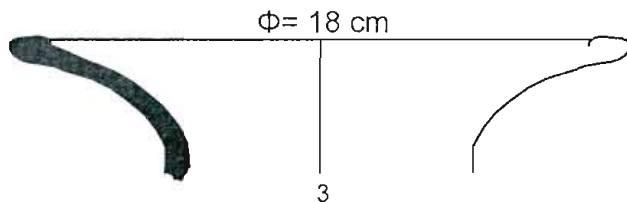
109-541

Aríbalo 1a



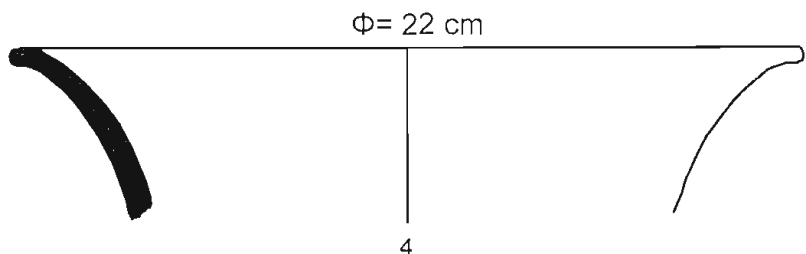
109-537

Aríbalo 2



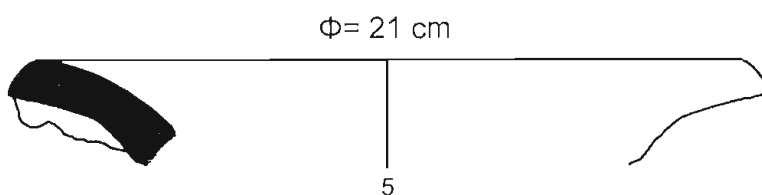
98-515

Aríbalo 3



32-203

Aríbalo 3a



23-427

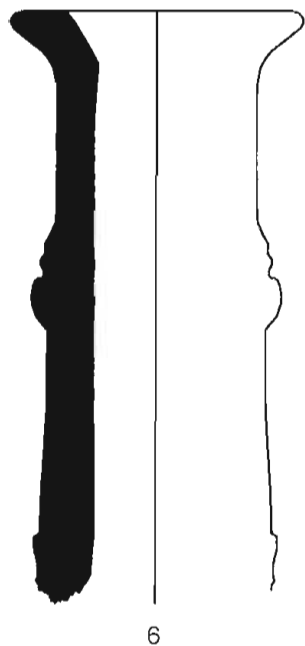
93

1:2



Botella 1

$\Phi = 4 \text{ cm}$



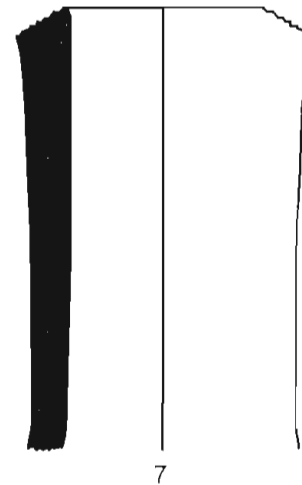
Botellas

34-11

Botella 2

$\Phi = 4 \text{ cm}$

64-324



94

1:1

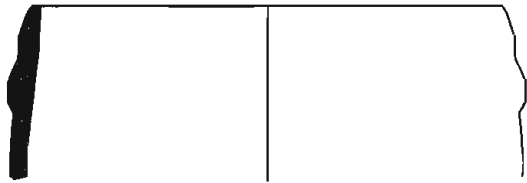


Cántaros (1)

Cántaro 1

$\Phi = 13 \text{ cm}$

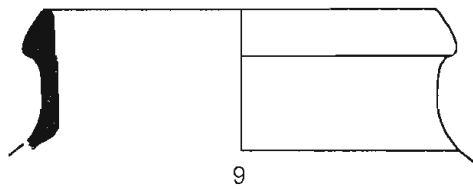
31-276



Cántaro 1a

$\Phi = 11 \text{ cm}$

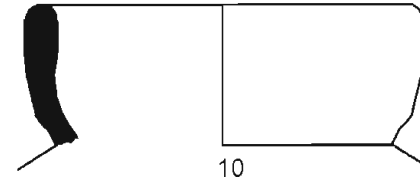
47-58



Cántaro 2

$\Phi = 11 \text{ cm}$

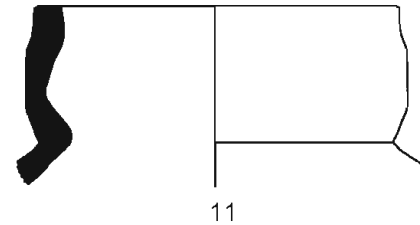
24-39



Cántaro 2a

$\Phi = 10 \text{ cm}$

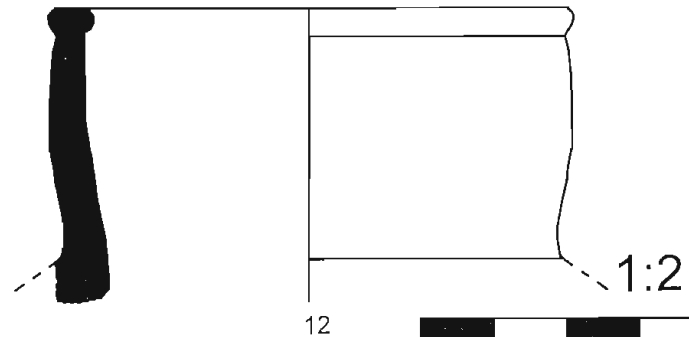
109-538



Cántaro 2b

$\Phi = 14 \text{ cm}$

24-40



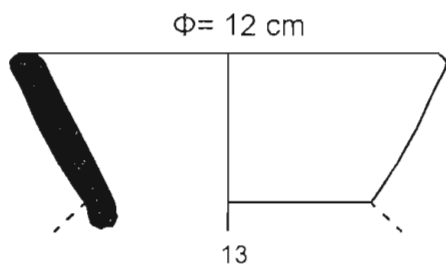
95

0

10cm

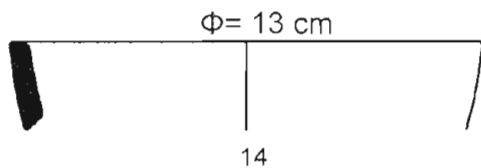
Cántaros (2)

Cántaro 3



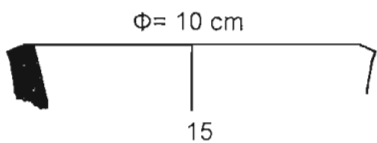
23-334

Cántaro 3a



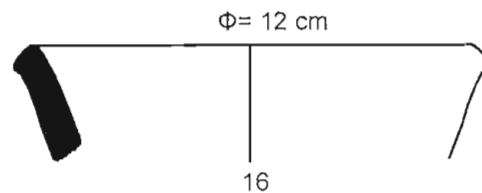
33-490

Cántaro 3b



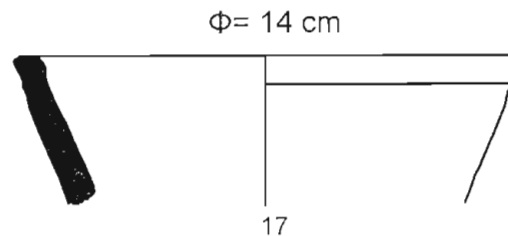
111-547

Cántaro 3c



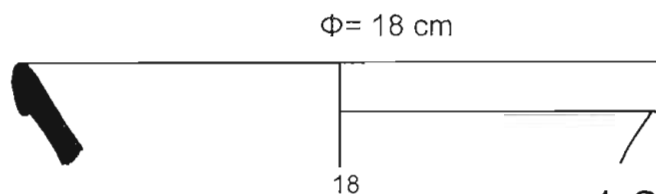
99-417

Cántaro 3d



48-55

Cántaro 3e



43-390

96

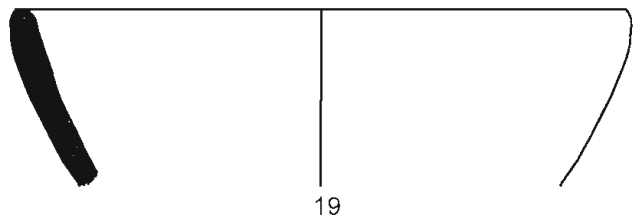


Cántaros (3)

Cántaro 4

$\Phi = 17$ cm

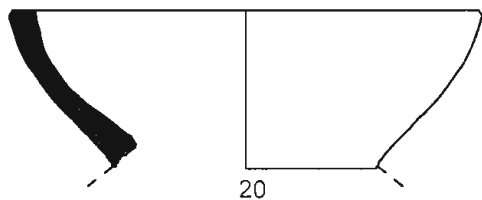
41-371



Cántaro 4a

$\Phi = 13$ cm

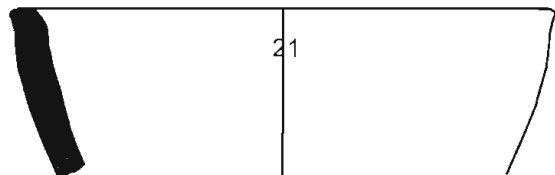
32-181



Cántaro 4b

$\Phi = 15$ cm

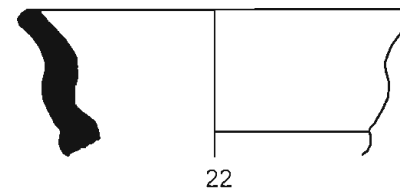
5-374



Cántaro 4c

$\Phi = 11$ cm

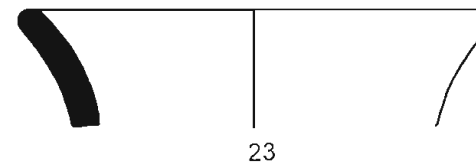
8-151



Cántaro 5

$\Phi = 13$ cm

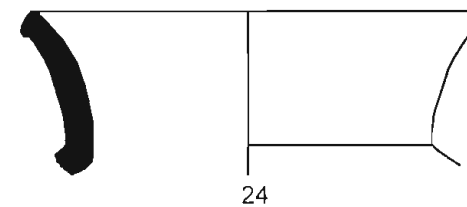
99-414



Cántaro 5a

$\Phi = 20$ cm

67-143



1:2

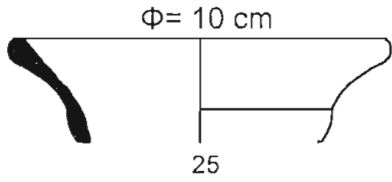
24



97

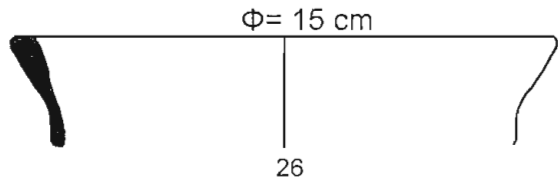
Cántaros (4)

Cántaro 5b



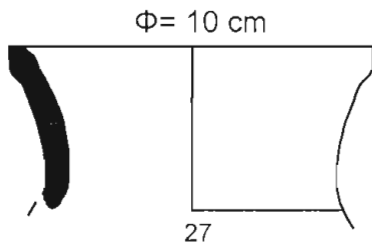
96-446

Cántaro 5c



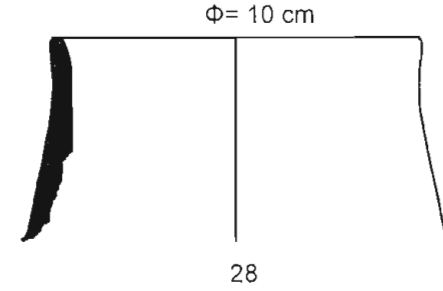
43-385

Cántaro 5d



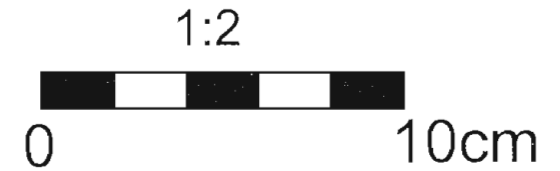
20-101

Cántaro 6



70-265

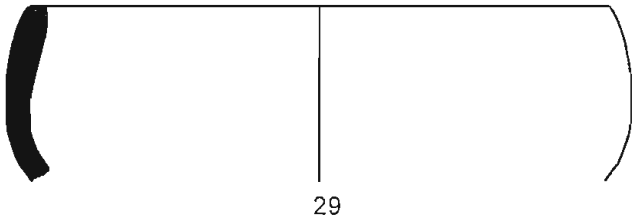
98



Ollas (1)

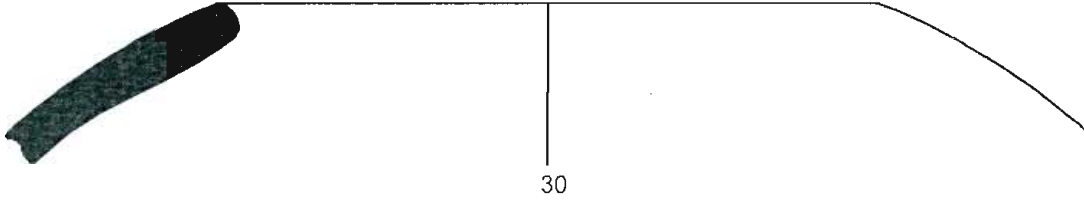
Olla 1

$\Phi = 16 \text{ cm}$



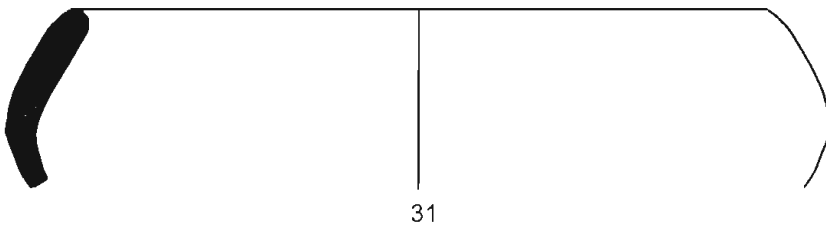
Olla 1a

$\Phi = 18 \text{ cm}$



Olla 1b

$\Phi = 19 \text{ cm}$

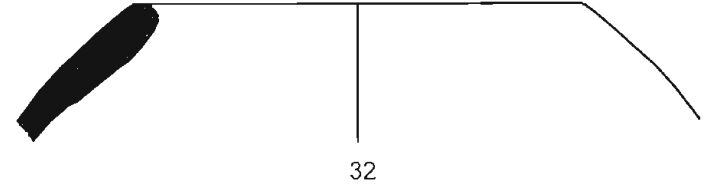


Olla 2

$\Phi = 12 \text{ cm}$

54-307

57-381

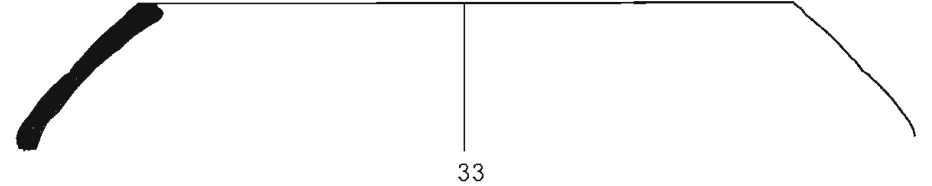


Olla 2a

$\Phi = 18 \text{ cm}$

54-306

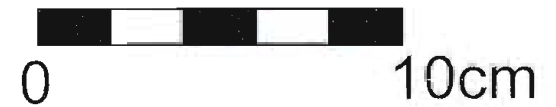
43-391



49-311

99

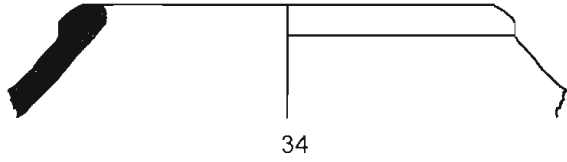
1:2



Ollas (2)

Olla 3

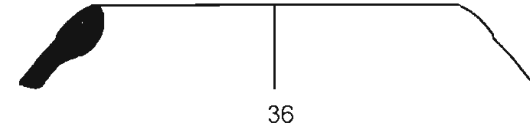
$\Phi = 12$ cm



59-18

Olla 4

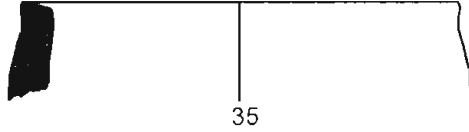
$\Phi = 10$ cm



47-64

Olla 3a

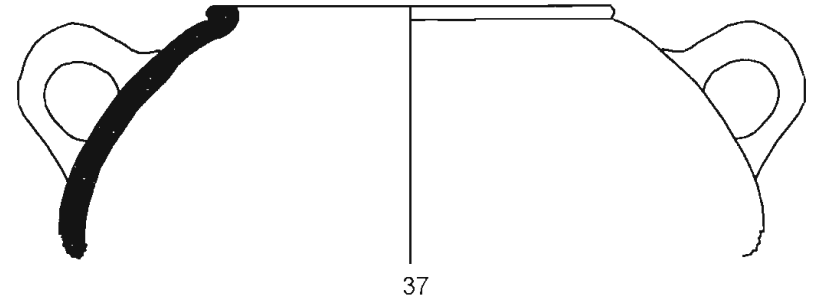
$\Phi = 12$ cm



29-286

Olla 4a

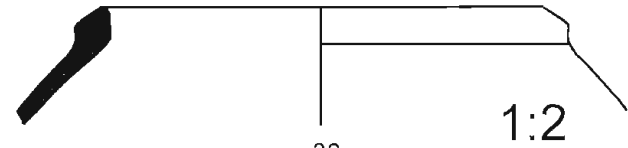
$\Phi = 11$ cm



21-2

Olla 4b

$\Phi = 12$ cm



38

1:2

0

10cm

100

Olla 4c

Φ= 18 cm



39

Olla 4d

Φ= 21 cm



40

Olla 5

Φ= 18 cm



41

Ollas (3)

74-188

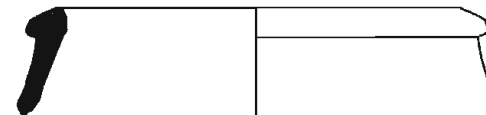
18-88

71-353

101

Olla 6

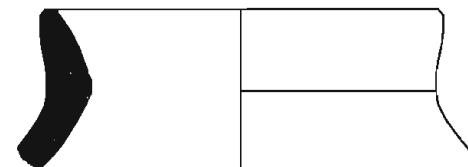
Φ= 11 cm



42

Olla 7

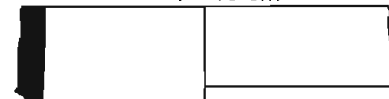
Φ= 11 cm



43

Olla 7a

Φ= 10 cm



44

48-115

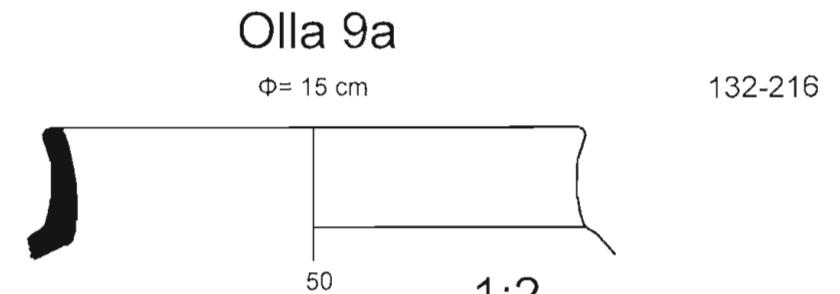
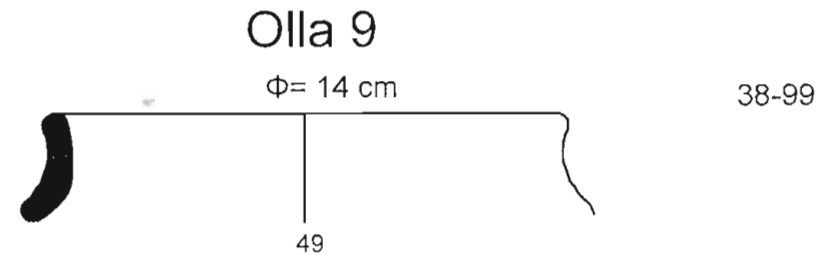
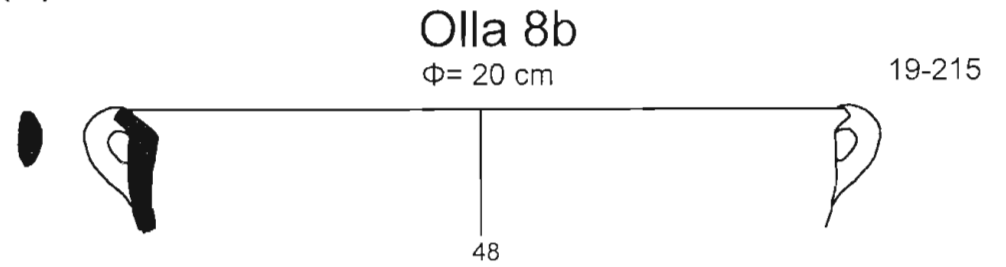
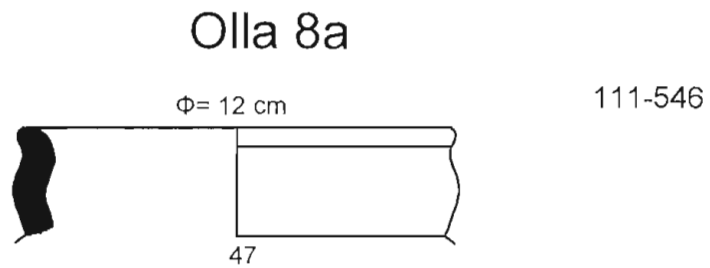
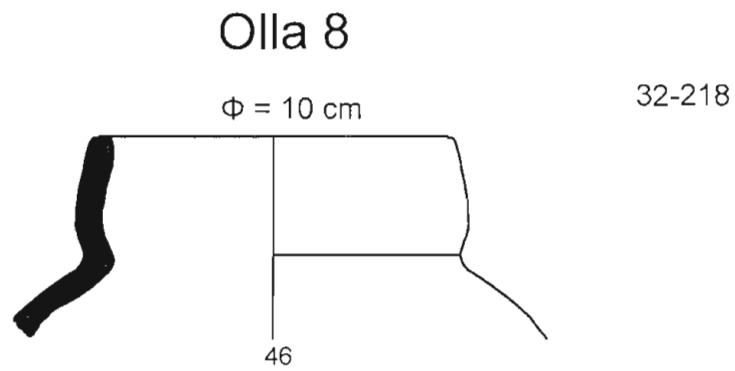
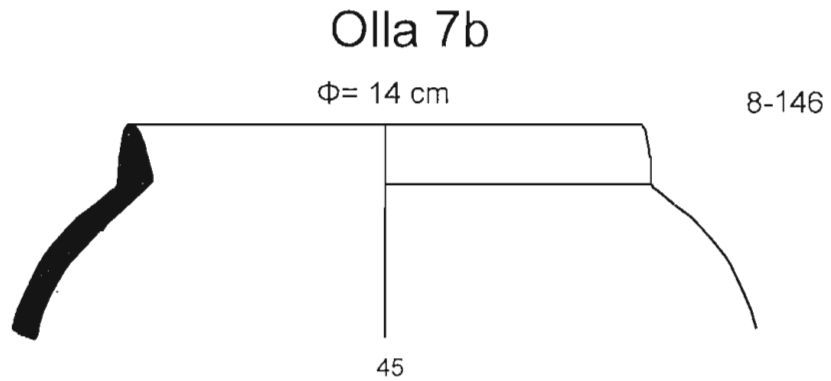
8-157

70-267

1:2

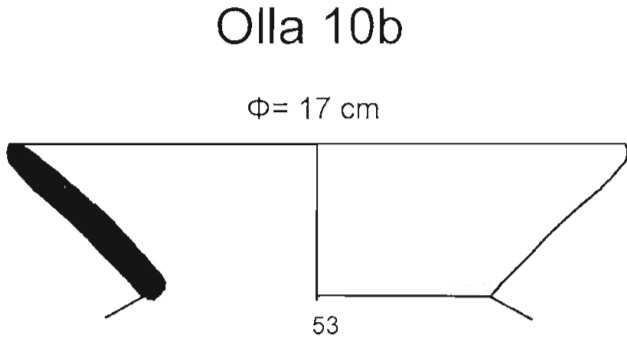
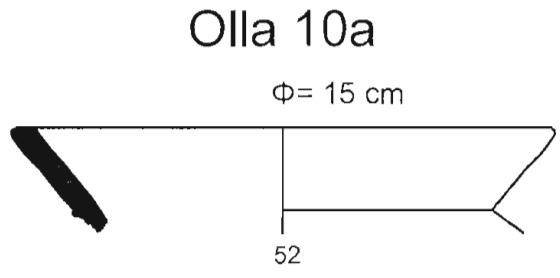
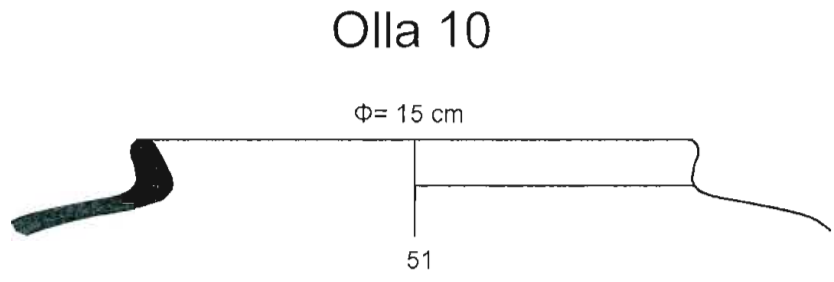


Ollas (4)



102





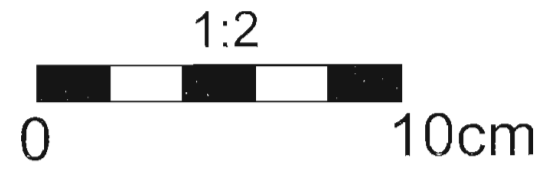
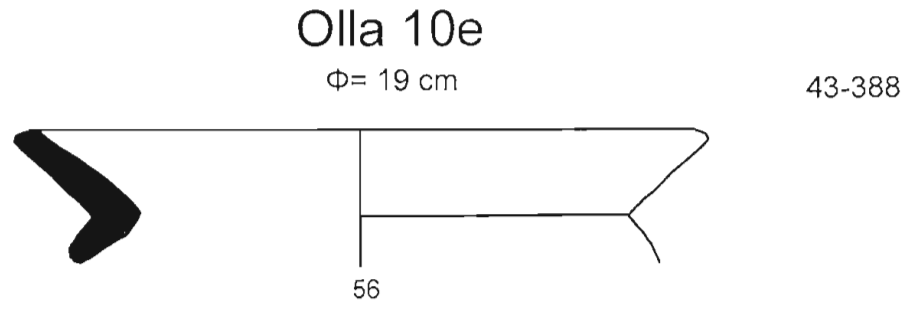
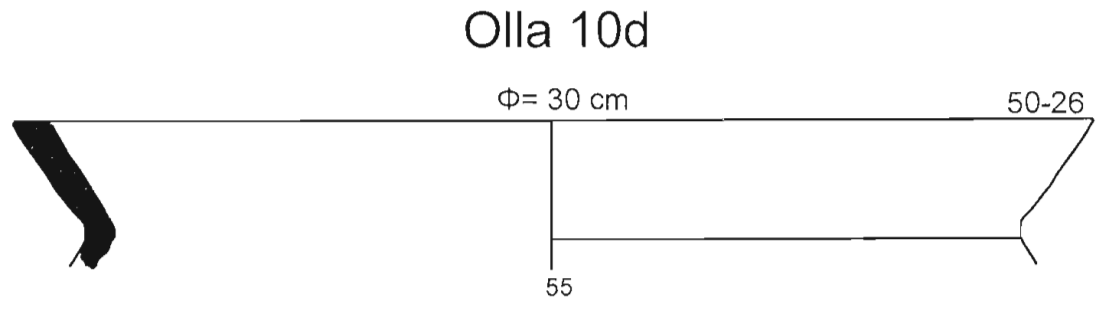
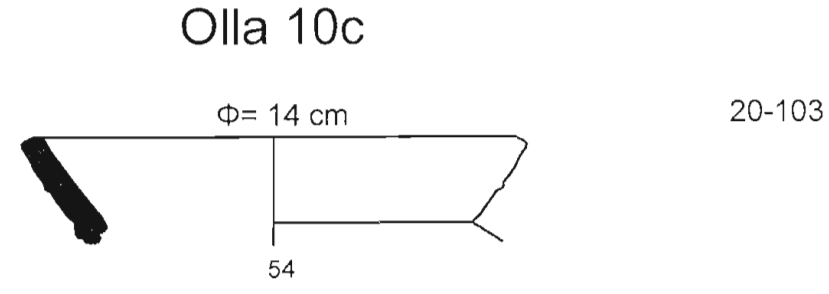
Ollas (5)

103-6

33-498

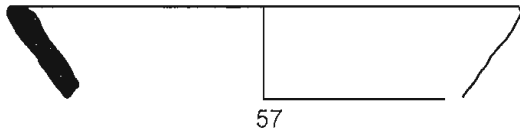
32-300

103



Olla 10f

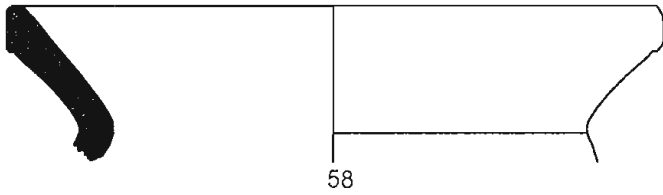
Φ= 14 cm



33-478

Olla 10g

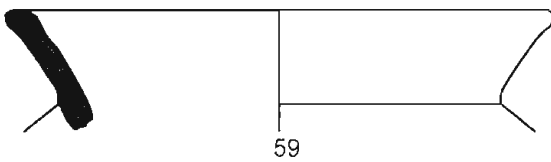
Φ= 18 cm



74-186

Olla 10h

Φ= 15 cm

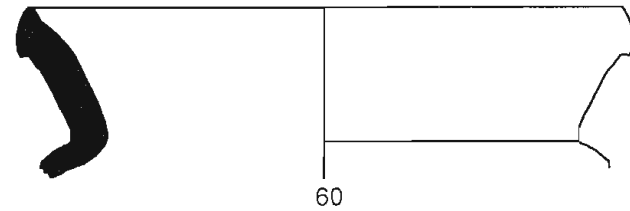


18-81

Ollas (6)

Olla 10i

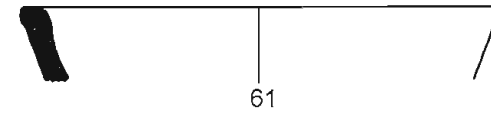
Φ= 17 cm



18-83

Olla 10j

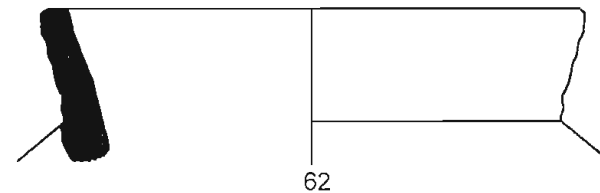
Φ= 13 cm



30-438

Olla 10k

Φ= 15 cm



19-212

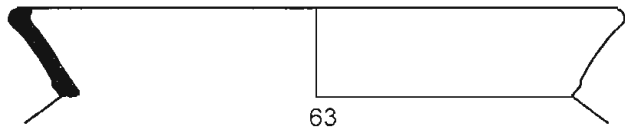
1:2



Olla 10l

Φ= 17 cm

18-86

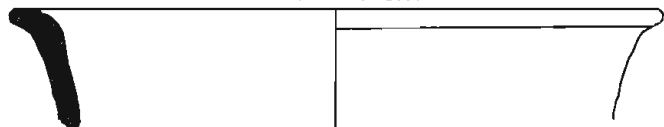


63

Olla 10m

Φ= 18 cm

47-60

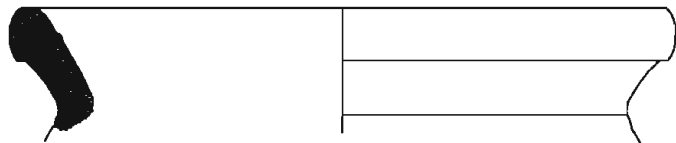


64

Olla 10n

Φ= 18 cm

58-294



65

Ollas (7)

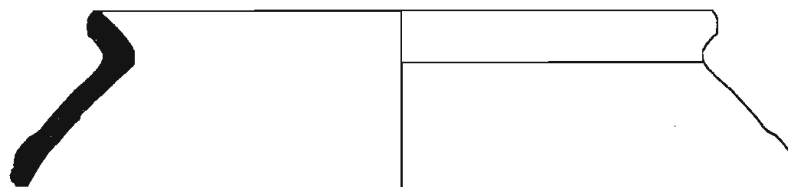


105

Olla 10o

Φ= 17 cm

50-27

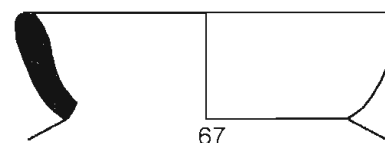


66

Olla 11

Φ= 10 cm

46-362

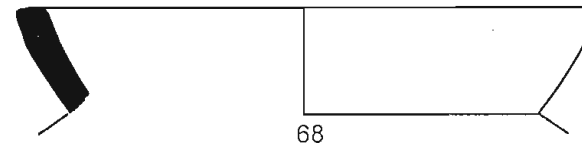


67

Olla 11a

Φ= 16 cm

20-106



68

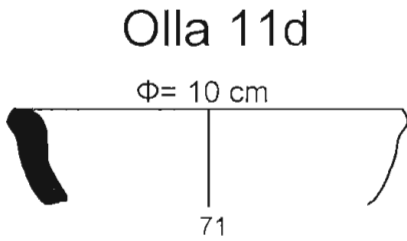
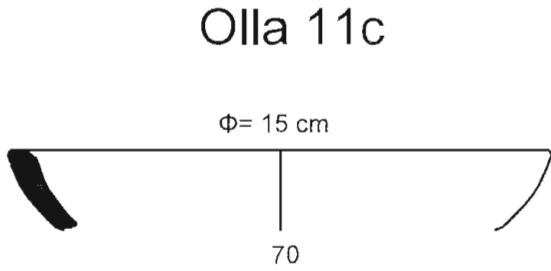
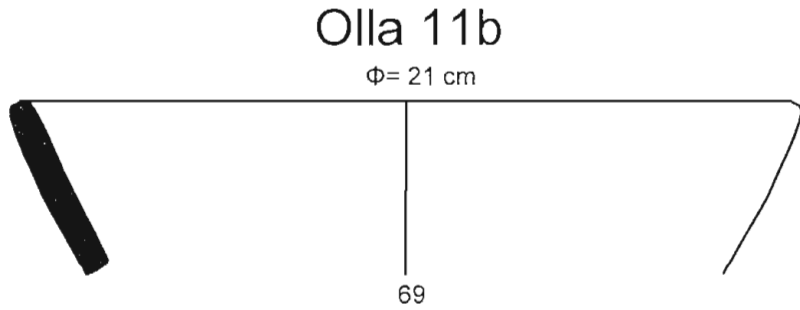
1:2



0

10cm

Ollas (8)



57-379

110-233

8-179

Olla 12

Φ= 15 cm

72

Olla 12a

Φ= 14 cm

73

Olla 12b

Φ= 16 cm

74

Olla 12c

Φ= 16 cm

75

49-313

98-523

98-517

109-532

1:2



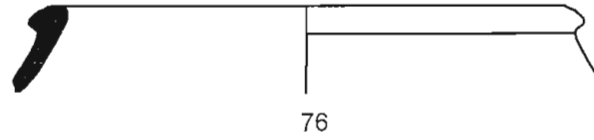
106

Ollas (9)

Olla 13

$\Phi = 14$ cm

48-57

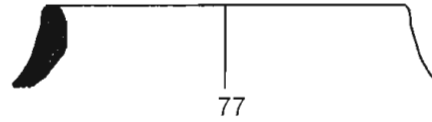


76

Olla 13a

$\Phi = 10$ cm

61-247

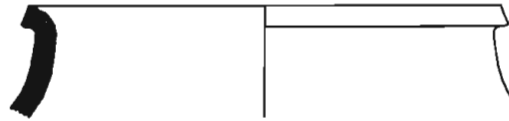


77

Olla 13b

$\Phi = 13$ cm

2-327



78

1:2



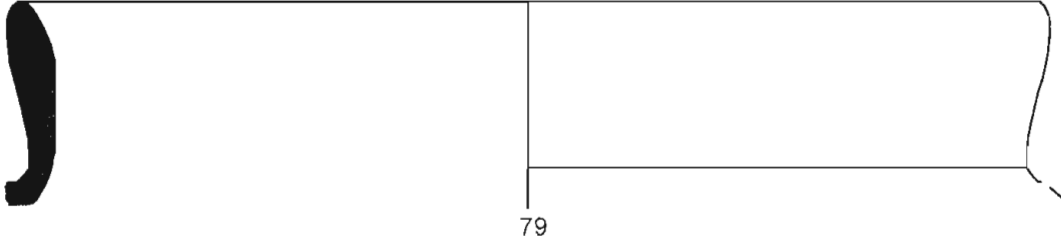
107

Tinajas (1)

Tinaja 1

Φ= 28 cm

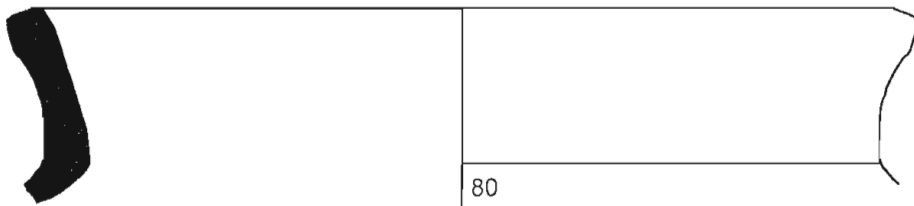
70-271



Tinaja 1a

Φ= 25 cm

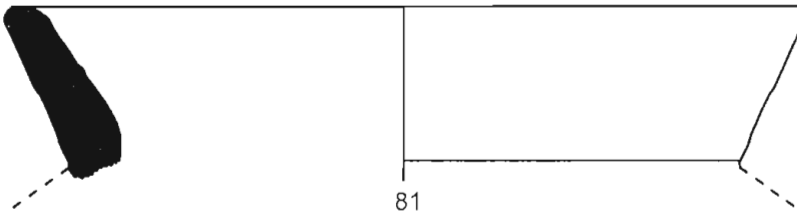
109-531



Tinaja 2

Φ= 22 cm

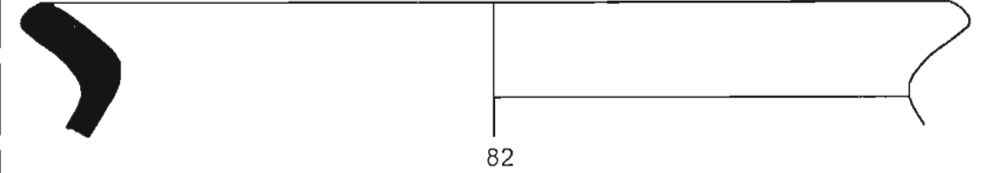
27-96



Tinaja 2a

Φ= 25 cm

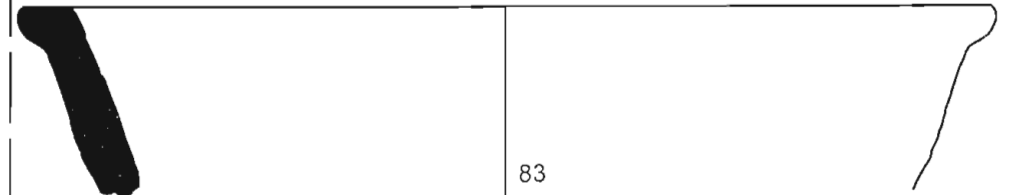
46-340



Tinaja 2b

Φ= 27 cm

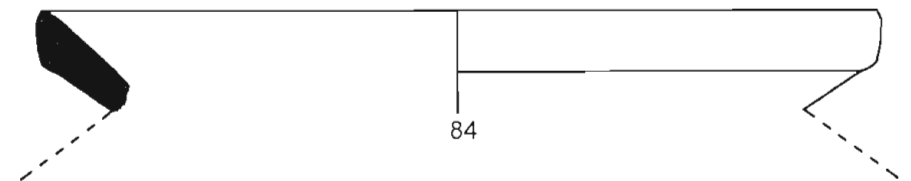
38-111



Tinaja 2c

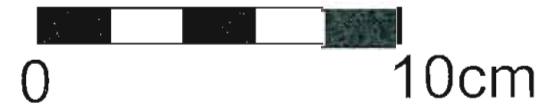
Φ= 23 cm

43-392



108

1:2



Tinajas (2)

Tinaja 3

$\Phi = 30$ cm

70-268

85

Tinaja 3a

$\Phi = 20$ cm

110-252

86

Tinaja 4

$\Phi = 23$ cm

55-236

87

Tinaja 4a

$\Phi = 27$ cm

54-303

88

109

1:2



0

10cm

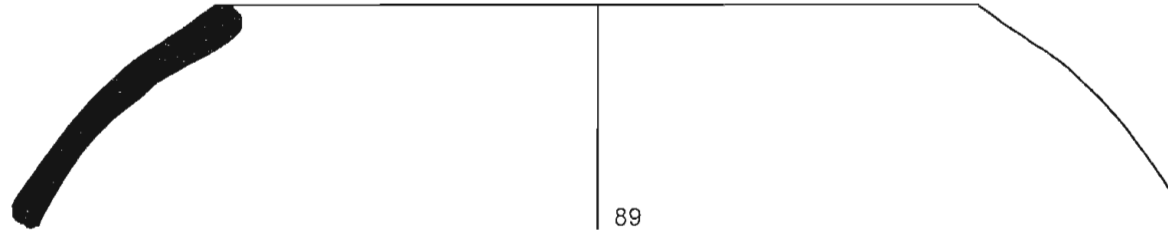


Tinajas (3)

Tinaja 4b

$\Phi = 21 \text{ cm}$

54-305

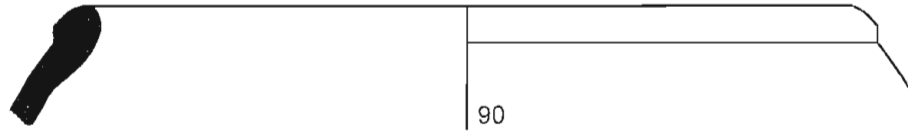


89

Tinaja 4c

$\Phi = 21 \text{ cm}$

99-420

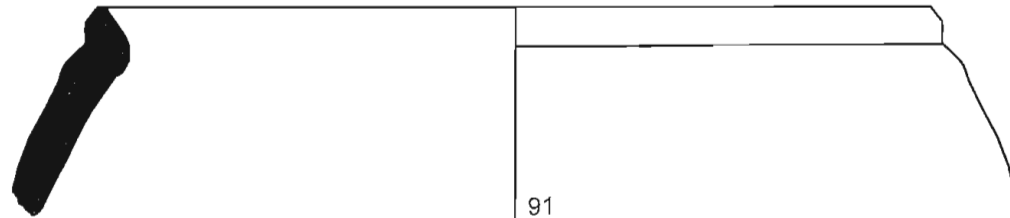


90

Tinaja 4d

$\Phi = 23 \text{ cm}$

23-337



91

1:2

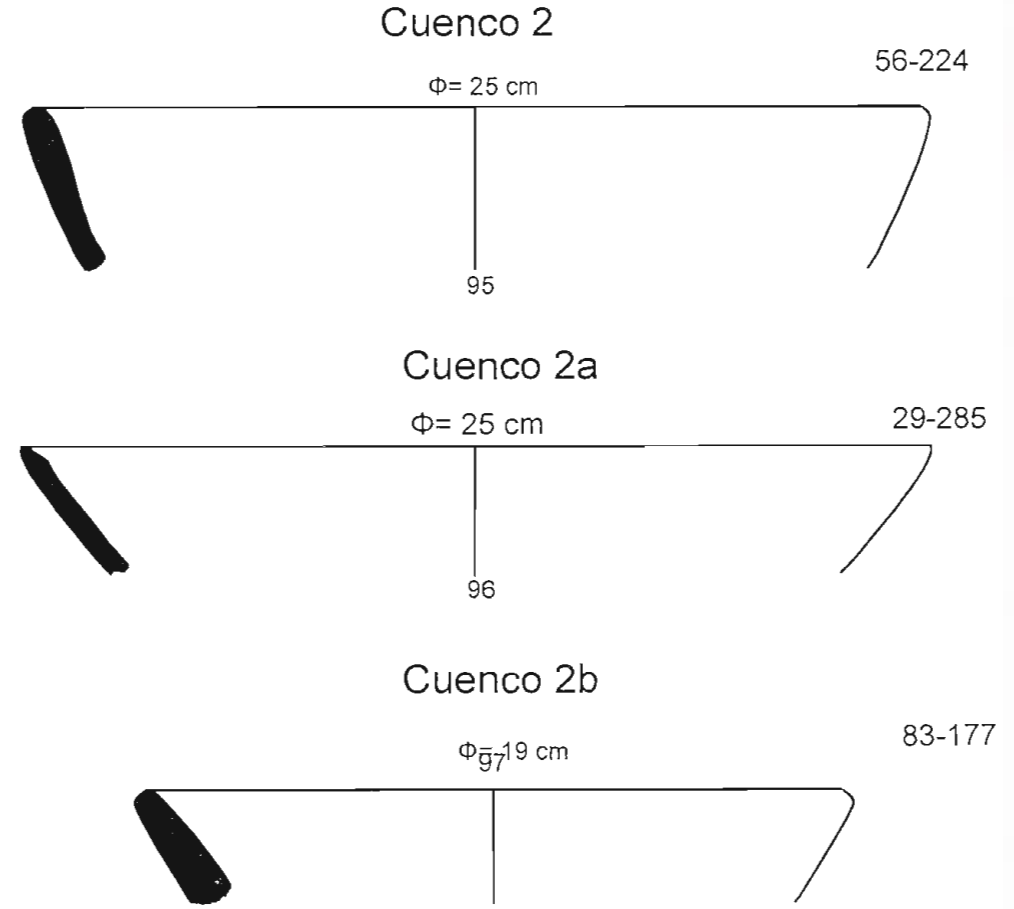
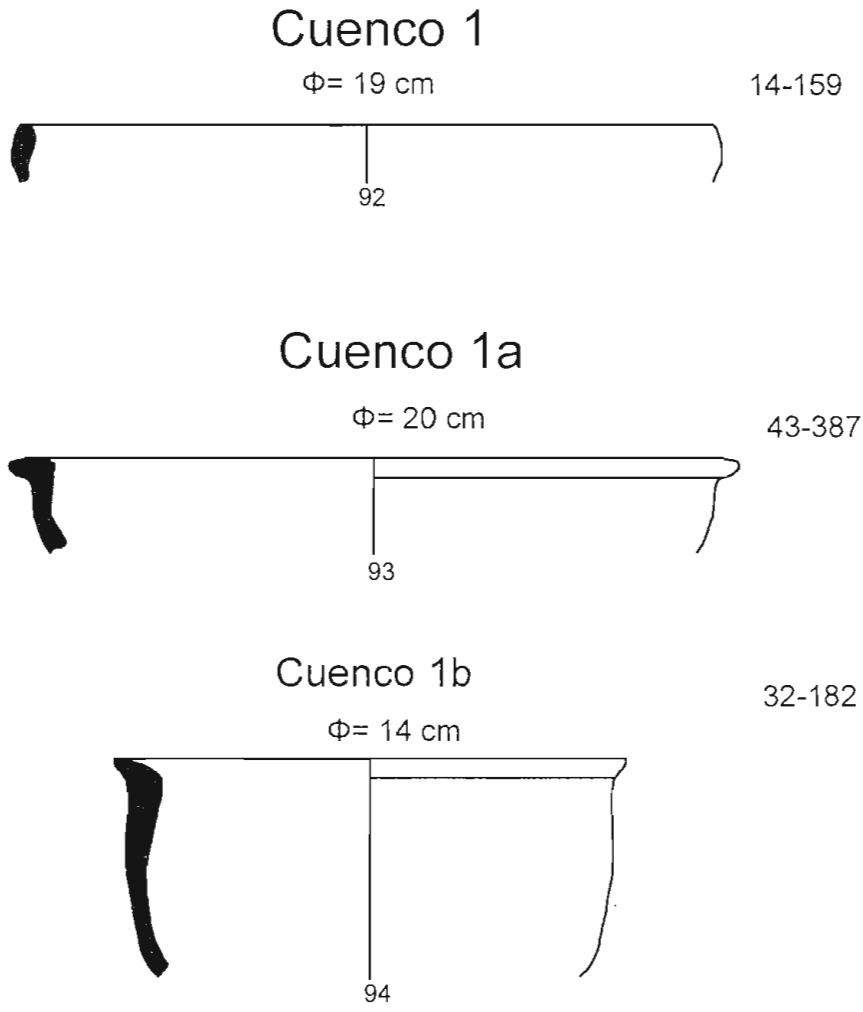


110

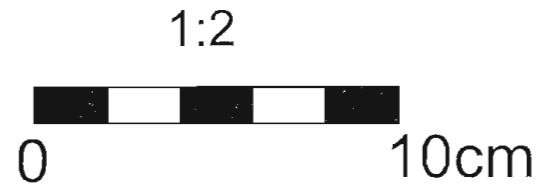
0

10cm

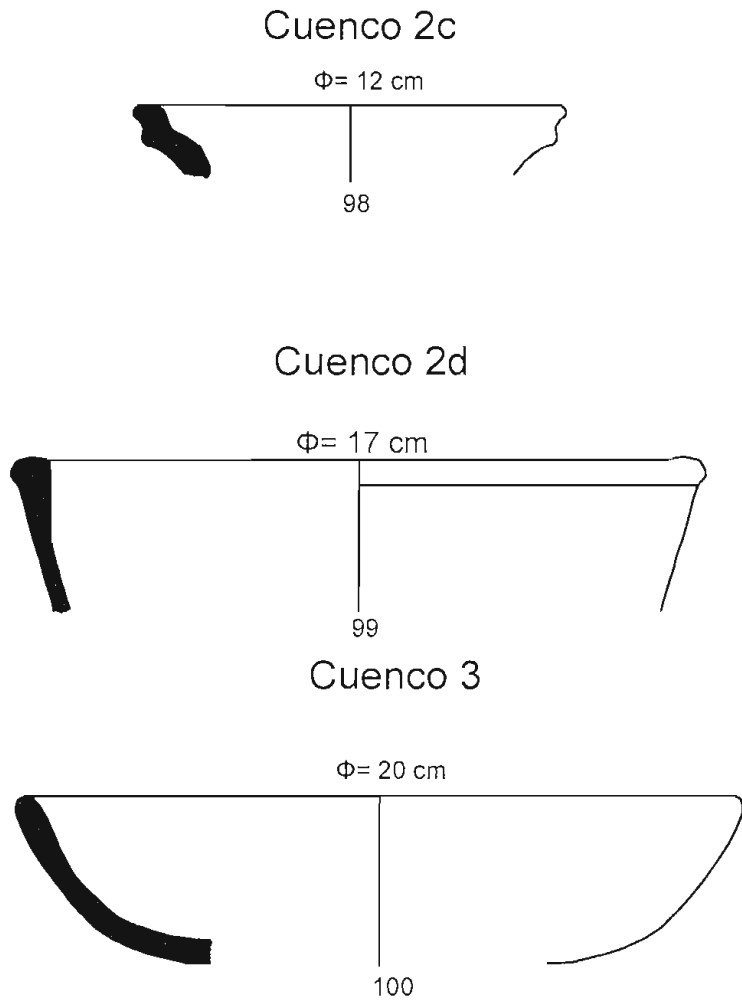
Cuencos (1)



111



Cuencos (2)



110-235

98-518

55-239

112

Cuenco 3a

$\Phi = 13$ cm

101

Cuenco 3b

$\Phi = 13$ cm

102

Cuenco 3c

$\Phi = 20$ cm

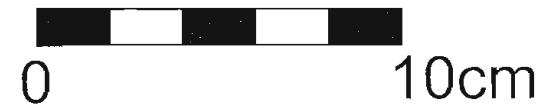
103

33-476

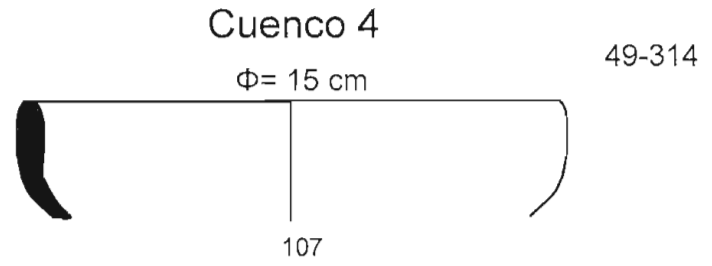
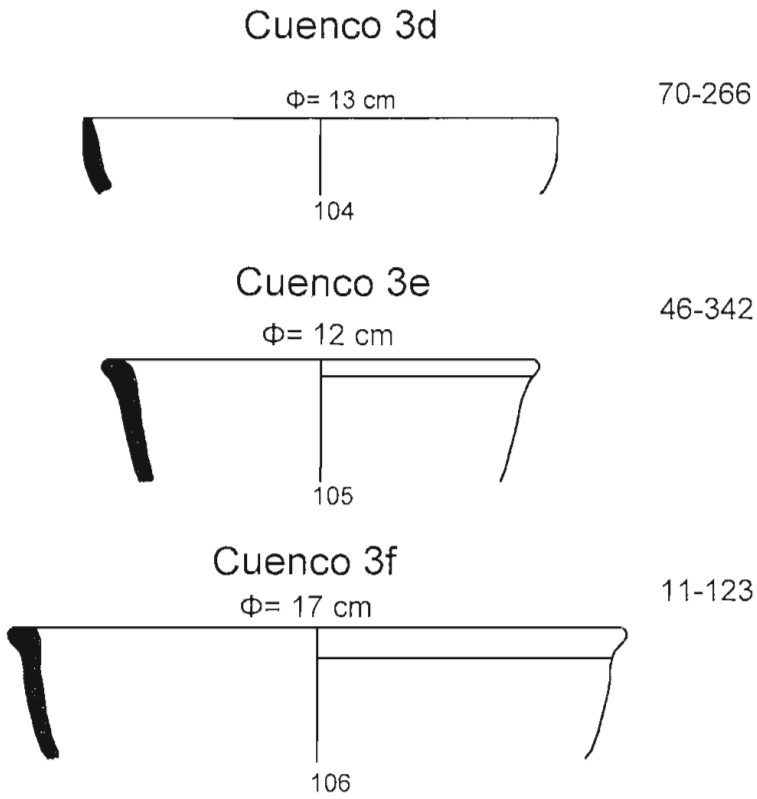
76-347

65-156

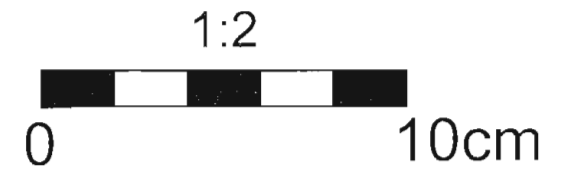
1:2



Cuencos (3)

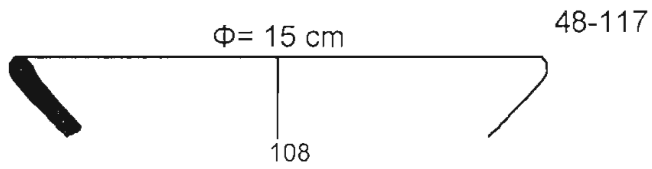


113

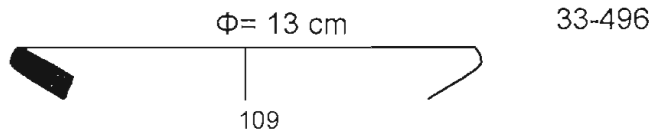


Platos

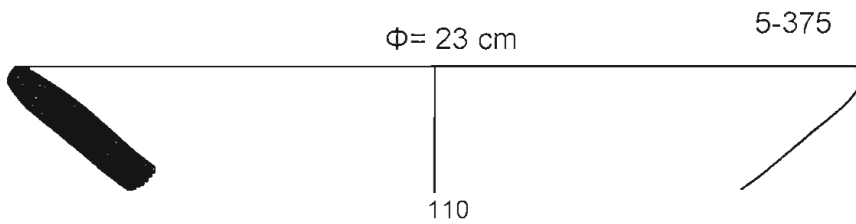
Plato 1



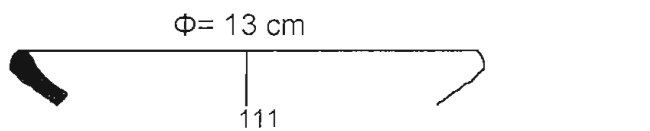
Plato 1a



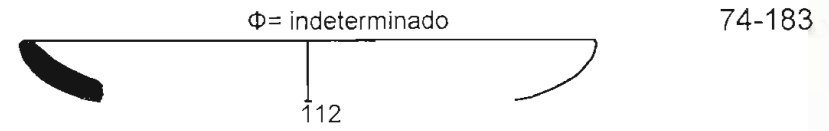
Plato 1b



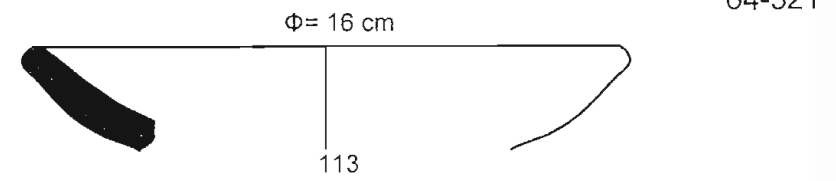
Plato 1c



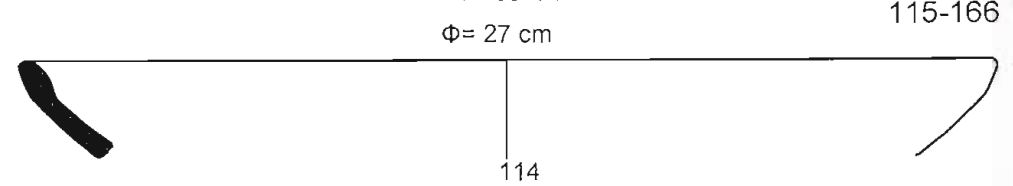
Plato 2



Plato 2a



Plato 2b



114

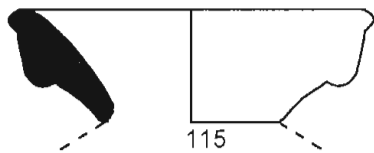
1:2



Cántaros miniatura

Cántaro miniatura 1

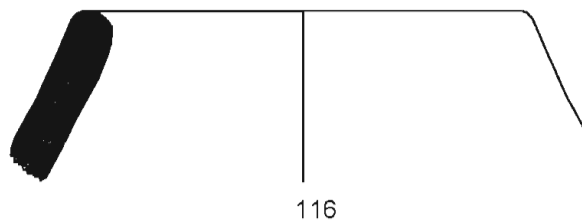
$\Phi = 5 \text{ cm}$ 110-261



Ollas miniatura

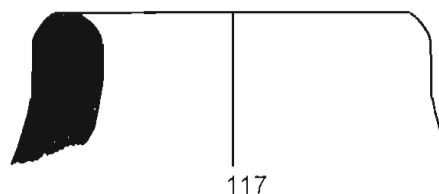
Olla miniatura 1

$\Phi = 6 \text{ cm}$ 109-544



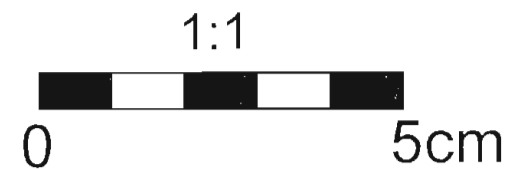
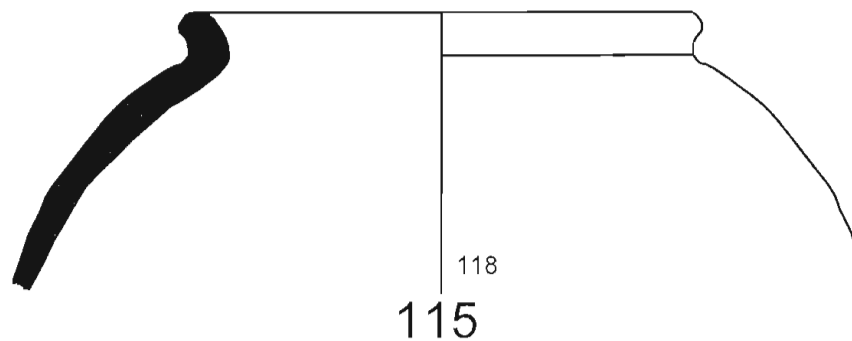
Olla miniatura 2

$\Phi = 5 \text{ cm}$ 48-138



Olla miniatura 3

$\Phi = 7 \text{ cm}$ 61-248

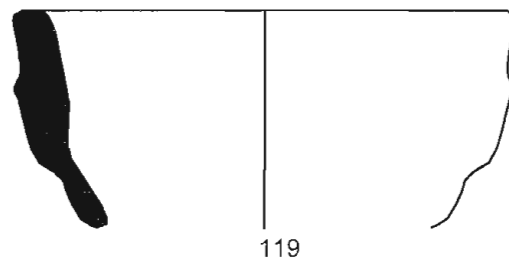


Cuencos miniatura

Cuenco miniatura 1

$\Phi = 7 \text{ cm}$

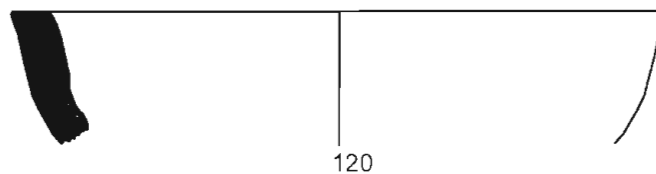
26-113



Cuenco miniatura 1a

$\Phi = 9 \text{ cm}$

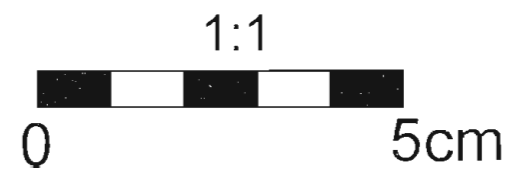
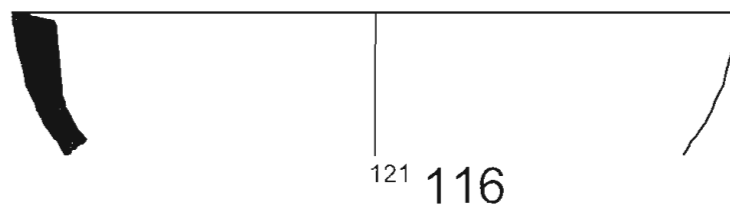
23-424



Cuenco miniatura 1b

$\Phi = 10 \text{ cm}$

33-492



Grupos de pastas

Grupo A



1

Grupo B



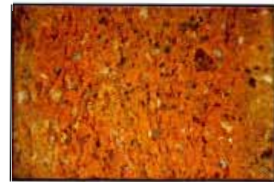
2

Grupo B1



3

Grupo B2



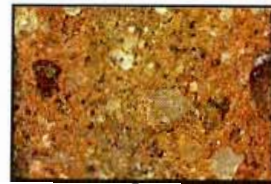
4

Grupo B3



5

Grupo C



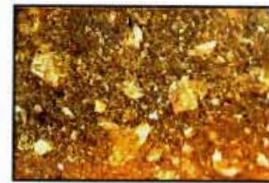
6

Grupo C1



7

Grupo C2



8

117

Grupo D



9

Grupo D1



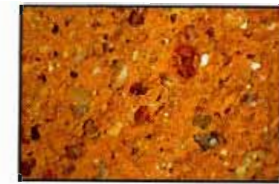
10

Grupo D2



11

Grupo E



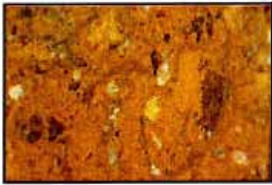
12

Grupo F



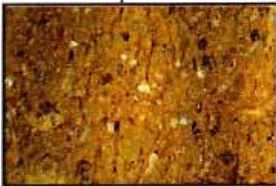
13

Grupo F1



14

Grupo F2



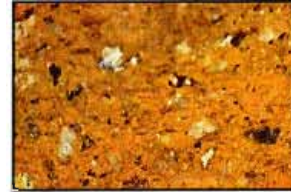
15

Grupo G



16

Grupo H



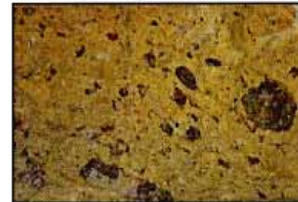
17

Grupo H1



18

Grupo H2



19

Grupo H3



20

Grupo I



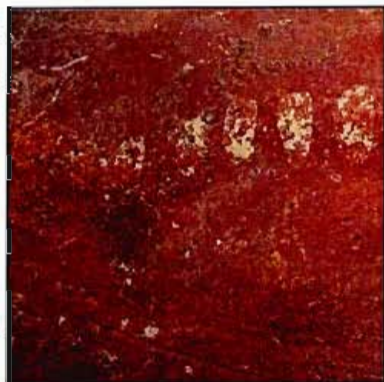
21

118

Técnicas decorativas



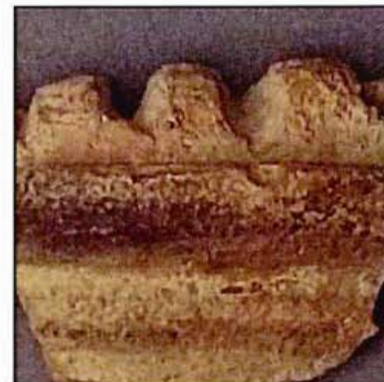
1



2



3



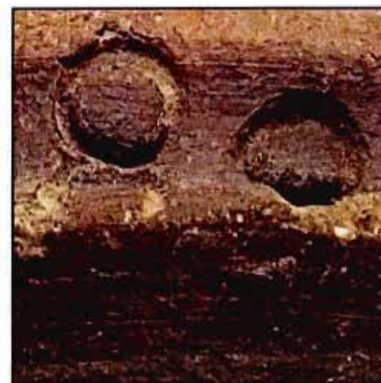
4



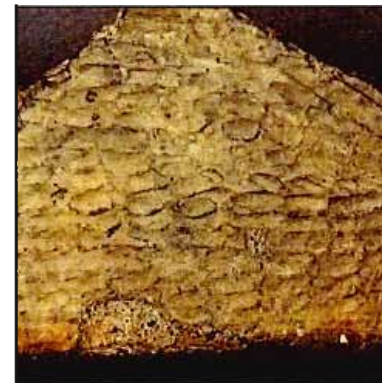
5



6



7



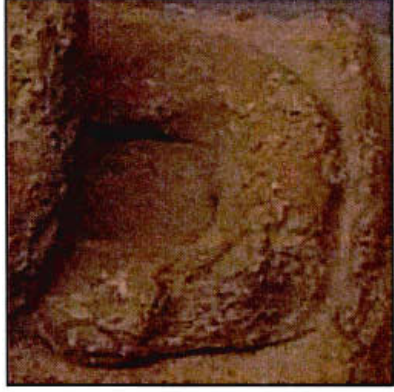
8



9



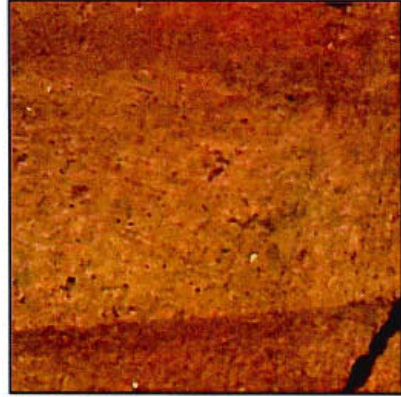
10



11



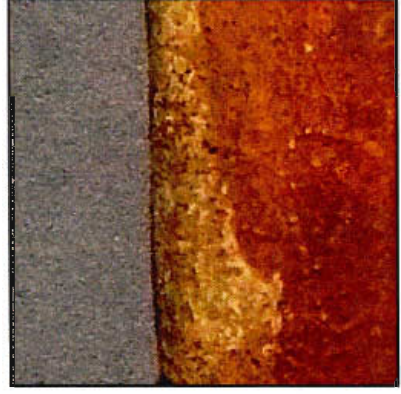
12



13



14



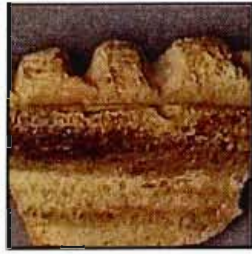
15



16

120

Motivos decorativos



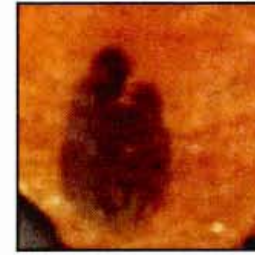
1



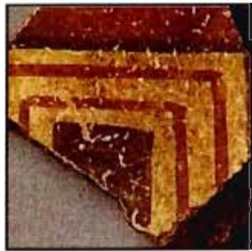
2



3



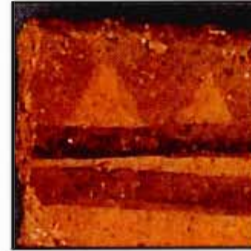
4



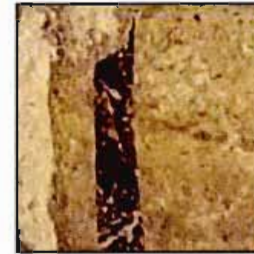
5



6



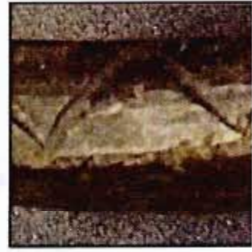
7



8



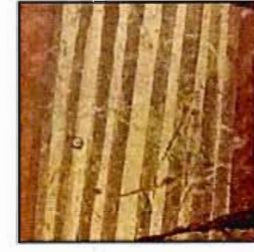
9



10



11



12

121

Motivos geométricos

Motivos geométricos



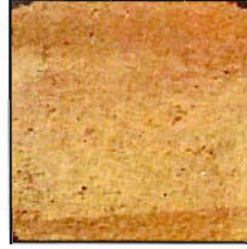
16



20



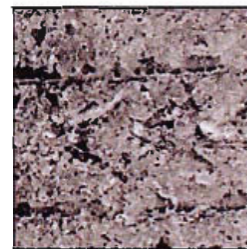
15



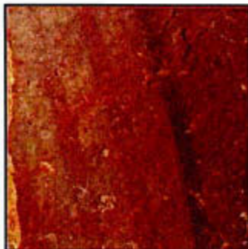
19



14



18



13



17



21

Motivos figurativos



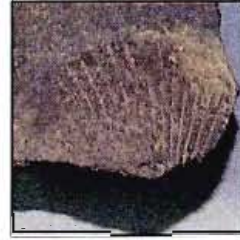
22



23



24



25



26



27



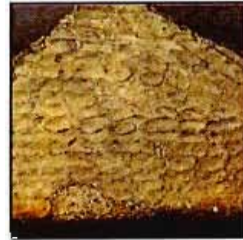
28



29



30



31



32

Perfiles estratigráficos de los cateos del sector II de Tambo Inga

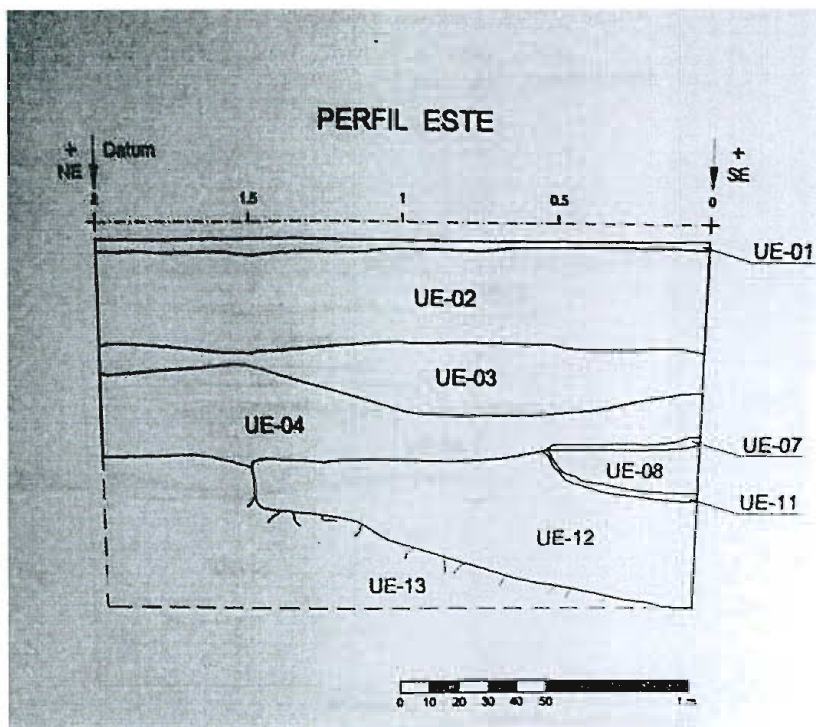


Fig. 1: Perfil este de cateo 1. Extraído de: Díaz (2017).

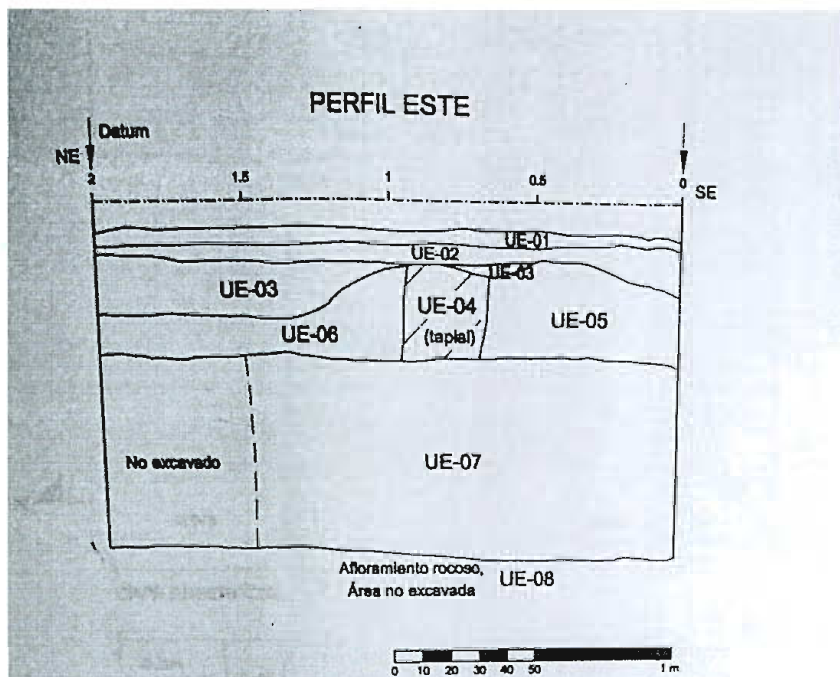


Fig. 2: Perfil este de cateo 2. Extraído de: Díaz (2017).

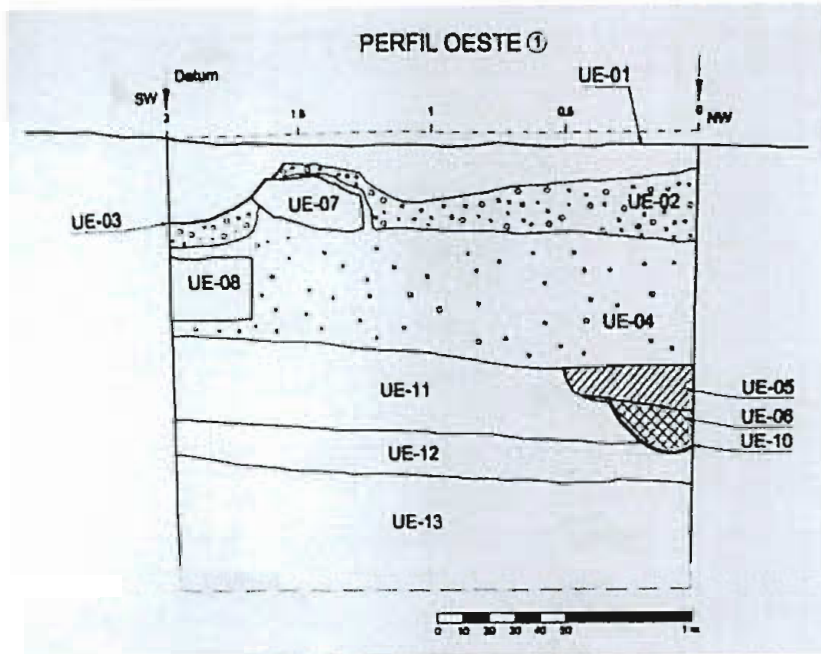


Fig. 3: Perfil oeste de cateo 3. Extraído de: Díaz (2017).

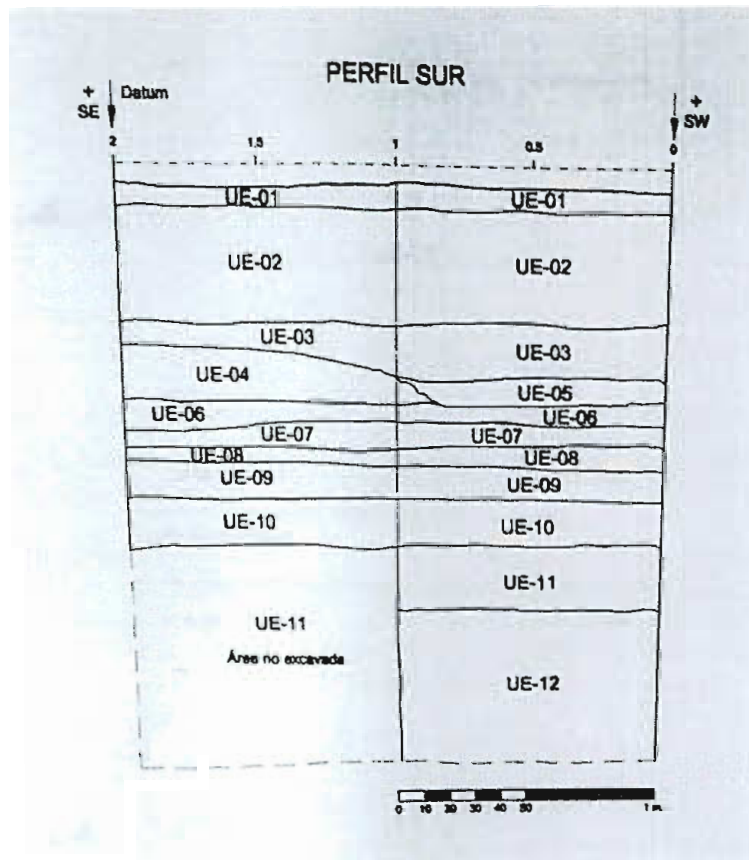


Fig. 4: Perfil sur del cateo 4. Extraído de: Díaz (2017).

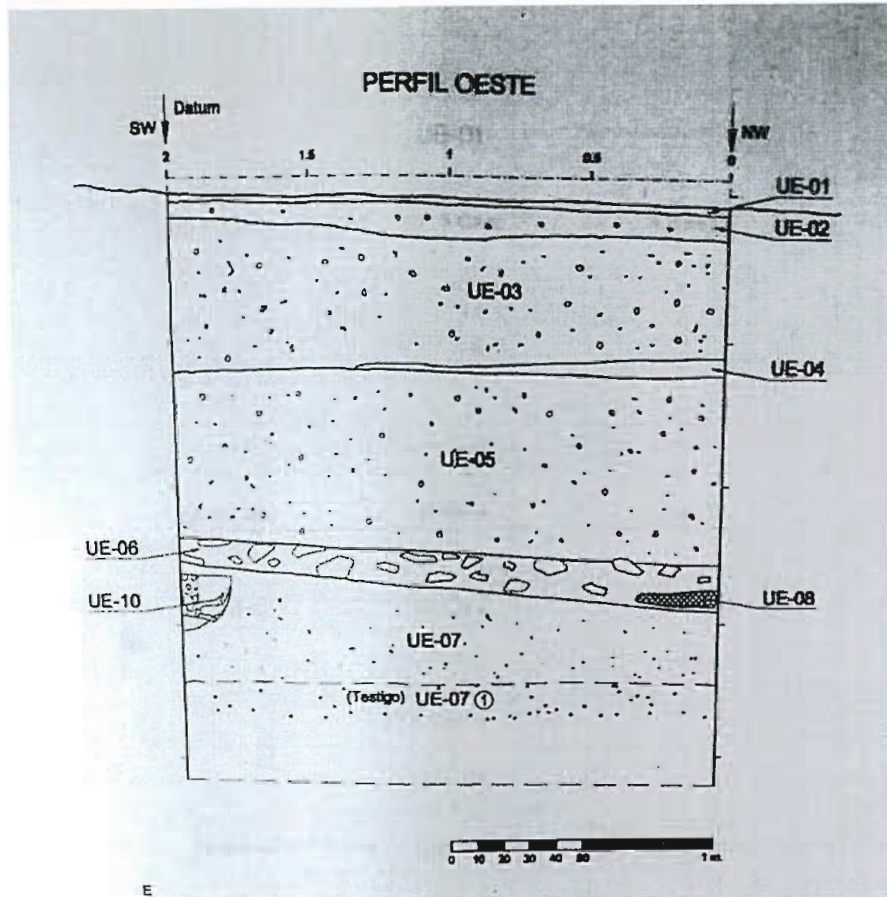


Fig. 5: perfil oeste del cateo 5. Extraído de: Díaz (2017).

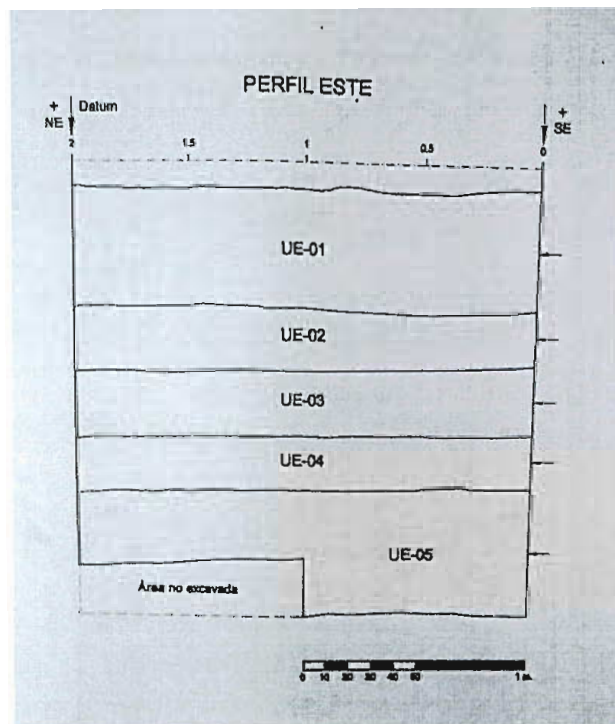


Fig. 6: perfil este del cateo 6. Extraído de: Díaz (2017).

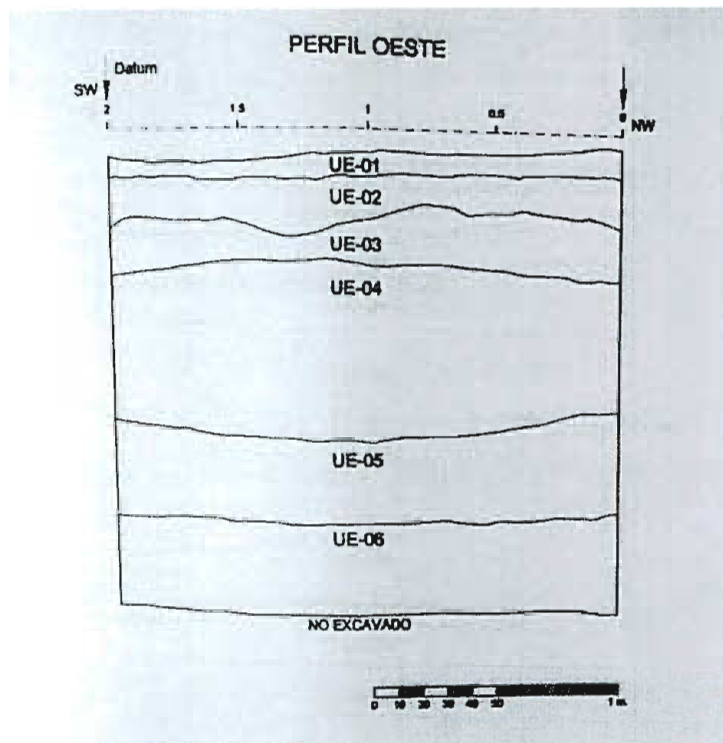


Fig. 7: perfil oeste de cateo 7. Extraído de: Díaz (2017).

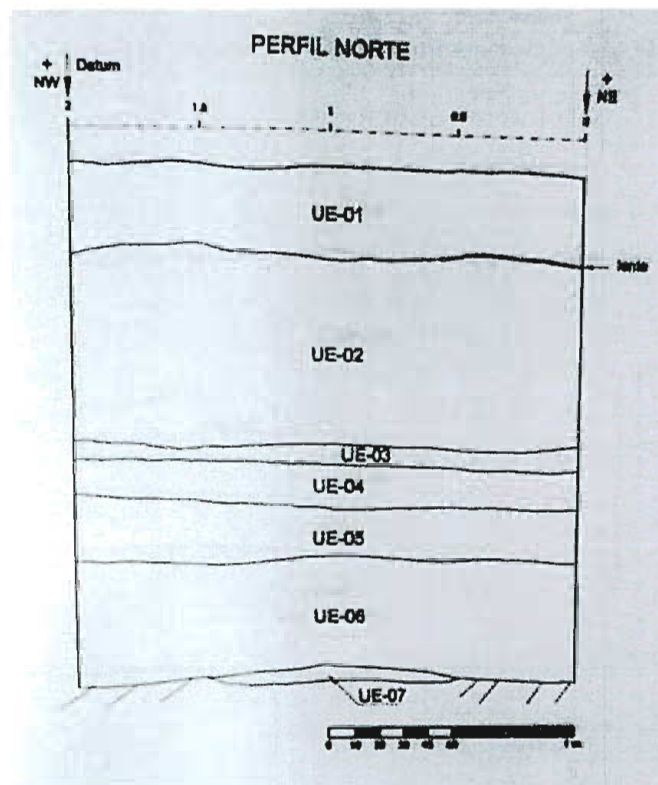


Fig. 8: perfil norte de cateo 8. Extraído de: Díaz (2017).

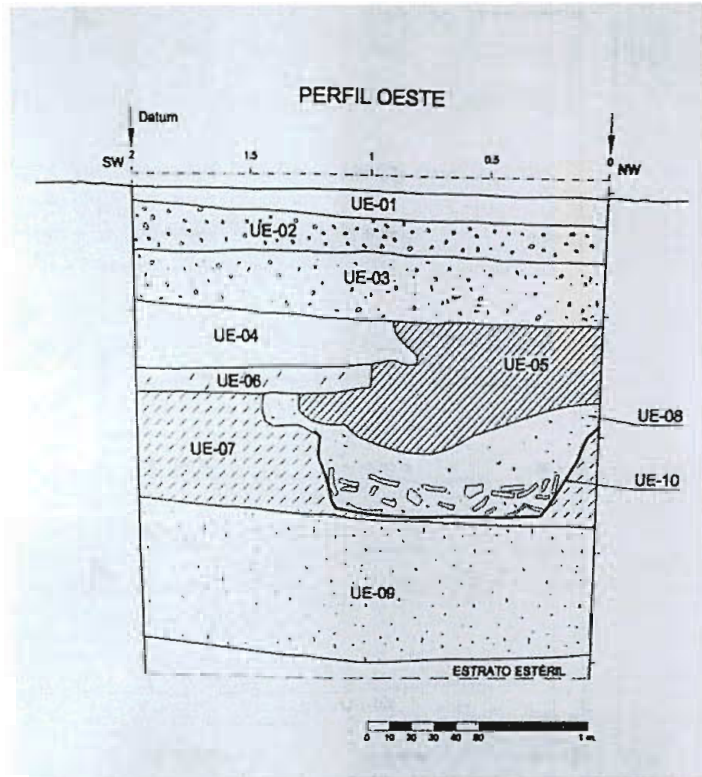


Fig. 9: perfil oeste de cateo 9. Extraído de Díaz (2017).

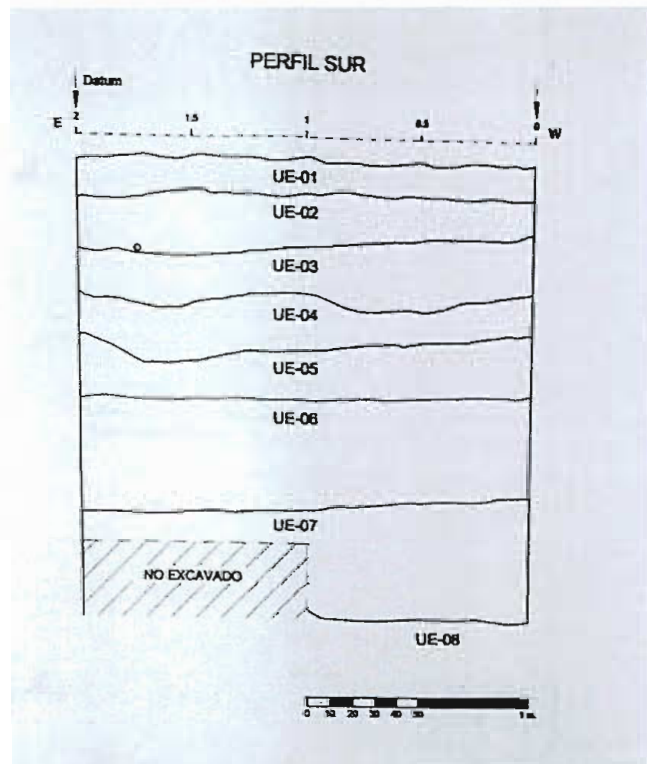


Fig. 10: perfil sur de cateo 10. Extraído de: Díaz (2017).

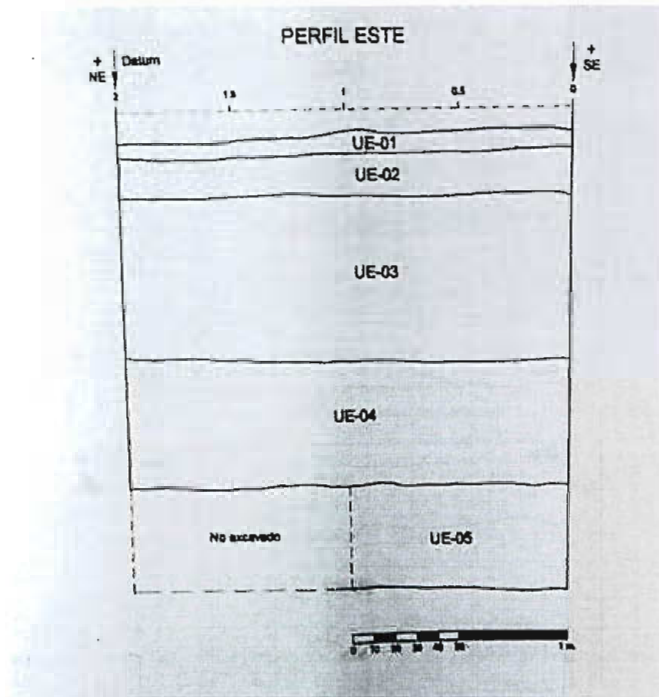


Fig. 11: perfil este de cateo 12. Extraído de: Díaz (2017).

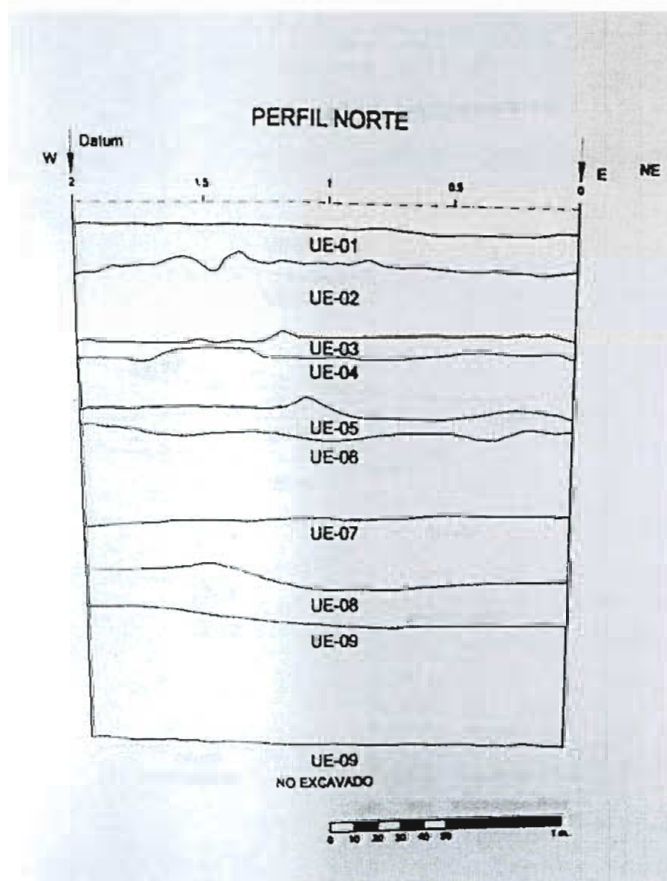


Fig. 12: perfil norte de cateo 13. Extraído de: Díaz (2017).

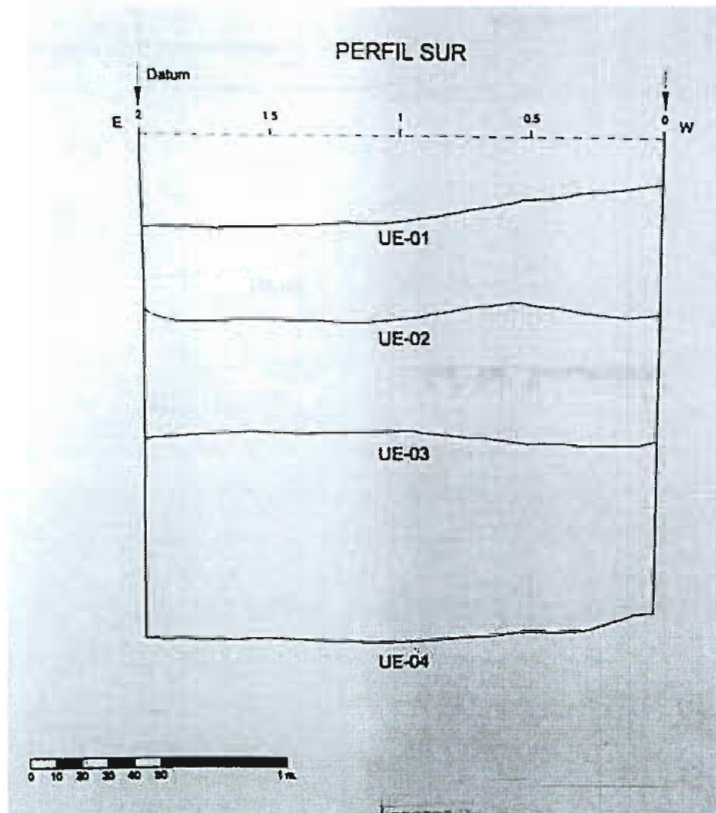


Fig. 13: perfil sur de cateo 14. Extraído de: Diaz (2017).

Inventario de materiales analizados por PICFTI 2019

Bolsa	N.º Caja	Sector	Cateo	UE	Material	Peso (gr.)	Descripción	Registró	Fecha	Método de recolección
1	01	II	04	01	Cerámica	217	1 fragmento de cuerpo decorado y 1 mango escultórico zoomorfo.	A.A.	21/08/2017	Manual
2	01	II	07	07	Cerámica	1536	2 bordes y 2 cuerpos decorados.	D.D.M.	22/08/2017	Manual
3	01	II	02	02	Cerámica	20	No se encontró material diagnóstico.	A.A.	22/08/2017	Manual
4	01	II	02	03	Cerámica	61	1 borde.	A.A.	22/08/2017	Manual
5	01	II	03	02	Cerámica	479	3 bordes.	B.B.M.	22/08/2017	Manual
6	01	II	03	01	Cerámica	119	No se encontró material diagnóstico.	B.B.M.	22/08/2017	Manual
7	01	II	01	05	Cerámica	756	1 borde y 2 cuerpos decorados.	D.D.M.	23/08/2017	Manual
8	01	II	01	08	Cerámica	3135	10 bordes, 2 cuerpos decorados, 1 base.	D.D.M.	23/08/2017	Manual
9	01	II	01	10	Cerámica	902	No se encontró material diagnóstico.	D.D.M.	23/08/2017	Manual
10	01	II	03	04	Cerámica	270	1 borde.	B.B.M.	23/08/2017	Manual
11	01	II	03	05	Cerámica	177	1 borde.	B.B.M.	23/08/2017	Manual
12	01	II	04	02	Cerámica	353	2 cuerpos decorados.	A.A.	23/08/2017	Manual
13	01	II	05	02	Cerámica	121	No se encontró material diagnóstico.	B.B.M.	23/08/2017	Manual
14	01	II	05	03	Cerámica	786	3 bordes.	B.B.M.	23/08/2017	Manual
15	01	II	03	02	Cerámica	400	1 borde y 1 cuerpo decorado.	B.B.M.	24/08/2017	Manual
16	01	II	03	02	Cerámica	145	1 borde.	B.B.M.	24/08/2017	Manual
17	01	II	03	04	Cerámica	297	No se encontró material diagnóstico.	B.B.M.	24/08/2017	Manual
18	01	II	04	03	Cerámica	2461	8 bordes y 1 cuerpo decorado.	A.A.	24/08/2017	Manual

19	01	II	04	04	Cerámica	438	4 bordes.	A.A.	24/08/2017	Manual
20	01	II	04	04	Cerámica	1052	8 bordes y 4 cuerpos decorados.	A.A.	24/08/2017	Manual
21	01	II	04	05	Cerámica	623	2 bordes, 1 cuerpo decorado y 1 asa.	A.A.	24/08/2017	Manual
22	01	II	04	05	Cerámica	159	1 borde.	A.A.	24/08/2017	Manual
23	01	II	04	05	Cerámica	2972	8 bordes, 3 cuerpos decorados, 1 base y 1 asa.	A.A.	24/08/2017	Manual
24	01	II	04	05	Cerámica	2095	5 bordes y 4 cuerpos decorados.	A.A.	24/08/2017	Manual
25	01	II	04	05	Cerámica	92	1 base.	A.A.	24/08/2017	Manual
26	01	II	05	03	Cerámica	275	1 borde y 1 cuerpo decorado.	B.B.M.	24/08/2017	Manual
27	01	II	05	03	Cerámica	851	1 borde.	B.B.M.	24/08/2017	Manual
28	02	II	03	04	Cerámica	199	1 cuerpo decorado.	B.B.M.	25/08/2017	Manual
29	02	II	03	07	Cerámica	119	2 bordes.	B.B.M.	25/08/2017	Manual
30	02	II	04	05	Cerámica	1072	4 bordes, 9 cuerpos decorados y 1 base.	A.A.	25/08/2017	Manual
31	02	II	04	05	Cerámica	721	1 borde.	A.A.	25/08/2017	Manual
32	02	II	04	05	Cerámica	1021	6 bordes, 4 cuerpos decorados y 1 base.	A.A.	25/08/2017	Manual
33	02	II	04	05	Cerámica	2799	24 bordes, 12 cuerpos decorados, 4 bases y 2 asas.	A.A.	25/08/2017	Manual
34	02	II	04	05	Cerámica	200	1 borde y 3 cuerpos decorados.	A.A.	25/08/2017	Manual
35	02	II	05	05	Cerámica	106	No se encontró material diagnóstico.	B.B.M.	25/08/2017	Manual
36	02	II	05	05	Cerámica	350	2 bordes.	B.B.M.	25/08/2017	Manual
37	02	II	06	01	Cerámica	722	1 cuerpo decorado.	D.D.M.	25/08/2017	Manual
38	02	II	06	02	Cerámica	775	3 bordes.	D.D.M.	25/08/2017	Manual

39	02	II	06	02	Cerámica	1130	1 borde, 2 cuerpos decorados y 1 base.	D.D.M.	25/08/2017	Manual
40	03	II	03	08	Cerámica	338	1 cuerpo decorado.	B.B.M.	28/08/2017	Manual
41	03	II	03	09	Cerámica	432	1 bordes y 2 cuerpos decorados.	B.B.M.	28/08/2017	Manual
42	03	II	04	05	Cerámica	765	2 bordes, 4 cuerpos decorados, 2 asas y 1 base.	A.A.	28/08/2017	Manual
43	03	II	04	05	Cerámica	846	7 bordes, 5 cuerpos decorados y 1 base.	A.A.	28/08/2017	Manual
44	03	II	04	06	Cerámica	36	1 cuerpo decorado.	A.A.	28/08/2017	Manual
45	03	II	04	06	Cerámica	267	2 bordes y 3 cuerpos decorados.	A.A.	28/08/2017	Manual
46	03	II	04	06	Cerámica	1884	10 bordes, 5 cuerpos decorados y 2 bases.	A.A.	28/08/2017	Manual
47	03	II	04	06	Cerámica	2469	8 bordes, 11 cuerpos decorados y 3 bases.	A.A.	28/08/2017	Manual
48	03	II	04	06	Cerámica	1661	10 bordes, 10 cuerpos decorados y 3 bases.	A.A.	28/08/2017	Manual
49	03	II	04	06	Cerámica	1974	7 bordes, 5 cuerpos decorados y 1 base.	A.A.	28/08/2017	Manual
50	03	II	04	06	Cerámica	828	8 bordes y 3 asas.	A.A.	28/08/2017	Manual
51	03	II	04	07	Cerámica	136	2 cuerpos decorados.	A.A.	28/08/2017	Manual
52	03	II	05	05	Cerámica	1046	1 cuerpo decorado y 1 base.	B.B.M.	28/08/2017	Manual
53	03	II	06	02	Cerámica	466	2 bases.	D.D.M.	28/08/2017	Manual
54	03	II	06	03	Cerámica	1044	5 bordes y 2 bases.	D.D.M.	28/08/2017	Manual
55	03	II	06	03	Cerámica	933	4 bordes.	D.D.M.	28/08/2017	Manual
56	03	II	06	03	Cerámica	162	5 bordes.	D.D.M.	28/08/2017	Manual

57	03	II	06	03	Cerámica	716	7 bordes y 1 base.	D.D.M.	28/08/2017	Manual
58	04	II	07	01	Cerámica	463	1 borde, 2 cuerpos decorados y 2 bases.	A.A.	28/08/2017	Manual
59	04	II	07	01	Cerámica	682	2 bordes y 1 cuerpo decorado.	A.A.	28/08/2017	Manual
60	04	II	08	01	Cerámica	46	1 cuerpo decorado.	S.G.B.G.	28/08/2017	Manual
61	04	II	03	11	Cerámica	1634	3 bordes, 3 cuerpos decorados y 2 bases.	B.B.M.	29/08/2017	Manual
62	04	II	04	08	Cerámica	807	1 cuerpo decorado.	A.A.	29/08/2017	Manual
63	04	II	04	09	Cerámica	361	1 base.	A.A.	29/08/2017	Manual
64	04	II	04	09	Cerámica	703	5 bordes.	A.A.	29/08/2017	Manual
65	04	II	04	10	Cerámica	624	2 bordes.	A.A.	29/08/2017	Manual
66	04	II	05	05	Cerámica	1238	No se encontró material diagnóstico.	B.B.M.	29/08/2017	Manual
67	04	II	07	02	Cerámica	725	1 borde y 1 base.	A.A.	29/08/2017	Manual
68	04	II	08	03	Cerámica	187	1 cuerpo decorado.	S.G.B.G.	29/08/2017	Manual
69	04	II	08	04	Cerámica	445	No se encontró material diagnóstico.	S.G.B.G.	29/08/2017	Manual
70	04	II	05	06	Cerámica	2778	7 bordes y 2 bases.	B.B.M.	31/08/2017	Manual
71	04	II	07	03	Cerámica	770	5 bordes, 1 cuerpo decorado y 2 bases.	A.A.	31/08/2017	Manual
72	04	II	07	04	Cerámica	29	No se encontró material diagnóstico.	A.A.	31/08/2017	Manual
73	04	II	09	02	Cerámica	153	No se encontró material diagnóstico.	S.G.B.G.	31/08/2017	Manual
74	04	II	10	02	Cerámica	989	7 bordes, 2 cuerpos decorados y 1 base.	B.B.M.	31/08/2017	Manual
75	04	II	05	06	Cerámica	434	1 borde, 1 cuerpo decorado y 1 base.	B.B.M.	1/09/2017	Manual

76	04	II	09	03	Cerámica	522	1 borde, 2 cuerpos decorados y 1 base.	S.G.B.G.	1/09/2017	Manual
77	04	II	10	02	Cerámica	491	2 borde y 1 base.	B.B.M.	1/09/2017	Manual
78	04	II	10	03	Cerámica	1107	No se encontró material diagnóstico.	B.B.M.	1/09/2017	Manual
82	05	II	09	04	Cerámica	70	1 borde.	S.G.B.G.	4/09/2017	Manual
83	05	II	10	03	Cerámica	436	2 bordes.	B.B.M.	4/09/2017	Manual
84	05	II	10	04	Cerámica	786	1 base.	B.B.M.	4/09/2017	Manual
85	05	II	10	05	Cerámica	443	No se encontró material diagnóstico.	B.B.M.	4/09/2017	Manual
88	05	II	12	01	Cerámica	72	No se encontró material diagnóstico.	A.A.	4/09/2017	Manual
89	05	II	12	02	Cerámica	57	No se encontró material diagnóstico.	A.A.	4/09/2017	Manual
90	05	II	10	05	Cerámica	325	1 base.	B.B.M.	5/09/2017	Manual
91	05	II	10	06	Cerámica	132	1 borde.	B.B.M.	5/09/2017	Manual
92	05	II	10	08	Cerámica	100	1 borde.	B.B.M.	5/09/2017	Manual
95	05	II	13	01	Cerámica	84	1 mango.	S.G.B.G.	5/09/2017	Manual
96	05	II	10	09	Cerámica	4292	7 bordes, 11 cuerpos decorados y 2 asas.	B.B.M.	6/09/2017	Manual
98	05	II	10	08	Cerámica	6770	6 bordes y 28 cuerpos decorados.	B.B.M.	7/09/2017	Manual
99	06	II	12	03	Cerámica	1313	5 bordes y 1 cuerpo decorado.	A.A.	7/09/2017	Manual
100	06	II	12	04	Cerámica	162	1 asa.	A.A.	7/09/2017	Manual
101	06	II	13	02	Cerámica	1226	No se encontró material diagnóstico.	S.G.B.G.	7/09/2017	Manual
102	06	II	13	02	Cerámica	136	No se encontró material diagnóstico.	S.G.B.G.	7/09/2017	Manual
103	06	II	13	03	Cerámica	509	2 bordes.	S.G.B.G.	7/09/2017	Manual

104	06	II	14	01	Cerámica	506	2 bases y 1 cuerpo decorado.	S.G.B.G.	7/09/2017	Manual
108	06	II	13	04	Cerámica	635	No se encontró material diagnóstico.	S.G.B.G.	8/09/2017	Manual
109	06	II	13	04	Cerámica	1921	7 bordes, 5 cuerpos decorados, 1 base y 1 asa.	S.G.B.G.	8/09/2017	Manual
110	06	II	13	04	Cerámica	1634	11 bordes, 7 cuerpos decorados y 1 base.	S.G.B.G.	8/09/2017	Manual
111	06	II	14	01	Cerámica	1281	3 bordes, 6 cuerpos decorados y 2 bases.	S.G.B.G.	8/09/2017	Manual
115	07	II	13	05	Cerámica	539	2 bordes.	S.G.B.G.	11/09/2017	Manual
116	07	II	13	06	Cerámica	353	No se encontró material diagnóstico.	S.G.B.G.	11/09/2017	Manual
117	07	II	13	06	Cerámica	218	No se encontró material diagnóstico.	S.G.B.G.	11/09/2017	Manual
124	08	II	13	06	Cerámica	1946	1 cuerpo decorado y 1 base.	S.G.B.G.	12/09/2017	Manual
125	08	II	13	07	Cerámica	341	1 borde.	S.G.B.G.	12/09/2017	Manual
126	08	II	14	02	Cerámica	16	No se encontró material diagnóstico.	S.G.B.G.	12/09/2017	Manual
132	09	II	13	07	Cerámica	2104	1 borde y 1 cuerpo decorado.	S.G.B.G.	13/09/2017	Manual
133	09	II	13	08	Cerámica	403	2 cuerpos decorados.	S.G.B.G.	13/09/2017	Manual
137	09	II	13	07	Cerámica	245	No se encontró material diagnóstico.	S.G.B.G.	14/09/2017	Manual
180	10	II	06	03	Cerámica	170	1 base.	D.D.M.	29/08/2017	Manual
183	11	II	06	02	Malacológico	108	<i>Perumytilus purpuratus</i>	D.D.M.	28/08/2017	Manual
							<i>Aulacomya ater</i>			
							<i>Choromytilus chorus</i>			
							<i>Mesodesma donacium</i>			
							<i>Crepipatella dilatata</i>			

							<i>Thais chocolata</i>			
184	11	II	06	03	Malacológico	1086	<i>Thais chocolata</i>	D.D.M.	28/08/2017	Manual
							<i>Crepipatella dilatata</i>			
							<i>Semele solida</i>			
							<i>Aulacomya ater</i>			
							<i>Perumytilus purpuratus</i>			
							<i>Choromytilus chorus</i>			
							<i>Balanus sp.</i>			
185	11	II	03	09	Malacológico	35	<i>Aulacomya ater</i>	B.B.M.	28/08/2017	Manual
							<i>Choromytilus chorus</i>			
							<i>Mesodesma donacium</i>			
186	11	II	03	11	Malacológico	124	<i>Choromytilus chorus</i>	B.B.M.	29/08/2017	Manual
							<i>Concholepas concholepas</i>			
							<i>Mesodesma donacium</i>			
							<i>Aulacomya ater</i>			
							<i>Crepipatella dilatata</i>			
187	11	II	04	09	Malacológico	168	<i>Choromytilus chorus</i>	A.A.	29/08/2017	Zaranda
							<i>Aulacomya ater</i>			
							<i>Mesodesma donacium</i>			
							<i>Perumytilus purpuratus</i>			
							<i>Crepipatella dilatata</i>			
							<i>Thais chocolata</i>			
							<i>Concholepas concholepas</i>			
							<i>Nassarius gayi</i>			
188	11	II	05	05	Malacológico	33	<i>Crepipatella dilatata</i>	B.B.M.	29/08/2017	Manual

							<i>Thais chocolata</i>						
189	11	II	06	03	Malacológico	21	<i>Thais chocolata</i>	D.D.M.	29/08/2017	Manual			
							<i>Choromytilus chorus</i>						
							<i>Mesodesma donacium</i>						
190	11	II	05	06	Malacológico	45	<i>Thais chocolata</i>	B.B.M.	31/08/2017	Manual			
							<i>Aulacomya ater</i>						
							<i>Mesodesma donacium</i>						
191	11	II	07	03	Malacológico	122	<i>Aulacomya ater</i>	A.A.	31/08/2017	Manual			
							<i>Choromytilus chorus</i>						
							<i>Mesodesma donacium</i>						
							<i>Crepipatella dilatata</i>						
192	11	II	09	03	Malacológico	101	<i>Aulacomya ater</i>	S.G.B.G.	1/09/2017	Manual			
							<i>Concholepas concholepas</i>						
193	11	II	10	03	Malacológico	60	<i>Aulacomya ater</i>	B.B.M.	1/09/2017	Manual			
							<i>Mesodesma donacium</i>						
							<i>Concholepas concholepas</i>						
195	11	II	10	02	Malacológico	35	<i>Aulacomya ater</i>	B.B.M.	1/09/2017	Manual			
							<i>Crepipatella dilatata</i>						
							<i>Thais chocolata</i>						
196	11	II	10	03	Malacológico	54	<i>Aulacomya ater</i>	B.B.M.	4/09/2017	Manual			
							<i>Mesodesma donacium</i>						
							<i>Thais chocolata</i>						
							<i>Crepipatella dilatata</i>						
197	11	II	10	04	Malacológico	16	<i>Aulacomya ater</i>	B.B.M.	4/09/2017	Manual			
							<i>Mesodesma donacium</i>						
198	11	II	10	05	Malacológico	14	<i>Aulacomya ater</i>	B.B.M.	4/09/2017	Manual			
							<i>Mesodesma donacium</i>						
							<i>Concholepas concholepas</i>						

199	11	II	09	04	Malacológico	07	<i>Aulacomya ater</i>	S.G.B.G.	4/09/2017	Manual
201	11	II	10	05	Malacológico	11	<i>Aulacomya ater</i>	B.B.M.	5/09/2017	Manual
							<i>Choromytilus chorus</i>			
							<i>Mesodesma donacium</i>			
							<i>Crepipatella dilatata</i>			
202	11	II	10	05	Malacológico	16	<i>Mesodesma donacium</i>	B.B.M.	5/09/2017	Manual
							<i>Perumytilus purpuratus</i>			
							<i>Semimytilus algosus</i>			
							<i>Aulacomya ater</i>			
							<i>Mitilidae</i>			
<i>Indeterminado</i>										
203	11	II	10	06	Malacológico	22	<i>Thais chocolata</i>	B.B.M.	5/09/2017	Manual
205	11	II	10	09	Malacológico	77	<i>Aulacomya ater</i>	B.B.M.	6/09/2017	Manual
							<i>Crepipatella dilatata</i>			
							<i>Perumytilus purpuratus</i>			
							<i>Semimytilus algosus</i>			
							<i>Mesodesma donacium</i>			
							<i>Choromytilus chorus</i>			
							<i>Thais chocolata</i>			
<i>Indeterminado</i>										
207	11	II	07	01	Malacológico	13	<i>Crepipatella dilatata</i>	A.A.	28/08/2017	Manual
208	11	II	10	08	Malacológico	179	<i>Perumytilus purpuratus</i>	B.B.M.	7/09/2017	Manual
							<i>Crepipatella dilatata</i>			
							<i>Oliva peruviana</i>			
							<i>Thais chocolata</i>			

							<i>Mesodesma donacium</i>			
							<i>Semimytilus algosus</i>			
							<i>Aulacomya ater</i>			
							<i>Balanus sp.</i>			
209	11	II	12	03	Malacológico	105	<i>Crepidatella dilatata</i>	A.A.	7/09/2017	Manual
						<i>Thais chocolata</i>				
						<i>Aulacomya ater</i>				
						<i>Mesodesma donacium</i>				
210	11	II	12	04	Malacológico	21	<i>Aulacomya ater</i>	A.A.	7/09/2017	Manual
						<i>Mesodesma donacium</i>				
						<i>Thais chocolata</i>				
217	11	II	13	04	Malacológico	17	<i>Aulacomya ater</i>	S.G.B.G.	8/09/2017	Manual
						<i>Mesodesma donacium</i>				
						<i>Concholepas concholepas</i>				
218	11	II	13	05	Malacológico	218	<i>Mesodesma donacium</i>	S.G.B.G.	11/09/2017	Manual
						<i>Aulacomya ater</i>				
						<i>Crepidatella dilatata</i>				
219	11	II	13	06	Malacológico	15	<i>Thais chocolata</i>	S.G.B.G.	11/09/2017	Manual
						<i>Mesodesma donacium</i>				
224	12	II	13	07	Malacológico	11	<i>Aulacomya ater</i>	S.G.B.G.	12/09/2017	Manual
						<i>Choromytilus chorus</i>				
						<i>Crepidatella dilatata</i>				
231	12	II	13	05	Malacológico	86	<i>Mesodesma donacium</i>	S.G.B.G.	13/09/2017	Manual
						<i>Choromytilus chorus</i>				

							<i>Aulacomya ater</i>			
							<i>Perumytilus purpuratus</i>			
							<i>Semele solida</i>			
							<i>Thais chocolata</i>			
							<i>Crepipatella dilatata</i>			
235	12	II	13	07	Malacológico	07	<i>Aulacomya ater</i>	S.G.B.G.	14/09/2017	Manual
							<i>Mesodesma donacium</i>			
236	12	II	13	08	Malacológico	20	<i>Crepipatella dilatata</i>	S.G.B.G.	14/09/2017	Manual
							<i>Mesodesma donacium</i>			
							<i>Aulacomya ater</i>			
							<i>Chitonidae</i>			
587	26	II	04	05	Óseo animal	33	Fragmentos de cráneo	A.A.	24/08/2017	Manual
588	26	II	04	03	Óseo animal	394	Epífisis distal de fémur	A.A.	24/08/2017	Manual
							1° falange proximal			
							Patela			
							Carpiano IV			
							3° Tarsiano			
							Central del carpio			
							2° falange			
589	26	II	03	04	Óseo animal	22	6 fragmentos no diagnósticos.	B.B.M.	28/08/2017	Manual
590	26	II	04	05	Óseo animal	93	Epífisis y diáfisis proximal de metatarsiano	A.A.	28/08/2017	Manual
							Epífisis distal de metatarsiano			
							Tarsiano IV			
							Tarsiano I			
591	26	II	04	05	Óseo animal	178	Epífisis distal de húmero	A.A.	28/08/2017	Manual
							Epífisis proximal de metatarso			
							Tarsiano IV			

							Falange proximal			
							Epifisis distal de metatarsiano			
							Tarsiano			
592	26	II	04	06	Óseo animal	763	Radio	A.A.	28/08/2017	Manual
							Radio			
							Tibia			
							Tibia			
							Patela			
							Calcaneo			
							Metatarso			
							Metatarso			
							Metatarso			
							Metatarso			
							Falange proximal III			
							Radio			
							Vértebra torácica			
							Escápula			
							Fémur			
							Pelvis			
							Axis			
							Epifisis distal de fémur			
593	26	II	04	05	Óseo animal	134	Fragmento de Izquiòn	A.A.	24/08/2017	Manual
							Epifisis distal de fémur			
594	26	II	04	04	Óseo animal	6	1 hueso largo no diagnóstico.	A.A.	24/08/2017	Manual
595	26	II	04	05	Óseo animal	125	Astragalo	A.A.	24/08/2017	Manual
							Palatino superior completo			

							Fragmentos de cráneo			
596	26	II	04	05	Óseo animal	99	Falange proximal	A.A.	24/08/2017	Manual
							Tarsiano III			
							Tarsiano central			
							Tarsiano IV			
							Patela			
							Costilla			
							Radio cubito			
597	26	II	04	02	Óseo animal	35	1 hueso largo no diagnóstico.	A.A.	23/08/2017	Manual
598	26	II	01	08	Óseo animal	23	Fémur	D.D.M.	25/08/2017	Manual
599	26	II	01	07	Óseo animal	46	Tibia	D.D.M.	25/08/2017	Manual
600	26	II	05	11	Óseo animal	23	Diente premolar	B.B.M.	29/08/2017	Manual
							Diente molar			
							Diente premolar			
							Diente premolar			
							Mandíbula			
							Diente canino			
601	26	II	04	05	Óseo animal	104	Húmero	A.A.	25/08/2017	Manual
602	26	II	09	02	Óseo animal	07	1 hueso no diagnóstico.	S.G.B.G	31/08/2017	Manual
612	26	II	13	07	Óseo animal	187	Metatarso proximal	S.G.B.G	13/09/2017	Manual
							Diente			
							Mandíbula			
							Costilla			
624	26	II	10	08	Óseo animal	14	2 huesos no diagnósticos.	B.B.M.	7/09/2017	Manual
625	26	II	13	02	Óseo animal	284	Mandíbula	S.G.B.G	7/09/2017	Manual
							Diente molar			
							Diente premolar			

							Diente premolar			
							Vértebra			
627	26	II	13	03	Óseo animal	157	Vértebra lumbar	S.G.B.G	7/09/2017	Manual
							Mandíbula			
							1° falange			
628	26	II	14	03	Óseo animal	41	3 huesos no diagnósticos.	S.G.B.G	7/09/2017	Manual
631	26	II	12	03	Óseo animal	10	3 huesos no diagnósticos.	A.A.	7/09/2017	Manual
							Húmero			
638	26	II	13	04	Óseo animal	122	Axis	S.G.B.G	8/09/2017	Manual
							Diente premolar			
							Fragmento de cráneo			
							Mandíbula			
							<i>Crepipatella dilatata</i>			
824	38	II	06	02	Malacológico	105	<i>Perumytilus purpuratus</i>	D.D.M.	25/08/2017	Manual
							<i>Thais chocolata</i>			
							<i>Semimytilus algosus</i>			
							<i>Aulacomya ater</i>			
							<i>Thais chocolata</i>			
825	38	II	01	08	Malacológico	72	<i>Mesodesma donacium</i>	D.D.M.	25/08/2017	Manual
							<i>Perumytilus purpuratus</i>			
							<i>Aulacomya ater</i>			
							<i>Tegula euryomphala</i>			
							<i>Crepipatella dilatata</i>			
829	38	II	04	09	Malacológico	12	<i>Aulacomya ater</i>	A.A.	29/08/2017	Manual
							<i>Choromytilus chorus</i>			

							<i>Mesodesma donacium</i>			
							<i>Thais chocolata</i>			
							<i>Crepipatella dilatata</i>			
835	38	II	04	10	Malacológico	12	<i>Mesodesma donacium</i>	A.A.	29/08/2017	Manual
							<i>Thais chocolata</i>			
							<i>Crepipatella dilatata</i>			
836	38	II	04	10	Malacológico	23	<i>Aulacomya ater</i>	A.A.	29/08/2017	Manual
							<i>Perumytilus purpuratus</i>			
							<i>Choromytilus chorus</i>			
							<i>Crepipatella dilatata</i>			
							<i>Thais chocolata</i>			
837	38	II	07	01	Malacológico	16	<i>Thais chocolata</i>	A.A.	28/08/2017	Manual
838	38	II	04	08	Malacológico	27	<i>Mesodesma donacium</i>	A.A.	29/08/2017	Manual
							<i>Perumytilus purpuratus</i>			
							<i>Aulacomya ater</i>			
							Indeterminado			
							<i>Crepipatella dilatata</i>			
							<i>Thais chocolata</i>			
839	38	II	04	05	Malacológico	59	<i>Crepipatella dilatata</i>	A.A.	29/08/2017	Manual
							<i>Aulacomya ater</i>			
844	38	II	04	05	Malacológico	15	<i>Choromytilus chorus</i>	A.A.	24/08/2017	Manual
							<i>Aulacomya ater</i>			
							<i>Crepipatella dilatata</i>			
							<i>Tegula atra</i>			
846	38	II	04	01	Malacológico	27	<i>Thais chocolata</i>	A.A.	21/08/2017	Manual
							<i>Mesodesma donacium</i>			

849	38	II	01	10	Malacológico	15	<i>Crepipatella dilatata</i>	D.D.M.	23/08/2017	Manual
850	38	II	04	04	Malacológico	12	<i>Perumytilus purpuratus</i>	A.A.	25/08/2017	Manual
							<i>Aulacomya ater</i>			
							<i>Mesodesma donacium</i>			
852	38	II	04	02	Malacológico	24	<i>Thais chocolata</i>	A.A.	25/08/2017	Manual
							<i>Crepipatella dilatata</i>			
							<i>Mesodesma donacium</i>			
							<i>Aulacomya ater</i>			
854	38	II	04	05	Malacológico	25	<i>Perumytilus purpuratus</i>	A.A.	25/08/2017	Manual
							<i>Mesodesma donacium</i>			
							<i>Aulacomya ater</i>			
857	38	II	04	03	Malacológico	67	<i>Mesodesma donacium</i>	A.A.	24/08/2017	Manual
							<i>Aulacomya ater</i>			
							<i>Choromytilus chorus</i>			
							<i>Perumytilus purpuratus</i>			
							<i>Thais chocolata</i>			
							<i>Crepipatella dilatata</i>			
<i>Bostryx sp.</i>										
866	39	II	04	05	Malacológico	161	<i>Choromytilus chorus</i>	A.A.	24/08/2017	Manual
							<i>Perumytilus purpuratus</i>			
							<i>Mesodesma donacium</i>			
							<i>Aulacomya ater</i>			
							<i>Crepipatella dilatata</i>			
							<i>Thais chocolata</i>			

							<i>Tegula euryomphala</i>			
							<i>Balanus sp.</i>			
							<i>Fisurella cumingi</i>			
867	39	II	04	06	Malacológico	291	<i>Thais chocolata</i>	A.A.	28/08/2017	Manual
							<i>Crepipatella dilatata</i>			
							<i>Concholepas concholepas</i>			
							<i>Choromytilus chorus</i>			
							<i>Perumytilus purpuratus</i>			
							<i>Mesodesma donacium</i>			
							<i>Aulacomya ater</i>			
868	39	II	07	06	Malacológico	127	<i>Crepipatella dilatata</i>	A.A.	29/08/2017	Manual
							<i>Thais chocolata</i>			
							<i>Semimytilus algosus</i>			
							<i>Mesodesma donacium</i>			
							<i>Choromytilus chorus</i>			
							<i>Aulacomya ater</i>			
869	39	II	04	05	Malacológico	127	<i>Mesodesma donacium</i>	A.A.	28/08/2017	Manual
							<i>Choromytilus chorus</i>			
							<i>Perumytilus purpuratus</i>			
							<i>Aulacomya ater</i>			
							<i>Crepipatella dilatata</i>			
							<i>Thais chocolata</i>			
870	39	II	04	05	Malacológico	190	<i>Thais chocolata</i>	A.A.	25/08/2017	Manual
							<i>Crepipatella dilatata</i>			

							<i>Choromytilus chorus</i>			
							<i>Semimytilus algosus</i>			
							<i>Mesodesma donacium</i>			
							<i>Aulacomya ater</i>			
872	39	II	04	05	Malacológico	52	<i>Choromytilus chorus</i>	A.A.	25/08/2017	Manual
							<i>Aulacomya ater</i>			
							<i>Mesodesma donacium</i>			
							<i>Crepipatella dilatata</i>			
							<i>Thais chocolata</i>			
878	39	II	01	07	Malacológico	89	<i>Aulacomya ater</i>	D.D.M.	22/08/2017	Manual
							<i>Choromytilus chorus</i>			
							<i>Mesodesma donacium</i>			
							<i>Perumytilus purpuratus</i>			
							<i>Tegula atra</i>			
							<i>Crepipatella dilatata</i>			
882	39	II	04	05	Malacológico	255	<i>Thais chocolata</i>	A.A.	25/08/2017	Manual
							<i>Crepipatella dilatata</i>			
							<i>Tegula atra</i>			
							<i>Nassarius gayi</i>			
							<i>Oliva peruviana</i>			
							<i>Perumytilus purpuratus</i>			
							<i>Argopectem purpuratus</i>			
							<i>Mesodesma donacium</i>			
							<i>Choromytilus chorus</i>			
							<i>Aulacomya ater</i>			
							<i>Balanus sp.</i>			
883	39	II	04	05	Malacológico	100	<i>Aulacomya ater</i>	A.A.	28/08/2017	Manual
							<i>Choromytilus chorus</i>			

978	45	II	01	10	Cerámica	3185	<i>Mesodesma donacium</i> 1 borde.	D.D.M.	23/08/2017	Manual
-----	----	----	----	----	----------	------	---------------------------------------	--------	------------	--------